

24596



สรุปโครงการวิจัย

เรื่อง

ศึกษาพฤติกรรมของสามอนิสต์ที่ไม่ต้องการในช่วงเวลาความต้องการใช้
พลังงานไฟฟ้าสูงสุด

Behavior of Undesirable Harmonics on Load Peak Demand

หนังสือนี้เป็นสมบัติของห้องสมุด
มหาวิทยาลัยเทคโนโลยีราชมงคลรัชชสานติ สงขลา
ผู้ดูแลห้องสมุด กรุณาส่งคืน จัดซื้อบุญถึง

โดย

พิทักษ์ บุญนุ่น

สมคิด ลีลาชนนชัยพงษ์

059761

621.312

พ ๖๙๓

2552

ทุนสนับสนุน

งบประมาณเงินผลประโยชน์ปี 2551

คณะวิศวกรรมศาสตร์ มหาวิทยาลัยเทคโนโลยีราชมงคลรัชชสานติ

ก.พ.ว.
อ.ดร.ก.พ.ว.
ก.พ.ว.
ก.พ.ว.

นายพิทักษ์ บุญนุ่น และสมคิด ลีลาชนาะชัยพงษ์ 2551.

เรื่อง ศึกษาพฤติกรรมของชามอนิกส์ที่ไม่ต้องการในช่วงเวลาความต้องการใช้พลังงานไฟฟ้าสูงสุด
สาขาวิชาวิศวกรรมไฟฟ้า คณะวิศวกรรมศาสตร์
มหาวิทยาลัยเทคโนโลยีราชมงคลรัตนโกสินทร์ สงขลา
ที่ปรึกษาการวิจัย ทีมงานติดตั้งทางเทคนิค

บทคัดย่อ

งานวิจัยในการศึกษานี้มีวัตถุประสงค์เพื่อตรวจวัดปริมาณของความผิดเพี้ยนทางสัญญาณไฟฟ้า หรือที่เรียกว่าการเกิดชามอนิกส์ในระบบนั้นเอง โดยการเกิดขึ้นของชามอนิกส์อาจก่อให้เกิดปัญหากับอุปกรณ์ต่างๆ หรือ ปัญหาภายในระบบก็อาจเป็นได้ หากปริมาณและความถี่มีขนาดที่มากพอ ดังนั้น งานวิจัยนี้เป็นการตรวจวัดพื้นฐานสำหรับการตรวจหาปริมาณของความผิดเพี้ยนทางสัญญาณทางไฟฟ้า โดยได้มางานการสำรวจจำนวนที่อยู่อาศัยขนาดการใช้ไฟฟ้าไม่เกิด 3 kW จำนวน ไม่น้อยกว่า 20 หลังคาเรือน เพื่อเข้าติดตั้งเครื่องมือตรวจวัดและทำการเก็บผลในช่วงเวลาที่มีการใช้พลังงานไฟฟ้าสูงสุด ซึ่งผลที่ได้จะได้นำมาวิเคราะห์ในขั้นตอนหลังสุด ซึ่งผลที่ได้คือปริมาณความผิดเพี้ยนทางไฟฟ้า หรือชามอนิกส์ยังไม่ถึงระดับที่ส่งผลต่ออุปกรณ์อื่นๆ ได้

Pituk Bunnoon and Somkid Leelachanachaipong 2551.

Title -Behavior of undesirable Harmonics on load peak demand

Electrical Engineering Department, Engineering Faculty.

Rajamangala University of Technology Srivijaya, Songkla.

Advisors Team. Setting team.

Abstract

This paper presents about the harmonic distortions of electrical signal analysis or harmonic occurred in the power systems. The harmonic in some level might be effect to another equipment. In this paper, the simple of this research had 20 simples and the intervals the energy in home not over 5 kW. Finally, the harmonics analysis in this simple can be occurred in the power systems by almost equipment such as from washing machine or microwave ect., and another equipment like fan or another can not be occurred harmonic or a little.

กิตติกรรมประกาศ

ขอแสดงคำขอบคุณ สำหรับทีมงานทุกท่านที่ได้ทำงานจนสำเร็จลุล่วงไปด้วยดี และต้องขอขอบคุณทางภาควิชาวิศวกรรมไฟฟ้า คณะวิศวกรรมศาสตร์ มหาวิทยาลัยเทคโนโลยีราชมงคลที่ให้ความอนุเคราะห์อุปกรณ์ และเครื่องมือสำหรับการติดตั้งเพื่อวัด บันทึกผล

ขอขอบคุณ คุณ ทวีศักดิ์ บุญศรี ที่ให้ความอนุเคราะห์ข้อมูล และช่วยงานด้านสำรวจและติดตั้งเครื่องมือวัด

สุดท้ายต้องขอบคุณกำลังใจในการทำงานสำหรับครอบครัวที่ส่งเสริมและสนับสนุนการทำมาโดยตลอด จนงานสำเร็จลุล่วงไปด้วยดี

พิทักษ์ บุญนุ่น และคณะ

สารบัญ

| | |
|--|------|
| เรื่อง | หน้า |
| บทคัดย่อ | ก |
| กิตติกรรมประกาศ | ค |
| สารบัญ | ง |
| สารบัญตาราง | จ |
| สารบัญรูปภาพ | ฉ |
| บทที่ 1 บทนำ | 1 |
| บทที่ 2 ทฤษฎีที่เกี่ยวข้อง | 5 |
| บทที่ 3 ขั้นตอนการดำเนินงาน | 16 |
| บทที่ 4 ผลการเก็บข้อมูลและวิเคราะห์เบื้องต้น | 21 |
| บทที่ 5 สรุป | 27 |
| ข้างอิง | 28 |
| ภาคผนวก ก | |
| ภาคผนวก ข | |



สารบัญตาราง

ตารางที่

หน้า



สารบัญรูปภาพ

| รายการ | หน้า |
|--|------|
| รูปที่ 1 แสดงความผิดเพี้ยนของสัญญาณที่เกิดจากชาร์มอนิกส์ | 2 |
| รูปที่ 2 แสดงความถี่ชาร์มอนิกส์ที่เป็นจำนวนเท่าของความถี่มูลฐาน | 6 |
| รูปที่ 3 แสดงถึงชาร์มอนิกส์ลำดับที่ 3, 5 และ 7 มีมุนต่างๆ ทำให้สัญญาณไซน์มีรูปร่างผิดเพี้ยน | 6 |
| รูปที่ 4 วงจรแสดงการเกิดชาร์มอนิกส์ทางไฟฟ้า | 9 |
| รูปที่ 5 แสดงการเปรียบเทียบค่า %THDV ของแต่ละระบบและสถานที่ตั้ง | 10 |
| รูปที่ 6 แสดง Flowchart การทำงานพอสังเขป | 16 |
| รูปที่ 7 แสดงมิตे�อร์สำหรับวัดค่าชาร์มอนิกส์ | 17 |
| รูปที่ 8 การต่อวัดกระแสชาร์มอนิกส์ | 19 |
| รูปที่ 9 แสดงการต่อวัดแรงดันชาร์มอนิกส์ | 20 |
| รูปที่ 10 อุปกรณ์หรือเครื่องใช้ไฟฟ้าภายในบ้านเรือนทั่วไป | 21 |
| รูปที่ 11 การศึกษาผลการวัดจากตัวอย่างที่อยู่อาศัยครั้งที่ 2 | 22 |
| รูปที่ 12 การศึกษาผลการวัดจากตัวอย่างที่อยู่อาศัยครั้งที่ 4 | 23 |
| รูปที่ 13 การศึกษาผลการวัดจากตัวอย่างที่อยู่อาศัยครั้งที่ 6 | 24 |
| รูปที่ 14 การศึกษาผลการวัดจากตัวอย่างที่อยู่อาศัยครั้งที่ 8 | 25 |

บทที่ 1

บทนำ

1.1 ความเป็นมาและความสำคัญของโครงการ

ในปัจจุบันไฟฟ้านับเป็นปัจจัยที่สำคัญและมีความจำเป็นอย่างยิ่ง เพื่อการพัฒนาทางด้านเศรษฐกิจ และความมั่นคงของชาติ ซึ่งเมื่อเกิดเหตุการณ์ผิดปกติต่างๆ ต่อระบบไฟฟ้า เช่น ไฟฟ้าตก, ไฟฟ้าเกิน หรือ เกิดความผิดพร่องต่อระบบไฟฟ้า ก็ย่อมส่งผลกระทบโดยตรงและสร้างความเสียหายค่อนข้างสูง มาก ดังนั้นทั้งผู้ขายไฟฟ้าและผู้ใช้ไฟฟ้าจึงได้หันมาให้ความสำคัญในเรื่องคุณภาพไฟฟ้าและการ ประดับพลังงาน (Power Quality and Energy Saving) กันมากขึ้น

ความผิดเพี้ยนของสัญญาณไฟฟ้าที่เกิดขึ้นก็เป็นสาเหตุหนึ่งที่มีผลต่อระบบไฟฟ้าไม่น้อยไปกว่า สาเหตุอื่น เช่น ไฟดับ ไฟกระชาก ไฟเกิน ไฟตก ความถี่ แรงดันไฟฟ้าไม่สมดุลหรืออื่นๆ แต่ในที่นี้จะ กล่าวเฉพาะสาเหตุจากการความผิดเพี้ยนของสัญญาณเท่านั้น คือ

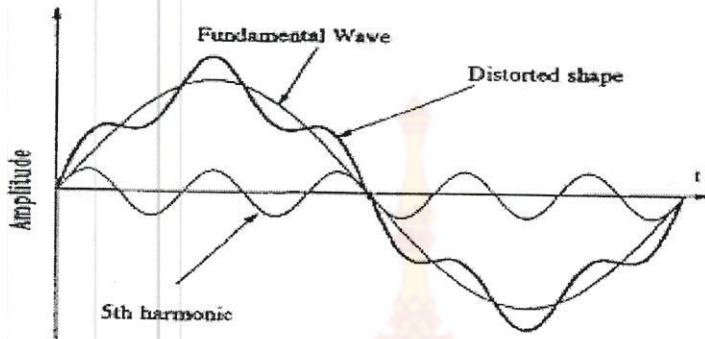
ความผิดเพี้ยนของสัญญาณไฟฟ้า (Waveform Distortion)

ความผิดเพี้ยนของรูปสัญญาณที่ผิดไปจากปกติก็เป็นสาเหตุหนึ่งซึ่งสามารถตรวจสอบโดยอาศัย หลักการของการแยกองค์ประกอบของสัญญาณออกมายกต้อง DFT (Discrete Fourier Transform) และ FFT (Fast Fourier Transform) เพื่อการออกแบบและวิเคราะห์ จากราคาที่ทำให้สัญญาณไฟฟ้าเกิดผิดเพี้ยน พอสรุปแยกออกมายได้ดังนี้

- องค์ประกอบไฟฟ้ากระแสตรง (D.C. Offset) คือมีองค์ประกอบของสัญญาณไฟฟ้ากระแสตรงปน อยู่ในระบบไฟฟ้ากระแสสลับ ซึ่งเป็นผลทำให้อุปกรณ์ไฟฟ้าต่างๆ ทำงานผิดพลาดได้ เช่นวงจรเรซิติ ไฟล์เออร์ อีกทั้งยังทำให้เกิดการสูญเสียพลังงานสูงขึ้นอีกด้วย

- ชาร์มอนิกส์ (Harmonics) คือองค์ประกอบทางไฟฟ้าของรูปสัญญาณคลื่นไซน์ที่มีความถี่เป็น จำนวนเท่าของความถี่ฐานของระบบไฟฟ้า ตัวอย่างเช่นระบบไฟฟ้าในบ้านเรามี 50 เฮิร์ตซ์ ดังนั้นชาร์มอนิกส์ที่ 3 คือสัญญาณไฟฟ้าที่มีความถี่เป็นจำนวน 3 เท่าของ 50 เฮิร์ตซ์คือ 150 เฮิร์ตซ์ นั่นเอง โดยชาร์มอนิกส์ในระบบไฟฟ้าที่พบมากจะเป็นชาร์มอนิกส์เลขคี่ คือ 3, 5, 7, 9 ... ส่วนชาร์มอนิกส์เลขคู่จะ เกิดขึ้นน้อย ซึ่งมีสาเหตุอยู่หลายประการที่ทำให้เกิดชาร์มอนิกส์ขึ้นในระบบ ตัวอย่างเช่น อุปกรณ์ไฟฟ้า

ที่ไม่เป็นเชิงเส้น (Non-linear load) เช่น อินเวอร์เตอร์, คอนเวอร์เตอร์ หรืออุปกรณ์สวิทช์ต่างๆ, เตาหลอมไฟฟ้า (Electric Furnace), เครื่องเชื่อมอาร์ค (Arc Welder)



รูปที่ 1 แสดงความผิดเพี้ยนของสัญญาณที่เกิดจากชาร์มอนิกส์

จากสาเหตุดังกล่าวส่งผลทำให้การทำงานของอุปกรณ์ต่างๆ ผิดพลาด เช่น อุปกรณ์สื่อสาร, อุปกรณ์ระบบควบคุมและป้องกัน อีกทั้งยังทำให้เกิดการสูญเสียพลังงาน ซึ่งอยู่ในรูปของความร้อน เช่น หม้อแปลงไฟฟ้า, ไมเตอร์ไฟฟ้า, สายไฟฟ้า และเซอร์กิเบรกเกอร์ และยังเป็นเหตุให้อาชญาการใช้งานของอุปกรณ์ไฟฟ้าลดลงด้วย เป็นต้น

ค่าความผิดเพี้ยนชาร์มอนิกส์รวม (Total Harmonic Distortion) ซึ่งคือผลรวมขององค์ประกอบค่า rms ที่อันดับชาร์มอนิกส์ต่างๆ กับค่า rms ขององค์ประกอบความถี่มูลฐาน แล้วเทียบเป็นร้อยละดังสมการ

$$\%THD_v = \frac{\sqrt{\sum_{h=2}^{\infty} V_{h(rms)}^2}}{V_{1(rms)}}, \%THD_i = \frac{\sqrt{\sum_{h=2}^{\infty} I_{h(rms)}^2}}{I_{1(rms)}} \quad (1)$$

- อินเตอร์ชาร์มอนิกส์ (Interharmonics) คือองค์ประกอบของสัญญาณรูปคลื่นไซน์ที่ความถี่ไม่เป็นจำนวนเท่าของความถี่มูลฐาน เช่น ความถี่ 25 Hz, 105 Hz, 175 Hz ฯลฯ เป็นต้น

- คลื่นรอยบาก (Notching) คือจะเกิดขึ้นบนรูปคลื่นสัญญาณไฟฟ้าที่เป็นลักษณะรอยบากซึ่งอาจเกิดจากความไม่ต่อเนื่องในการทำงานของอุปกรณ์อิเล็กทรอนิกส์กำลังต่างๆ

- คลื่นรบกวนและคลื่นแทรก (Noise and Interference Signal) คือ การรบกวนจากสัญญาณภายนอก จนทำให้สัญญาณนั้นเกิดความผิดเพี้ยนยกตัวอย่าง สัญญาณรบกวน เช่น คลื่นแม่เหล็กไฟฟ้า

(Electromagnetic Interference : EMI), คลื่นความถี่วิทยุ (Radio Frequency Interference : RFI), คลื่นรบกวนไฟฟ้า (Electrical Noise) เป็นต้น

จะเห็นได้ว่าสาเหตุจากความผิดเพี้ยนของสัญญาณก็เป็นสาเหตุหลักที่ส่งผลกระทบต่ออุปกรณ์ไฟฟ้าได้โดยตรง ผู้วิจัยจึงมีแนวความคิดว่าจะวิเคราะห์และศึกษาการเปลี่ยนแปลงของสัญญาณที่ผิดเพี้ยน โดยเริ่มต้นวิจัยตั้งแต่ที่อยู่อาศัยก่อน โดยเฉพาะเวลาที่มีการใช้งาน โหลดเต็มที่กึ่ก็อช่วงเวลา 18.00-21.00 น. เพื่อถูกการเกิดและการเปลี่ยนแปลงของชาร์มอนิกส์โดยเฉพาะลำดับที่มีอันตรายกับอุปกรณ์ไฟฟ้า

1.2 วัตถุประสงค์

- 1.2.1 เพื่อศึกษาการเปลี่ยนแปลงของชาร์มอนิกส์ที่เกิดผลเสียหายต่อระบบ
- 1.2.2 เพื่อศึกษาและวิเคราะห์การเปลี่ยนแปลงของชาร์มอนิกส์ในช่วงดังกล่าว
- 1.2.3 เพื่อศึกษาผลกระทบหรือผลเสียต่ออุปกรณ์ไฟฟ้าจากชาร์มอนิกส์ที่ไม่ต้องการ

1.3 ขอบเขตของโครงการวิจัย

- 1.3.1 เก็บผลจากการวัดชาร์มอนิกส์ตามที่อยู่อาศัยจำนวนไม่น้อยกว่า 20 ตัวอย่าง
- 1.3.2 วัดชาร์มอนิกส์ในช่วงโหลดการใช้พลังงานเวลาเช้า 18.00-21.00 น.
- 1.3.3 วิเคราะห์และจำแนกชาร์มอนิกส์ที่มีผลเสียต่ออุปกรณ์ไฟฟ้า
- 1.3.4 เสนอแนะวิธีป้องกันเบื้องต้นเกี่ยวกับชาร์มอนิกส์ที่มีผลเสียต่ออุปกรณ์ไฟฟ้า
- 1.3.5 ขอบเขตของที่อยู่อาศัยจะต้องมีการใช้พลังงานไฟฟ้าไม่เกิน 3.3 kW

1.4 ขั้นตอน และวิธีการดำเนินงานวิจัย

- 1.4.1 ศึกษาหลักการเกิดและการเปลี่ยนแปลงของชาร์มอนิกส์แต่ละชนิด
- 1.4.2 ศึกษาการทำงานของเครื่องมือวัดชาร์มอนิกส์
- 1.4.3 ติดต่อเจ้าของความร่วมมือเข้าตรวจวัดและเก็บข้อมูล
- 1.4.4 เข้าตรวจวัดเก็บข้อมูล
- 1.4.5 วิเคราะห์ข้อมูลที่ได้เปรียบเทียบกับหลักการความเป็นจริง
- 1.4.6 ทำรายงานสรุปผลงานวิจัย

1.5 ประโยชน์ที่คาดว่าจะได้รับ

- 1.5.1 สามารถที่จะนำข้อมูลไปประกอบการเรียนการสอนในวิชาทางไฟฟ้าได้

1.5.2 นำผลสรุปหรือปัญหามาทำการวิเคราะห์เพื่อหาแนวทางแก้ไข ไม่ให้เกิดผลดังกล่าวไว้เพื่อปรับปรุงประสิทธิภาพของระบบไฟฟ้าได้

1.5.3 ผู้บริโภคนำไปใช้ประโยชน์ในการปรับภาระการณ์ใช้พลังงานของตัวเอง

1.5.4 หากผลสรุปที่ได้มีความชัดเจนของปัญหา จำเป็นต้องมีการเผยแพร่ให้ผู้บริโภครายอื่นๆ เข้าใจหลักการ และต้นเหตุการเกิด เพื่อการแก้ไขต่อไป



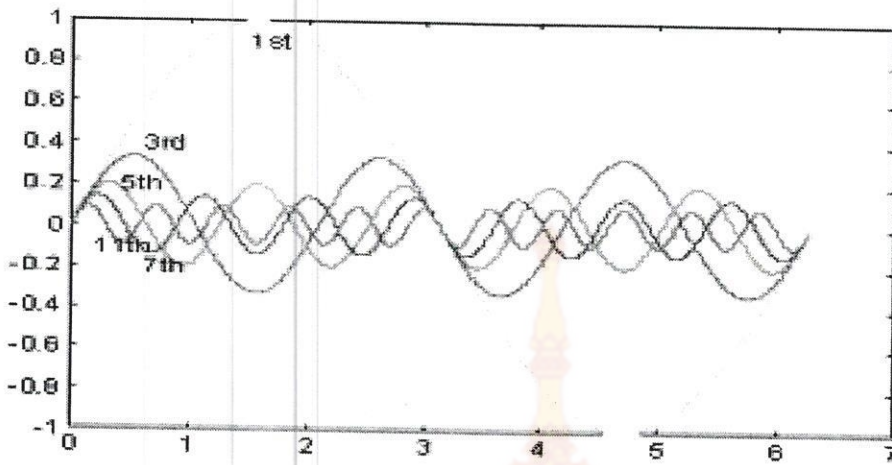
บทที่ 2

ทฤษฎีเกี่ยวกับ

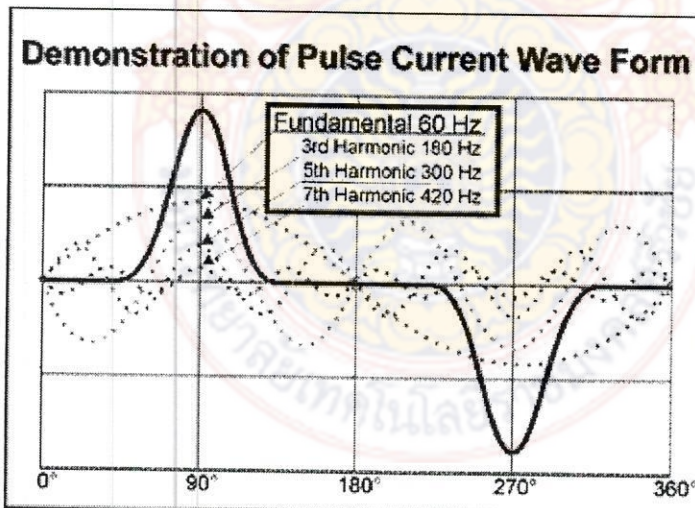
ปัจจุบันการไฟฟ้า หรือผู้ใช้ไฟฟ้าได้ให้ความสำคัญกับคุณภาพไฟฟ้ามากขึ้น เนื่องจากในระบบไฟฟ้า และโดยเฉพาะในกระบวนการผลิตของอุตสาหกรรม ได้มีการใช้อุปกรณ์ที่มีเทคโนโลยีสูงกว่าเดิมในอดีต ซึ่งคุณลักษณะการทำงานของอุปกรณ์ดังกล่าวจะไวด้วยการเปลี่ยนแปลงต่อกระแส และแรงดัน คือถ้ามีขนาด และรูปร่างผิดเพี้ยนไปจากสภาพการจ่ายไฟปกติ อาจจะทำให้อุปกรณ์มีการทำงานผิดพลาด หรือเกิดการชำรุดเสียหายขึ้นได้ ซึ่งเป็นปัญหาต่อคุณภาพไฟฟ้าที่ต้องมีการป้องกันและแก้ไข โดยสาเหตุหลักที่ทำให้กระแส และแรงดันในระบบไฟฟ้ามีขนาดและรูปร่างผิดเพี้ยนไปจากสภาพการจ่ายไฟปกติ มีสาเหตุเกิดจากชาร์มอนิกส์ที่มีอยู่ในระบบไฟฟ้า ซึ่งเนื่องจากปัจจุบันโรงงานอุตสาหกรรมและอาคารพาณิชย์มีการใช้อุปกรณ์สมัยใหม่เทคโนโลยีที่ทำการอุปกรณ์ทางด้านโซลิโนид เพื่อเพิ่มประสิทธิภาพในการควบคุมกระบวนการผลิตให้มีคุณภาพ และได้ปริมาณตามที่ต้องการ และในอนาคตจะมีแนวโน้มการใช้มากรขึ้นเรื่อยๆ โดยส่วนใหญ่เป็นอุปกรณ์ที่มีการทำงานแบบไม่เป็นเชิงเส้น (Non-linear load) ซึ่งเป็นแหล่งกำเนิดชาร์มอนิกส์ เช่น คอนเวอร์เตอร์ (Converter) ตัวเรียงกระแส (Power Rectifier) และชุดขับเคลื่อนปรับความเร็ว (Adjustable Speed Drive) ด้วยผลของการใช้อุปกรณ์ที่มีการทำงานแบบไม่เป็นเชิงเส้น อุปกรณ์ดังกล่าวจะจ่ายกระแสชาร์มอนิกส์เข้าสู่ระบบไฟฟ้า ภายในของผู้ใช้ไฟฟ้า หรือถ้าเป็นอุปกรณ์ที่มีพิกัดขนาดใหญ่ กระแสชาร์มอนิกส์อาจไหลเข้าสู่ระบบไฟฟ้าอื่นในบริเวณข้างเคียง จากผลกระทบของชาร์มอนิกส์ทำให้กระแสและแรงดันในระบบมีขนาด และรูปร่างผิดเพี้ยน (Distortion) ไปจากสภาพการจ่ายไฟปกติ ซึ่งเป็นผลทำให้อุปกรณ์มีการทำงานผิดพลาดหรือเกิดการชำรุดเสียหายได้ และเพื่อเป็นการเตรียมพร้อมสำหรับป้องกัน และแก้ไขปัญหาดังกล่าวที่เกิดขึ้นในระบบไฟฟ้าในบ้านเรา ในการวิจัยนี้จะกล่าวโดยภาพรวมทั่วไปของชาร์มอนิกส์ แหล่งกำเนิด และผลกระทบที่เกิดจากปัญหาชาร์มอนิกส์ เพื่อเป็นความเข้าใจก่อนที่เราจะวิเคราะห์การเปลี่ยนแปลงสัญญาณชาร์มอนิกส์เมื่อมีการใช้โหลดสูงสุดในช่วง 18.00 -21.00 น.

นิยาม

ชาร์มอนิกส์ (Harmonic) คือส่วนประกอบในรูปสัญญาณคลื่นไซน์ (sine wave) ของสัญญาณหรือปริมาณเป็นงานใดๆ ซึ่งมีความถี่เป็นจำนวนเต็มเท่าของความถี่หลักมูล (Fundamental Frequency) ในระบบไฟฟ้า เรา มีค่าเท่ากับ 50 Hz เช่น ชาร์มอนิกส์ลำดับที่ 3 มีค่าความถี่เป็น 150 Hz และชาร์มอนิกส์ลำดับที่ 5 มีค่าความถี่เป็น 250 Hz ดังแสดงในรูปที่ 2



รูปที่ 2 แสดงความถี่ของอนิกส์ที่เป็นจำนวนเท่าของความถี่ฐาน และผลของคลื่นอนิกส์เมื่อร่วมกันกับสัญญาณความถี่หลักมูลค่าทางขนาด (Amplitude) และมุมเฟส (Phase Angle) ทำให้สัญญาณที่เกิดขึ้นมีขนาดเปลี่ยนไปและมีรูปสัญญาณเพี้ยนไปจากสัญญาณคลื่นไชน์ดังรูปที่ 3



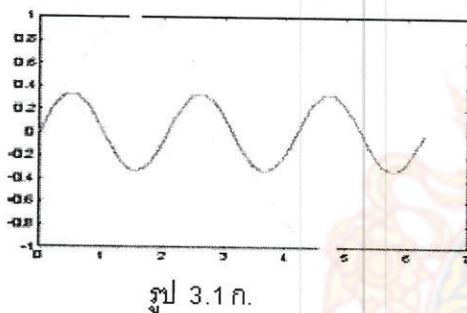
รูปที่ 3 แสดงถึงคลื่นอนิกส์ลำดับที่ 3, 5 และ 7 มีมุมต่างๆ ทำให้สัญญาณไชน์มีรูปร่างผิดเพี้ยน

ในทางคณิตศาสตร์สามารถใช้อุปกรณ์เรียร์อินิบายคุณลักษณะของคลื่นอนิกส์ได้ โดยสัญญาณหรือฟังก์ชันสามารถกระจายให้อยู่ในรูปผลรวมของฟังก์ชันตรีโภณมิติที่ความถี่ต่างๆ เป็นฟังก์ชันควบคุมที่เปลี่ยนแทนด้วย $f(t)$ ดังสมการ

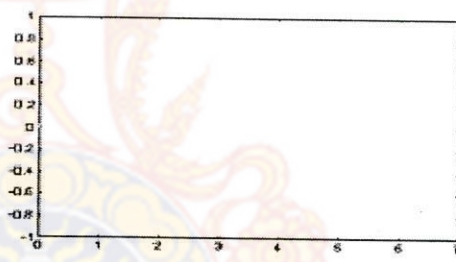
$$\begin{aligned}
 f(t) &= a_0 + \sum_{n=1}^{\infty} a_n \cos(n\omega_0 t) + \sum_{n=1}^{\infty} b_n \sin(n\omega_0 t) \\
 a_0 &= \frac{1}{T} \int f(t) dt \\
 a_n &= \frac{2}{T} \int f(t) \cos n\omega_0 t dt \\
 b_n &= \frac{2}{T} \int f(t) \sin n\omega_0 t dt
 \end{aligned} \tag{2}$$

เมื่อ T คือ 1 คาบของสัญญาณและ n คือเลขจำนวนเต็มบวก

ในการณ์ที่ $n=0$ จะเป็นความถี่ฐาน (Fundamental Frequency) หรือการณ์ที่ n มีค่ามากกว่าศูนย์ เราเรียกความถี่นี้ว่าาร์มอนิกส์ลำดับที่ n ซึ่งเป็นได้ทั้งลำดับคู่ และคี่ และจากรูปที่ 3.1 ข. และรูป 3.2 ข. แสดงถึงความเพิ่นของสัญญาณที่เกิดขึ้นจากการรวมสัญญาณคลื่นไซน์ที่ความถี่หลักมูลกับคลื่นไซน์ที่เป็นหาร์มอนิกส์ลำดับที่ 3 ดังรูปที่ 3.1 ก. และรูป 3.2 ก. ตามลำดับ

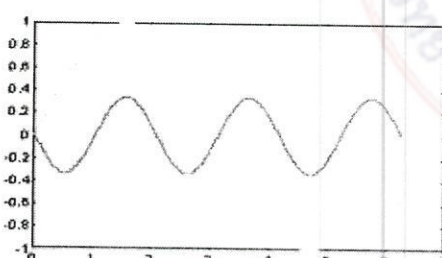


รูป 3.1 ก.

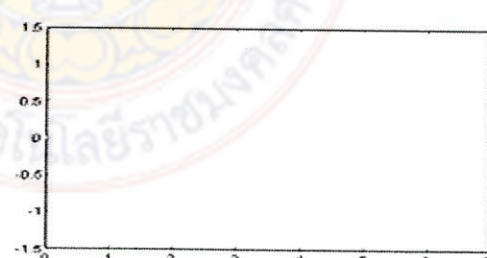


รูป 3.1 ข.

$$f(t) = \sin(x) + \frac{1}{3} \sin(3x)$$



รูป 3.2 ก.



รูป 3.2 ข.

$$f(t) = \sin(x) - \frac{1}{3} \sin(3x)$$

รูปที่ 3 แสดงถึงหาร์มอนิกส์ (ต่อ)

ค่าความเพี้ยนชาร์มอนิกส์รวมมาตรฐาน IEC และ IEEE ใช้ค่าความเพี้ยนชาร์มอนิกส์ : %THD (Total Harmonic Distortion) เป็นค่าของส่วนประกอบความถี่หลักมูลเทียนเป็นร้อยละ ซึ่งจะแยกออกเป็นค่าความเพี้ยนกระแสชาร์มอนิกส์รวม และค่าความเพี้ยนแรงดันชาร์มอนิกส์รวม

ค่าความเพี้ยนกระแสชาร์มอนิกความ (Total Harmonic Current Distortion : THD_I)

$$\%THD_I = \frac{\sqrt{\sum_{h=2}^{\infty} I_h^2 (ms)}}{I_1(ms)} \times 100\%$$

ค่าความเพี้ยนแรงดันชาร์มอนิกความ (Total Harmonic Voltage Distortion : THD_V)

$$\%THD_V = \frac{\sqrt{\sum_{h=2}^{\infty} V_h^2 (ms)}}{V_1(ms)} \times 100\%$$

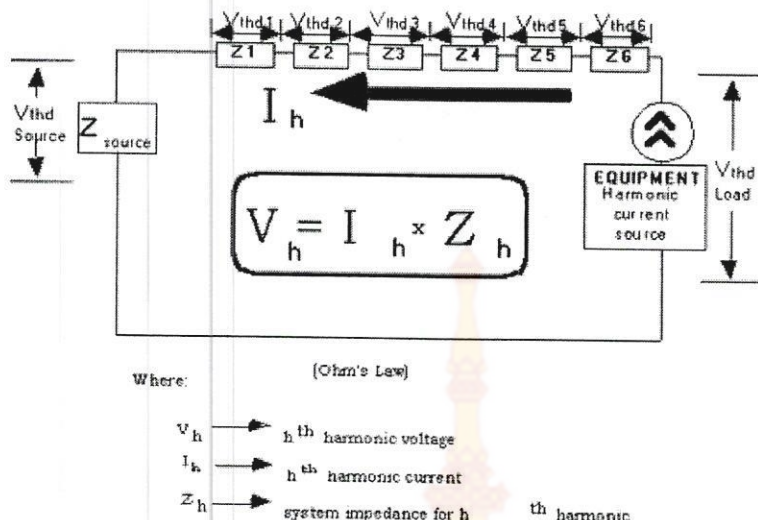
$V_h(rms)$ = ค่า rms ของแรงดันชาร์มอนิกส์ลำดับที่ h

$I_h(rms)$ = ค่า rms ของกระแสชาร์มอนิกส์ลำดับที่ h

$V_1(rms)$ = ค่า rms ของแรงดันที่ความถี่หลักมูล

$I_1(rms)$ = ค่า rms ของกระแสที่ความถี่หลักมูล

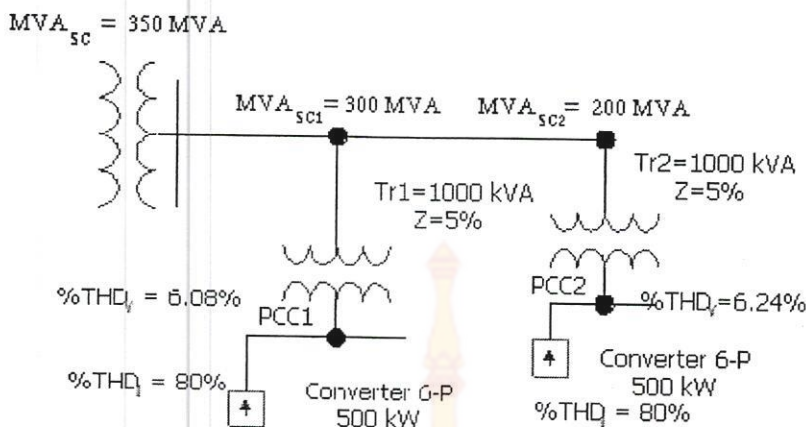
ความสัมพันธ์ของ %THD ,%THDV และ MVASC ในบางครั้งค่าของ %THDI ที่มีค่าสูงๆ ในระบบไฟฟ้า ระบบไฟฟ้านั้นอาจจะไม่เกิดผลกระทบจากปัญหาชาร์มอนิกส์ได้ เพราะ ค่า %THDI จะเป็นเพียงค่าที่บวกถึงคุณลักษณะของกระแสชาร์มอนิกส์ของโหลดที่ไม่เป็นเชิงเส้นแต่ละชนิด (ดูจากสูตรดังข้างต้น และตารางที่ 1 ประกอบ) แต่ไม่สามารถที่จะบวกถึงความรุนแรงของระดับชาร์มอนิกส์ได้อよ่งสมบูรณ์ พิกัดกำลังของโหลดที่ไม่เป็นเชิงเส้นชนิดหนึ่งเดียวกันที่ค่าพิกัดกำลังมากหรือน้อย ค่า %THDI ของโหลดดังกล่าวก็จะเป็นค่าเดียวกัน แต่ระดับความรุนแรงที่ทำให้เกิดปัญหาชาร์มอนิกส์จะไม่เท่ากัน ดังนั้นถ้าเราจะพิจารณาค่าของ %THDI ควรจะพิจารณาค่าของ %THDI ควรจะพิจารณาถึงพิกัดกำลังของโหลดที่ไม่เป็นเชิงเส้นประกอบกันด้วย ซึ่งค่าความเพี้ยนกระแสชาร์มอนิกส์จะมีค่าเป็นแอมป์ เราสามารถที่จะพิจารณาถึงระดับความรุนแรงของปัญหาชาร์มอนิกส์ในระดับหนึ่งได้ ส่วน %THDV ระดับความรุนแรงของปัญหาชาร์มอนิกส์ในระบบ ได้ซึ่งจะต่างจากค่า %THDI โดยจะอธิบายถึงความสัมพันธ์ระหว่างกระแส แรงดันชาร์มอนิกส์ และค่าพิกัดกำลังของระบบ (MVASC) ดังรูปที่ 4



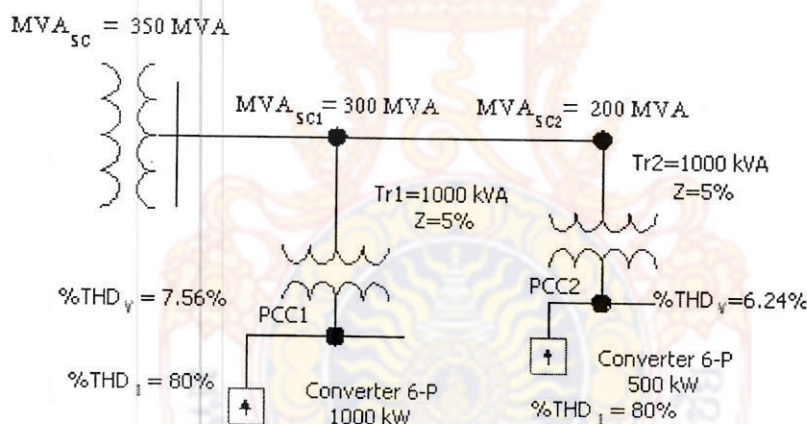
รูปที่ 4 วงจรแสดงการเกิดชาร์มอนิกส์ทางไฟฟ้า

จากรูปที่ 4 ที่แหล่งกำเนิดแรงดันไฟฟ้า จะมีค่าอิมพีเดนซ์ค่าหนึ่งซึ่งขึ้นอยู่กับค่าความถี่ของผู้ใช้ไฟ (50 Hz) เมื่อโหลดที่ไม่เป็นเชิงเส้นทำงานจะยกระดับชาร์มอนิกส์ที่ลำดับต่างๆ (I_h) เข้าสู่ระบบ และผ่านค่าอิมพีเดนซ์ของระบบที่ความถี่ต่างๆ (Z_h) ของระบบทำให้เกิดแรงดันชาร์มอนิกส์ที่ลำดับต่างๆ (V_h) ทำให้สัญญาณแรงดันในระบบมีขนาดและสัญญาณผิดเพี้ยนไปจากแหล่งเดิม ตามสมการ $V_h = I_h \times Z_h$ และจากการทำให้เราสามารถพิจารณาได้ว่าค่าความเพี้ยนแรงดันชาร์มอนิกส์ที่เกิดในระบบหนึ่งนั้น(ไม่คำนึงถึงสภาพปัจจุบันชาร์มอนิกส์หรือแนวตั้ง) จะขึ้นอยู่กับชนิดและพิกัดกำลังของโหลดที่ไม่เป็นเชิงเส้น (I_h) และค่าพิกัดกำลังลักษณะของระบบไฟฟ้า (Z_h) นั่นคือ กรณีสถานีที่ตั้งของโหลดที่ไม่เป็นเชิงเส้นอยู่ใกล้สถานีไฟฟ้า ซึ่งมีค่าพิกัดลักษณะของระบบสูงจะมีค่าอิมพีเดนซ์ของระบบต่ำแต่ถ้าอยู่ไกลสถานีไฟฟ้า ค่าพิกัดลักษณะของระบบสูงจะมีค่าอิมพีเดนซ์ของระบบสูง ซึ่งทำให้พิจารณาได้ว่า โรงงานที่มีโหลดไม่เป็นเชิงเส้นที่อยู่ใกล้สถานีไฟฟ้า จะได้รับผลกระทบจากปัจจุบันชาร์มอนิกส์น้อยกว่า โรงงานที่อยู่ไกลสถานีไฟฟ้า ในกรณีที่ระบบภายในโรงงานเหมือนกันดังรูปที่ 5

Substation



Substation



รูปที่ 5 แสดงการเปรียบเทียบค่า %THDV ของแต่ละระบบและสถานที่ตั้ง

จุดต่อรวม (Point of Common Coupling, PCC) คือจุดซึ่งขยายไฟระหว่างการไฟฟ้ากับผู้ใช้ไฟ หรือ ตำแหน่งที่ทำการตรวจวัดชาร์มอนิกส์

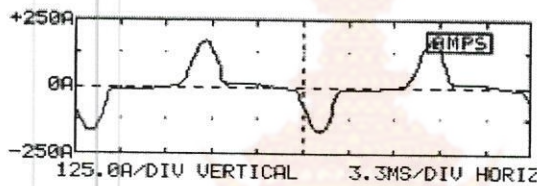
แหล่งกำเนิดชาร์มอนิกส์

จากที่กล่าวมาโดยภาวะปกติ การไฟฟ้าจะจ่ายแรงดันไฟฟ้าที่เป็นรูปสัญญาณคลื่นไส้ที่ให้กับโหลดประเภทต่างๆ ของผู้ใช้ไฟ แต่ในกรณีในระบบไฟฟ้าที่ผู้ใช้ไฟบางรายมีโหลดประเภทไม่เป็นเชิงเส้น (Nonlinear Load) ซึ่งโหลดดังกล่าวเป็นแหล่งกำเนิดชาร์มอนิกส์ กระแสชาร์มอนิกส์นั้นจะไหลเข้าสู่ระบบของผู้ใช้ไฟเอง และระบบไฟฟ้าข้างเคียง ผลกระทบกระแสชาร์มอนิกส์จะทำให้เกิดแรงดันในระบบ

เพิ่มน้ำหนักรูปคลื่นไฟฟ้า ค่าความเพี้ยนของแรงดันจะมากหรือน้อยนั้นขึ้นอยู่กับค่าอิมพีเดนซ์ของระบบและขนาดของกระแสหาร์มอนิกส์ที่ความถี่ต่างๆ ด้วยผลของการกระแสหาร์มอนิกส์ดังกล่าวให้เดาสู่ระบบใกล้เคียงรูปวงการทำงานหรือสร้างความเสียหายแก่อุปกรณ์ของผู้ใช้ไฟรายอื่นๆ และอุปกรณ์ในระบบของการไฟฟ้าได้ ดังนั้นเรามีความจำเป็นที่จะต้องทราบว่า荷ลอดที่อยู่ในอาคาร หรือโรงงาน อุตสาหกรรมเรานั้น มี荷ลอดที่เป็นแหล่งจ่ายสาร์มอนิกส์หรือไม่ และ荷ลอดประเภทใดเป็น荷ลอดที่เป็นแหล่งจ่ายสาร์มอนิกส์ เพื่อที่จะต้องทำความเข้าใจก่อนที่จะทำการแก้ไข และป้องกันปัญหาที่อาจเกิดขึ้นจากสาร์มอนิกส์ต่อไป เราสามารถแบ่งแหล่งกำเนิดสาร์มอนิกส์ตามคุณลักษณะการทำงานของอุปกรณ์ได้ดังต่อไปนี้

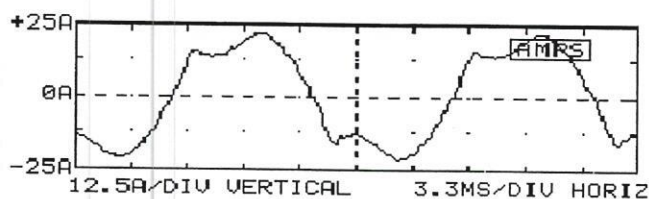
1. อุปกรณ์อิเล็กทรอนิกส์ที่มีทั่วไปในบ้านพัก สำนักงาน ส่วนใหญ่เป็นชนิด 1 เพส

1.1 อุปกรณ์ที่มีการใช้แหล่งจ่ายกำลังแบบสวิทช์ชิ้ง เช่น เครื่องคอมพิวเตอร์



| Fundamental amps: | | | 15.2 A rms | | |
|-------------------|--------|-------|------------|------|-------|
| Fundamental freq: | | | 60.0 Hz | | |
| HARM | PCT | PHASE | HARM | PCT | PHASE |
| FUND | 100.0% | -124° | 2nd | 0.2% | 136° |
| 3rd | 19.9% | -144° | 4th | | |
| 5th | 7.4% | 62° | 6th | | |
| 7th | 3.2% | -39° | 8th | | |
| 9th | 2.4% | -171° | 10th | | |
| 11th | 1.8% | 111° | 12th | | |
| 13th | 0.8% | 17° | 14th | | |
| 15th | 0.4% | -93° | 16th | | |
| 17th | 0.1% | -164° | 18th | | |
| 19th | 0.2% | -99° | 20th | | |
| 21st | 0.1% | 160° | 22nd | | |
| 23rd | 0.1% | 86° | 24th | | |
| 25th | | | 26th | | |
| 27th | 0.1% | 161° | 28th | | |
| 29th | | | 30th | | |
| 31st | | | 32nd | 0.1% | 156° |

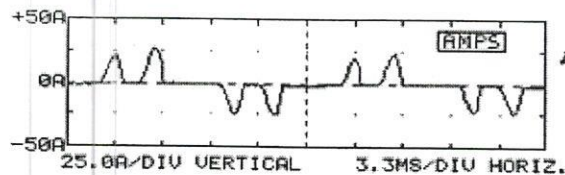
1.2 บาลานส์อิเล็กทรอนิกส์ (Electronic Ballast)



| Fundamental | | | amps: 15.2 A rms | | |
|-------------|--------|-------|------------------|------|-------|
| Fundamental | | | freq: 60.0 Hz | | |
| HARM | PCT | PHASE | HARM | PCT | PHASE |
| FUND | 100.0% | -124° | 2nd | 0.2% | 136° |
| 3rd | 19.9% | -144° | 4th | | |
| 5th | 7.4% | 62° | 6th | | |
| 7th | 3.2% | -39° | 8th | | |
| 9th | 2.4% | -171° | 10th | | |
| 11th | 1.8% | 111° | 12th | | |
| 13th | 0.8% | 17° | 14th | | |
| 15th | 0.4% | -93° | 16th | | |
| 17th | 0.1% | -164° | 18th | | |
| 19th | 0.2% | -99° | 20th | | |
| 21st | 0.1% | 160° | 22nd | | |
| 23rd | 0.1% | 86° | 24th | | |
| 25th | | | 26th | | |
| 27th | 0.1% | 161° | 28th | | |
| 29th | | | 30th | | |
| 31st | | | 32nd | 0.1% | 156° |

2. อุปกรณ์อิเล็กทรอนิกส์กำลัง เป็นอุปกรณ์ที่ใช้ในการผลิตในโรงงานอุตสาหกรรม

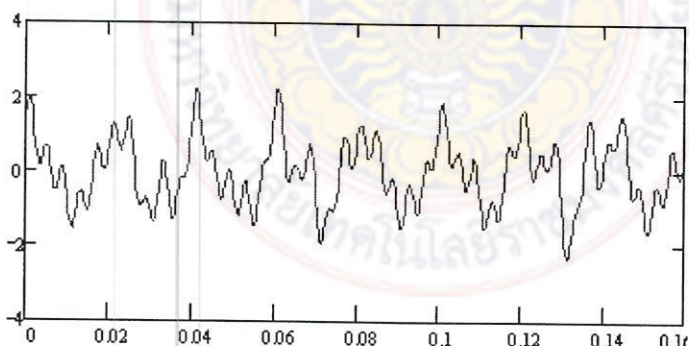
- 2.1 ตัวเรียงกระแสกำลัง (Power Rectifier)
- 2.2 เครื่องแปลงผันกำลังแบบสถิต (Static Power Converter :SPC)
- 2.3 ตัวโปรแกรมเมบิลอดิจิคอน โทรล (PLC)
- 2.4 ชุดขับเคลื่อนปรับความเร็วได้ (Adjustable Speed Drive :ASD)



| PHASE A CURRENT SPECTRUM 12:29:46 PM | | |
|--------------------------------------|--------|-----------|
| FUNDAMENTAL | amps: | 6.6 A rms |
| FUNDAMENTAL | freq: | 60.0 Hz |
| HARM | PCT | PHASE |
| FUND | 100.0% | -14° |
| 3rd | 8.5% | -114° |
| 5th | 79.5% | 145° |
| 7th | 66.0% | 124° |
| 9th | 2.7% | 11° |
| 11th | 36.0% | -92° |
| 13th | 21.8% | -118° |
| 15th | 2.4% | 22° |
| 17th | 10.4% | -23° |
| 19th | 8.0% | -79° |
| 21st | 1.4% | 131° |
| 23rd | 6.7% | 39° |
| 25th | 4.5% | -2° |
| 27th | 0.9% | 143° |
| 29th | 3.7% | 83° |
| 31st | 3.1% | 29° |
| 33rd | 0.4% | -110° |
| 2nd | 3.8% | -85° |
| 4th | 3.5% | -103° |
| 6th | 0.3% | 25° |
| 8th | 2.5% | 55° |
| 10th | 1.7% | 68° |
| 12th | 1.2% | 132° |
| 14th | 1.2% | 156° |
| 16th | 0.3% | -136° |
| 18th | 0.9% | -92° |
| 20th | 0.9% | -117° |
| 22nd | 0.5% | -105° |
| 24th | | |
| 26th | 0.3% | -12° |
| 28th | 0.2% | 76° |
| 30th | 0.3% | 42° |
| 32nd | 0.4% | 10° |
| 34th | 0.1% | 31° |

3. อุปกรณ์ที่มีการทำงานประเกตวาร์ค

- 3.1 เตาหลอมแบบอาร์ค (Arc Furnace)
- 3.2 เตาหลอมแบบเหนี่ยวน้ำ (Induction Furnace)
- 3.3 เครื่องเชื่อมแบบอาร์ค/แบบสปอต (Arc Welding / Spot Welding)



4. อุปกรณ์ที่มีความสัมพันธ์ไม่เป็นเชิงเส้นของแรงดัน และกระแสเนื่องจากการอิ่มตัวของแกนเหล็กทางแม่เหล็กไฟฟ้า เช่น หม้อแปลงไฟฟ้า (Transformer) และเครื่องกลไฟฟ้า (Electrical Machine)

ผลกระทบของชาร์มอนิกส์ที่มีผลต่ออุปกรณ์ในระบบไฟฟ้า

ปัญหาที่มอนิกส์ที่ทำให้เกิดผลกระทบต่ออุปกรณ์ในระบบไฟฟ้าออกเป็น 2 กรณีคือ

- ทำให้อุปกรณ์ในระบบมีการทำงานผิดพลาดด้วยผลของค่าแรงดัน และกระแสชาร์มอนิกส์ที่มีขนาดและรูปคลื่นสัญญาณใช้นิคเพี้ยนไป

- ทำให้อุปกรณ์ในระบบมีอายุการใช้งานน้อยลงหรือเกิดการชำรุดเสียหาย เนื่องจากมีค่า rms ของแรงดันหรือกระแสสูงขึ้นที่เกิดจากค่าชาร์มอนิกส์ หรือมีการขยายของแรงดัน และกระแสชาร์มอนิกส์ที่จากชาร์มอนิกส์เรียวแทนซึ้ง

ปัญหาที่มอนิกส์ที่ส่งผลกระทบต่ออุปกรณ์ในระบบไฟฟ้าดังนี้คือ

1. ผลของชาร์มอนิกส์เรียวแทนซึ้งเกิดขึ้นในกรณีที่ความถี่เรียวแทนซึ้งของระบบไปตรงกับความถี่ชาร์มอนิกส์ทำให้เกิดการขยายขนาดของแรงดันและกระแสชาร์มอนิกส์ เป็นผลทำให้อุปกรณ์ได้รับความเสียหายเนื่องจากได้รับกระแสและแรงดันเกินพิกัด

2. ผลของกระแสชาร์มอนิกส์ที่ไหลอยู่ในระบบจำหน่าย และสายส่ง ทำให้เกิดค่ากำลังสูญเสียในสายมากขึ้นทำให้ประสิทธิภาพการส่งจ่ายลดลง เนื่องจากกระแสชาร์มอนิกส์ทำให้ค่า rms ของกระแส และความต้านทานของสายสูงขึ้น

3. ผลของกระแสชาร์มอนิกส์ Triplen (ลำดับที่ 3,6,9) จดอยู่ในกลุ่มที่มีลำดับเป็นศูนย์ (Zero Sequence) ในระบบ 3 เฟส 4 สาย ชาร์มอนิกส์กลุ่มนี้จะรวมกันไหลอยู่ในสายนิวตรอลอาจทำให้สายนิวตรอลหรือหม้อแปลงเสียหายได้หากไม่มีการออกแบบรองรับไว้

4. ผลของกระแสชาร์มอนิกส์ทำให้กำลังสูญเสียขณะมีโหลด และกำลังสูญเสียสเตอร์ฟลักซ์ (Stray Flux Loss) ของหม้อแปลงมีค่าเพิ่มขึ้น และทำให้ประสิทธิภาพการรับโหลดของหม้อแปลงลดลง และทำให้เกิดกระแสไฟต่วน (Eddy Current Loss) และกำลังสูญเสียไฮสเตอร์ไซต์ (Hysteresis Loss) เพิ่มขึ้น

5. ผลของกระแสชาร์มอนิกส์ทำให้เกิดความร้อน และความเครียดไดอิเลคทริก (Dielectric Stress) กับตัวค่าป่าซิเตอร์ และอาจทำให้ฟิล์สของตัวค่าป่าซิเตอร์ขาดง่ายกว่าการใช้งานปกติ ผลของแรงดันชาร์มอนิกส์ทำให้เกิดค่ากำลังสูญเสียในค่าป่าซิเตอร์ และผลจากการใช้กระแสเรียวแทนซึ้งที่ตัวค่าป่าซิเตอร์ทำให้เกิดขยายกระแสและแรงดันชาร์มอนิกส์ขนาดใหญ่ ดังนั้นเพื่อความปลอดภัยในการใช้งานของค่าป่าซิเตอร์สามารถทดสอบต่อค่ากระแส และแรงดันชาร์มอนิกส์ ค่าป่าซิเตอร์ที่ออกแบบสร้างจากผู้ผลิตได้กำหนดมาตรฐาน IEEE Std. 18-1992

6. ผลของกระแสชาร์มอนิกส์ทำให้เกิดความร้อนในตัวฟิล์สเพิ่มขึ้น ทำให้ลักษณะเวลา-กระแส (Time-Curent) ของฟิล์สเปลี่ยนไป กรณีที่มีฟอลต์ระดับต่ำเกิดขึ้นฟิล์สจะขาดก่อนในเวลาที่กำหนด หรือในกรณีที่ฟิล์สขาดโดยไม่ทราบสาเหตุจะเป็นเหตุมาจากชาร์มอนิกส์ในกรณีที่เกิดภาวะเรียวแทนซึ้งได้เช่นกัน

7. ผลของชาร์มอนิกส์ทำให้การทำงานของรีเลย์ผิดพลาดซึ่งขึ้นอยู่กับคุณสมบัติการทำงานของรีเลย์ชนิด Electromagnetic ขึ้นอยู่กับค่ากระแสและแรงดัน rms ส่วนการทำงานของรีเลย์ชนิด Digital ขึ้นอยู่กับค่าแรงดันยอดคลีน (Crest Voltage) จากการ Sampling และตรวจค่า Zero Crossing ค่ากระแสหรือแรงดันที่ศูนย์

8. ผลของกระแสชาร์มอนิกส์มีผลกระทบต่อความสามารถในการตัดกระแสของอุปกรณ์สวิตซ์เกียร์ หรือเซอร์กิตเบรคเกอร์

9. ผลของชาร์มอนิกส์ทำให้มีเตอร์วัดค่าไฟฟ้าทำการวัดค่าผิดพลาดได้

10. ผลของชาร์มอนิกส์ต่อเครื่องจักรไฟฟ้า ทำให้กำลังสูญเสียเพิ่มขึ้น

11. ผลของชาร์มอนิกส์ทำให้เกิดสัญญาณรบกวนในระบบสื่อสาร

059761

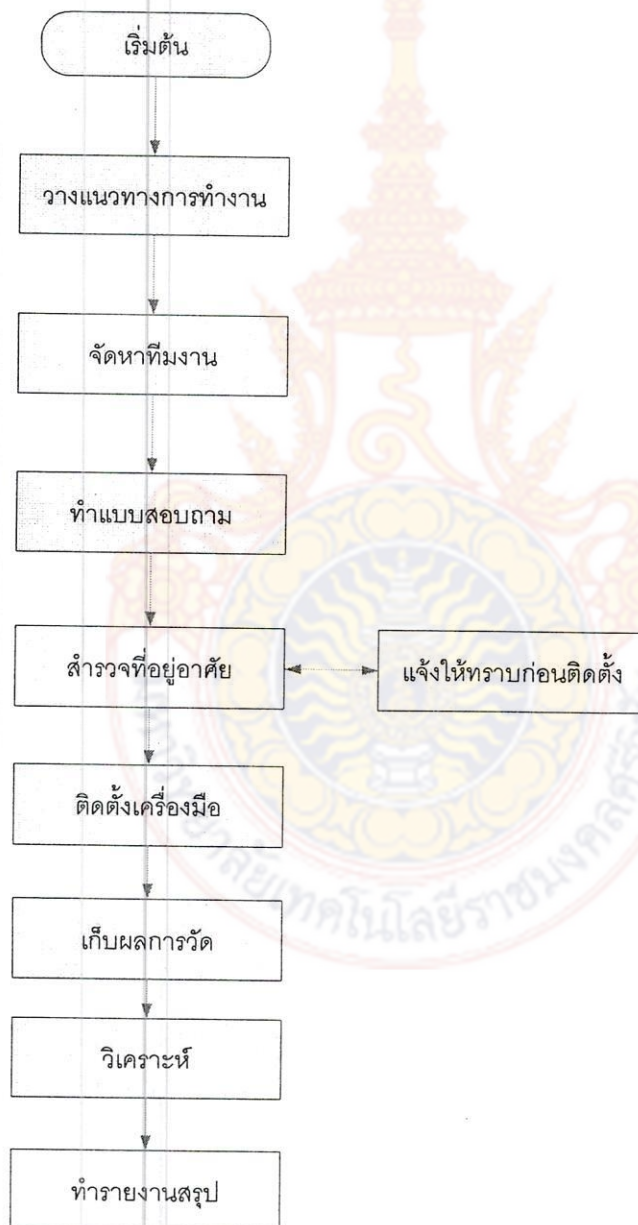


บทที่ 3

ขั้นตอนการดำเนินงาน

3.1 ศึกษาคุณลักษณะของสาร์มอนิกส์

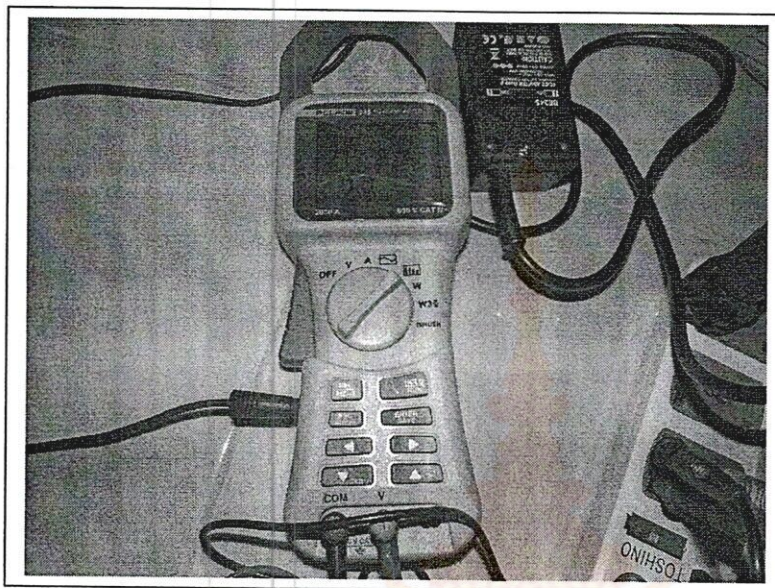
ชี้งคุณลักษณะของสาร์มอนิกส์ เป็นการเกิดตามเหตุที่กล่าวมาแล้วในบทที่ 1 ซึ่งก่อให้เกิดความเสียหายต่ออุปกรณ์ และระบบไฟฟ้า ซึ่งผู้วิจัยได้ศึกษาเรียนรู้อย่างแล้ว



รูปที่ 6 แสดง Flowchart การทำงานพอสังเขป

3.2 ศึกษาการทำงานและการใช้เครื่องมือวัดสาร์มอนิกส์

เป็นไปตามคุณมือการใช้งาน อุปกรณ์การวัดจะเป็นดังรูปข้างล่างนี้



รูปที่ 7 แสดงมิเตอร์สำหรับวัดค่าสาร์มอนิกส์

3.3 สำรวจที่พักอาศัยที่จะเข้าร่วมโครงการ

การสำรวจที่พักอาศัยที่จะเข้าร่วมโครงการวัดสาร์มอนิกส์ที่เกิดขึ้น โดยจะต้องเป็นที่อยู่อาศัยที่ใช้ พลังงานไฟฟ้าไม่เกิน 3 กิโลวัตต์ เท่านั้น โดยทีมงานสำรวจจะเลือกที่จะสำรวจหลังไหน์ก็ได้เพียงแต่ ต้องได้รับความยินยอมจากเจ้าของที่อยู่อาศัยหลังนี้ด้วย เนื่องจากทีมงานต้องติดตั้งเครื่องวัดเวลา 18.00 ถึง 21.00 น. ซึ่งอาจเป็นเวลาที่เจ้าของที่อยู่อาศัยพักผ่อน อาจสร้างความรำคาญได้ เพราะจะนั่ง ต้องให้เจ้าของที่อยู่อาศัยยินยอมทุกหลัง เมื่อทีมงานสำรวจจะเก็บข้อมูลไว้ก่อน และแจ้งการเข้า ตรวจวัดภายใน เนื่องจากต้องรออุปกรณ์ และความพร้อมในการเข้าวัด

3.4 ออกแบบฟอร์มสำรวจ

การออกแบบฟอร์มในการสำรวจ จำเป็นต้องมีเนื้องจากข้อมูลที่เราบันทึกจากเครื่องมือวัดเป็น ข้อมูลเฉพาะสาร์มอนิกส์เท่านั้น จำเป็นต้องมีข้อมูลเครื่องใช้ไฟฟ้าภายในที่อยู่อาศัยด้วย เพื่อ ประกอบการวิเคราะห์ในภายหลัง ดังนั้นแบบฟอร์มที่ออกแบบดังตัวอย่างแบบจะมีช่องหลายช่อง สำหรับกรอกข้อมูลจากการสำรวจอุปกรณ์ภายในที่อยู่อาศัย และข้อมูลจากการวัดบางส่วน ตัวอย่าง แบบฟอร์มสำรวจดังจะเห็นได้ข้างล่างซึ่งจำเป็นต้องให้ทีมงานวิจัยลงสำรวจและกรอกแบบสอบถาม ตามความจำเป็นก่อนการเข้าตรวจวัดซึ่งข้อมูลที่ต้องการเช่น ปริมาณการใช้ไฟฟ้า อุปกรณ์ที่ใช้ภายใน

บ้าน อุปกรณ์ที่มีความถี่การใช้งานมากสุด และน้อยสุด อุปกรณ์ที่อาจก่อให้เกิดความเสื่อมต่ออุปกรณ์ที่ไม่ต้องการหรือ ชำรุดอนิกส์ในระบบและข้อมูลบางส่วนที่มาจากการวัดของทีมวิจัยที่ต้องติดตั้งอุปกรณ์ตรวจบันทึก

แบบสำรวจ โครงการวิจัยปี 2551 (งบผลประโยชน์)

เรื่อง ศึกษาพฤติกรรมของชาวมุสลิมที่ไม่ต้องการในช่วงเวลาความต้องการใช้พลังงานไฟฟ้าสูงสุด

รหัส 040

บ้านเลขที่ ตำบล อำเภอ จังหวัด

| <u>ข้อมูลทั่วไป</u> | | <u>ข้อมูลอุปกรณ์ในบ้าน</u> | | รวมค่าเวลค์ | วัสดุ |
|--------------------------|--------------------------|----------------------------|-------|-------------|-------|
| มี | ไม่มี | อุปกรณ์ | จำนวน | | |
| <input type="checkbox"/> | <input type="checkbox"/> | เตี้ยเห็บ | | | |
| <input type="checkbox"/> | <input type="checkbox"/> | เครื่องดูดฝุ่น | | | |
| <input type="checkbox"/> | <input type="checkbox"/> | เครื่องซักผ้า | | | |
| <input type="checkbox"/> | <input type="checkbox"/> | ไมโครเวฟ | | | |
| <input type="checkbox"/> | <input type="checkbox"/> | กีวิ | | | |
| <input type="checkbox"/> | <input type="checkbox"/> | หนักหุ้งข้าว | | | |
| <input type="checkbox"/> | <input type="checkbox"/> | กระดิคน้ำร้อน | | | |
| <input type="checkbox"/> | <input type="checkbox"/> | นาฬิการะบบภายในบ้าน | | | |
| <input type="checkbox"/> | <input type="checkbox"/> | เครื่องเสียง | | | |
| <input type="checkbox"/> | <input type="checkbox"/> | พัดลม | | | |
| <input type="checkbox"/> | <input type="checkbox"/> | เครื่องปรับอากาศ | | | |
| <input type="checkbox"/> | <input type="checkbox"/> | หลอดไฟ | | | |
| <input type="checkbox"/> | <input type="checkbox"/> | เครื่องทำน้ำอุ่น | | | |
| <input type="checkbox"/> | <input type="checkbox"/> | อื่นๆ | | | |

ข้อมูลการวัดความทอนนิค

วัดกระแส (อ่านต่อ ณ เวลาใดเวลาหนึ่ง)

กระแสเฉลี่วคลื่นรบกวนนิคส์ แอมป์

ความถี่ Hz

เมอร์เซ็นต์ความผิดเพี้ยนของสัญญาณ (THD) %

ถ้าเดินทางชาวมุสลิมที่อาจเป็นอันตรายต่ออุปกรณ์ไฟฟ้า

ลักษณะที่

ลักษณะที่

ลักษณะที่

ลักษณะที่

ลักษณะที่

วัดแรงดัน (อ่านต่อ ณ เวลาใดเวลาหนึ่ง)

อยู่ด้วยกันในช่วง 18.00-21.00 น.

แรงดันขณะวัดชาวมุสลิม โวลท์

.....

ความถี่ Hz

.....

เมอร์เซ็นต์ความผิดเพี้ยนของสัญญาณ (THD) %

.....

หมายเหตุ การวัดทุกครั้งให้แนบข้อมูลการวัดจากเครื่องแบบ
ทุกครั้ง

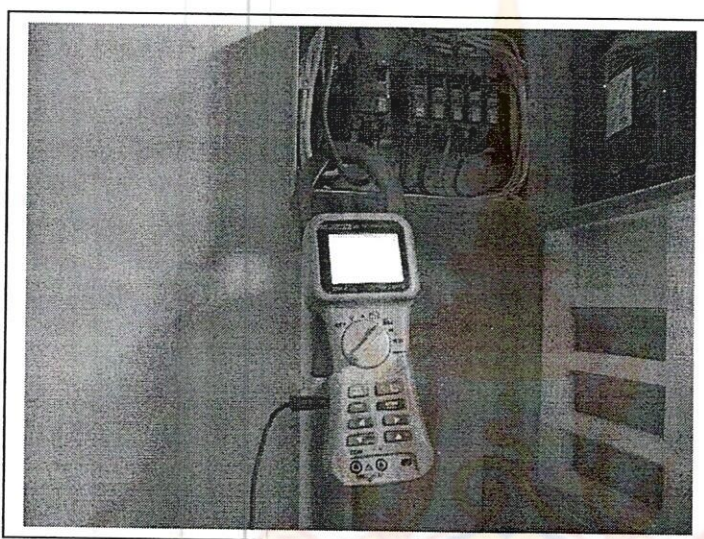
..... อ.พิพัฒน์ บุญนุ่น เกัวหน้าโครงการ
ทุนสนับสนุน

จาก คณะวิศวกรรมศาสตร์ มหาวิทยาลัยเชียงใหม่

3.5 การติดตั้งอุปกรณ์วัดชำรุดอนิภัย

การติดตั้งอุปกรณ์มี 2 แบบที่ต้องวัดคือ ติดตั้งเพื่อวัดชำรุดอนิภัยที่เป็นแรงดัน หรือกระแสซึ่งการติดตั้งต้องระมัดระวังเรื่องการติดตั้งเพื่อวัดแรงดันชำรุดอนิภัยเนื่องจากต้องต่อตรงสายเมนของที่พักอาศัย การติดตั้งจะเป็นดังภาพที่แสดงคือ

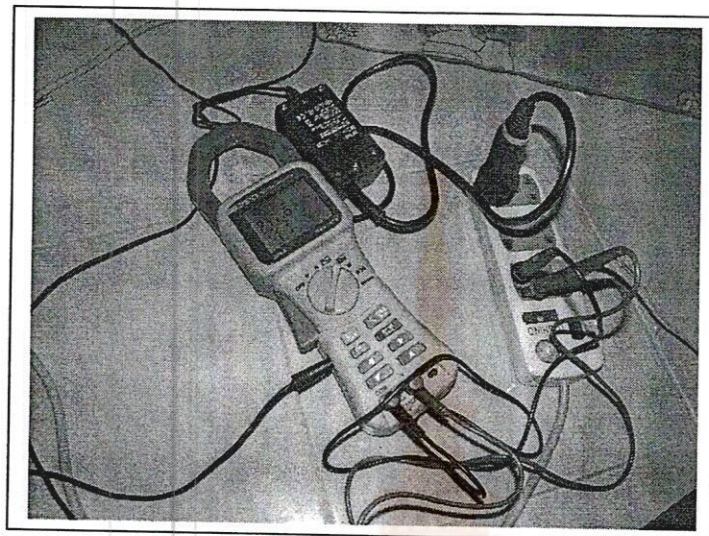
3.5.1 การติดตั้งเพื่อวัดกระแสชำรุดอนิภัย



รูปที่ 8 การต่อวัดกระแสชำรุดอนิภัย

สำหรับการติดตั้งการวัดบันทึกค่าชำรุดอนิภัยในแต่ละช่วงเวลาหนึ่นทำได้โดยง่ายคือนำเครื่องมือสำหรับบันทึกที่มีเป็นลักษณะแคล้มมิเตอร์มาคล้องตรงสายทางเข้าของสายป้อนภายในบ้านเส้นเดียว จากนั้นทำการสำรวจพลังงานให้เครื่องวัดสามารถวัดได้นานสุดสามชั่วโมงเพื่อบันทึกค่า และไม่จำเป็นไม่ต้องนำสายต่อตรงกับที่พักอาศัยเนื่องจากอาจสิ้นเปลืองพลังงานจากนั้นทำการเช็คค่าต่างๆ ที่จำเป็นสำหรับการบันทึก ให้เรียบร้อยก่อนการบันทึก

3.5.2 การติดตั้งเพื่อวัดแรงดันชาร์มอนิกส์



รูปที่ 9 แสดงการต่อวัดแรงดันชาร์มอนิกส์

สำหรับการติดตั้งอุปกรณ์หรือเครื่องมือสำหรับบันทึกค่าแรงดันชาร์มอนิกส์นั้นก็ทำได้ไม่ยาก เช่นกัน โดยสายอินพุตของมิเตอร์สองสายสำหรับวัดค่าหนึ่งเฟสเข้ากับสายไฟ และสายนิวตรอล เพื่อ วัด และทำการเช็คค่า เช่นเดียวกันกับการติดตั้งเพื่อวัดกระแสชาร์มอนิกส์

3.6 วิเคราะห์ข้อมูลเบื้องต้น

ข้อมูลที่ໂหลດมาจากการวัดที่สามารถเก็บข้อมูลได้ตลอดสามชั่วโมงสามารถทำการบันทึกภาพ ได้ตลอดการวัดซึ่งแสดงดังเอกสารแนบที่เป็นข้อมูลจากการวัดซึ่งจะทำการวิเคราะห์เบื้องต้นให้เห็นในการวัดแต่ละที่อยู่อาศัยดังจะได้กล่าวในบทต่อไป



บทที่ 4

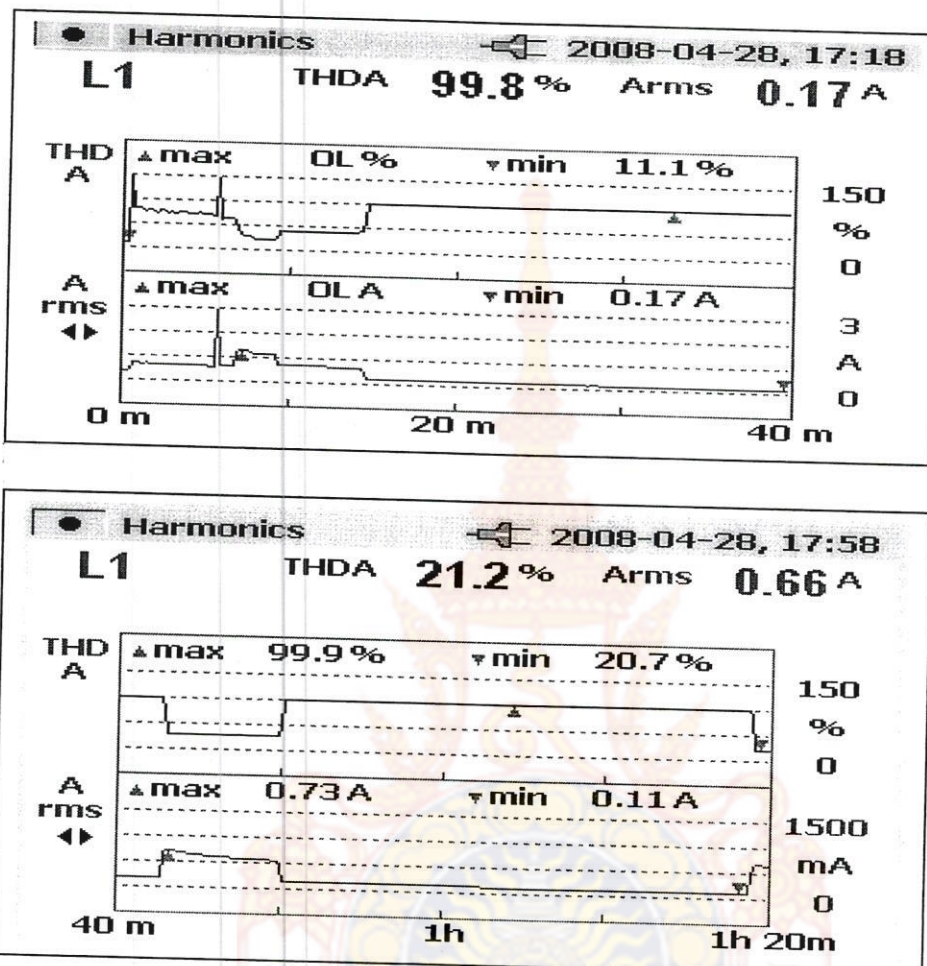
ผลการเก็บข้อมูลและวิเคราะห์เบื้องต้น

จากการทำการเข้าตรวจวัดทั้งหมดตามที่วางแผนการเข้าตรวจวัดนั้น เมื่อนำข้อมูลที่ได้ออกจากเครื่องมือวัดหรือ ชุดตรวจวัดค่าพลังงานที่สามารถบันทึกค่าการเกิดแรงดันharmonics หรือกระแส ยาร์มอนิกส์ในระบบเมื่อมีการใช้พลังงานหรือเครื่องไฟฟ้าภายในบ้าน ซึ่งค่าที่บันทึกได้นั้นจะมีค่า เป็นเปอร์เซ็นต์การเกิดยาร์มอนิกส์รวมของระบบซึ่งถูกต้องอย่างได้มาตรฐานที่ 4.1 ข้างล่างนี้ ซึ่งเป็นการนำ อุปกรณ์สำหรับการวัดเข้าตรวจที่อยู่อาศัยขนาดการใช้พลังงานไฟฟ้าภายในบ้านต้องไม่เกิน 3 กิโลวัตต์ และต้องมีอุปกรณ์ไฟฟ้าแบบที่ใช้งานกันปกติทั่วไป เช่น หม้อหุงข้าว เตาเริดผ้า เครื่องซักผ้า โทรทัศน์ ตู้เย็น พัดลม ไมโครเวฟ หลอดไฟฟ้าขนาดต่างๆ เครื่องทำน้ำอุ่น คอมพิวเตอร์ ปั๊มน้ำขนาดเล็ก เครื่องดู ผุน หรือเครื่องเสียงต่างๆ เป็นต้น



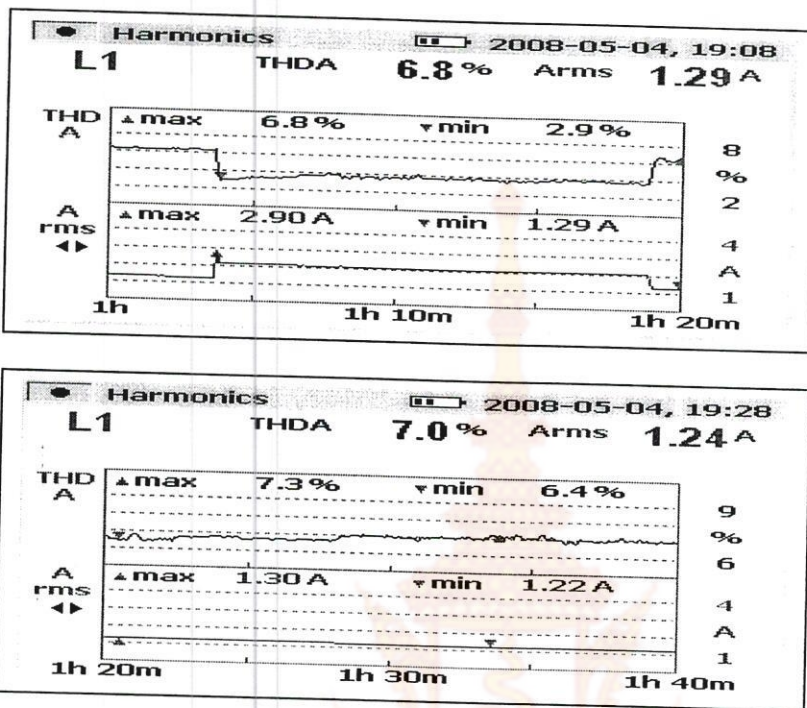
รูปที่ 10 อุปกรณ์หรือเครื่องใช้ไฟฟ้าภายในบ้านเรือนทั่วไป

เมื่อทำการติดตั้งตามมาตรฐานการวัดชำรุดอนิภัยตามบทที่ 3 ที่ผ่านมานี้ จะได้ข้อมูลซึ่งจะแสดงเป็นผลของการศึกษาภาพสังเขปจากตัวอย่างของการวัดดังต่อไปนี้



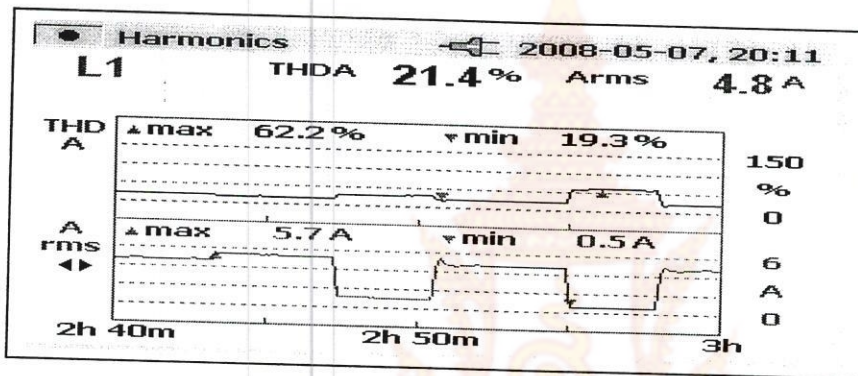
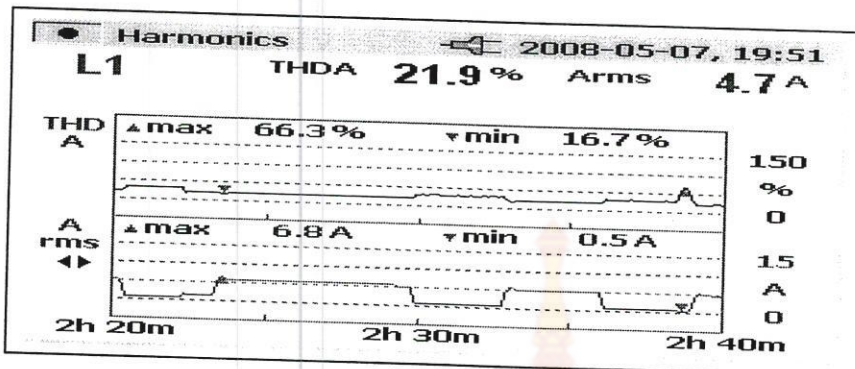
รูปที่ 11 การศึกษาผลการวัดจากตัวอย่างที่อยู่อาศัยครั้งที่ 2

ผลที่ได้คือจากรูปที่ 11 จะเห็นได้ว่าเป็นการนำเครื่องวัดไปติดตั้งและบันทึกค่ากระแสอนิภัยที่เกิดขึ้นภายในที่อยู่อาศัยขนาดไม่เกิน 3 kW ซึ่งทำการวัดช่วงเวลาตั้งแต่ 18.00 น. ไปจนถึง 21.00 น. โดยให้ทำการบันทึกทุก 2 นาที ผลโดยมีการใช้งานเครื่องใช้ไฟฟ้าตามปกติ ผลปรากฏจากการบันทึกจะได้ตามรูปที่ 11 ซึ่ง 0-40 นาทีแรกมีกระแส Arms ประมาณ 0.17 A เป็นค่าเฉลี่ยต่ำสุดของช่วงนี้และมีค่าสูงสุดที่ประมาณ 3 A ค่า THDA ประมาณ 99.8% เป็นบางช่วงที่มีการใช้เครื่องใช้ไฟฟ้าประเภทเตาไมโครเวฟ และเครื่องซักผ้า สังเกตจากช่วงเวลาประมาณนาทีที่ 6-8 นั่งลงโดยวันที่ในการติดตั้งเครื่องมีวันคือวันที่ 28-04-2008 สำหรับช่วงเวลาถัดมาตั้งแต่นาทีที่ 40 ไปจนถึง 1 ชั่วโมง 20 นาที นั้นจะเห็นได้ว่ากระแส Arms ก็จะเพิ่มขึ้นเป็น 0.66 A โดยค่า THDA ประมาณ 21.21% ซึ่งเริ่มน้ำการใช้อุปกรณ์ไฟฟ้าเพิ่มมากขึ้นกว่าเดิมซึ่งถ้ามองไปจนถึง 21.00 น. ตามเอกสารภาคผนวกก็จะเห็นถึงพฤติกรรมของการใช้ไฟฟ้าของที่อยู่อาศัยหลังนี้มากขึ้น



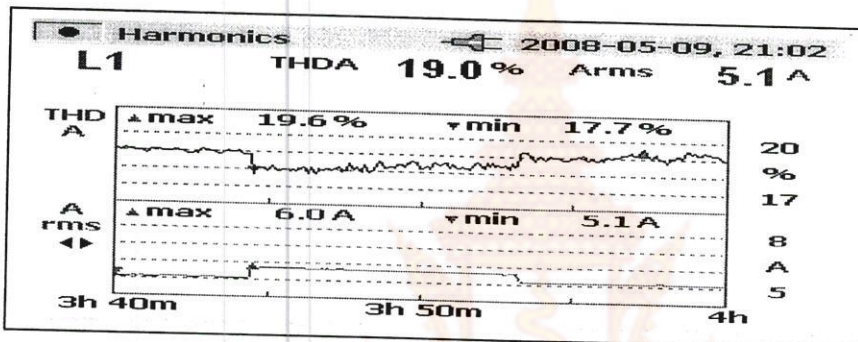
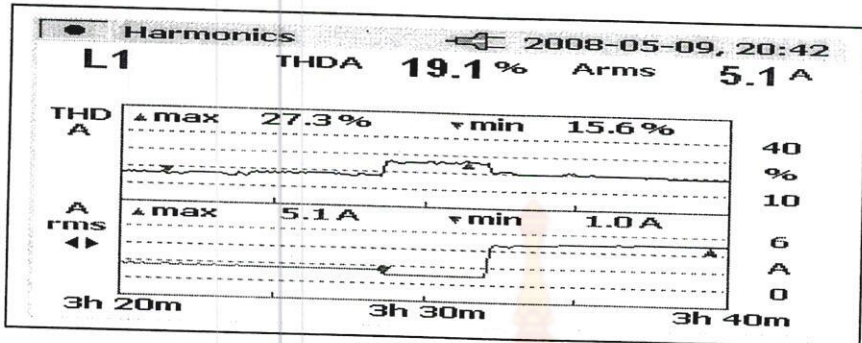
รูปที่ 12 การศึกษาผลการวัดจากตัวอย่างที่อยู่อาศัยครั้งที่ 4

ผลที่ได้คือจากรูปที่ 12 จะเห็นได้ว่าเป็นการนำเครื่องวัดไปติดตั้งและบันทึกค่ากระแสบนอนิลส์ที่เกิดขึ้นภายในที่อยู่อาศัยขนาดไม่เกิน 3 kW ซึ่งทำการวัดช่วงเวลาตั้งแต่ 18.00 น. ไปจนถึง 21.00 น. โดยให้ทำการบันทึกทุก 2 นาที ผลโดยมีการใช้งานเครื่องไฟฟ้าตามปกติ ผลปรากฏจากการบันทึกจะได้ตามรูปที่ 12 ซึ่ง 1 ชั่วโมง 20 นาทีแรก มีกระแส Arms ประมาณ 1.29 A เป็นค่าเฉลี่ยต่ำสุดของช่วงนี้ และมีค่าสูงสุดที่ประมาณ 2.90 A ค่า THDA ต่ำสุดที่ 2.9% และสูงสุดที่ 6.8% เป็นช่วงที่มีการใช้งานอุปกรณ์ไฟฟ้าเริ่มมากขึ้นตามปกติ เช่น หลอดไฟเนื่อง โทรทัศน์ พัดลม เป็นต้น โดยวันที่ทำการติดตั้งเครื่องมือวัดคือวันที่ 04-05-2008 สำหรับช่วงเวลาถัดมาตั้งแต่ที่ 1 ชั่วโมง 20 นาที ไปจนถึง 1 ชั่วโมง 40 นาที นั้นจะเห็นได้ว่ากระแส Arms ต่ำสุดก็จะเป็น 1.22 A สูงสุดจะเป็น 1.30 A โดยค่า THDA ต่ำสุดประมาณ 6.4% สูงสุดประมาณ 7.3% ซึ่งเริ่มมีการใช้อุปกรณ์ไฟฟ้าเพิ่มมากขึ้นกว่าเดิมซึ่งถ้ามองไปจนถึง 21.00 น. และกระแสบนอนิลส์จะมีค่าสูงช่วงเวลาประมาณ 20.00 น. อาจเป็นช่วงที่มีการใช้พลังงานสูงสุดของที่อยู่อาศัยหลังนี้ก็เป็นได้ ตามเอกสารภาคผนวกก็จะเห็นถึงพฤติกรรมของการใช้ไฟฟ้าของที่อยู่อาศัยหลังนี้มากขึ้น



รูปที่ 13 การศึกษาผลการวัดจากตัวอย่างที่อยู่อาศัยครั้งที่ 6

ผลที่ได้คือจากรูปที่ 13 จะเห็นได้ว่าเป็นการนำเครื่องวัดไปติดตั้งและบันทึกค่ากระแสาร์มอนิกส์ที่เกิดขึ้นภายในที่อยู่อาศัยขนาดไม่เกิน 3 kW ซึ่งทำการวัดช่วงเวลาตั้งแต่ 18.00 น. ไปจนถึง 21.00 น. โดยให้ทำการบันทึกทุก 2 นาที ผลโดยมีการใช้งานเครื่องใช้ไฟฟ้าตามปกติ ผลปรากฏจากการบันทึกจะได้ตามรูปที่ 13 ซึ่ง 2 ชั่วโมง 20 นาทีแรก มีกระแส Arms ประมาณ 0.5 A เป็นค่าเฉลี่ยต่ำสุดของช่วงนี้และมีค่าสูงสุดที่ประมาณ 6.8 A ค่า THDA ต่ำสุดที่ 19.3% และสูงสุดที่ 66.3% เป็นช่วงที่มีการใช้งานอุปกรณ์ไฟฟ้าเริ่มมากขึ้นตามปกติ เช่น หลอดไฟเนื่อง โทรทัศน์ พัดลม และอุปกรณ์บางตัวก่อให้เกิดความถี่ที่เป็นสาร์มอนิกส์ เช่น ไมโครเวฟ เป็นต้น โดยวันที่ในการติดตั้งเครื่องมือวัดคือวันที่ 07-05-2008 สำหรับช่วงเวลาตัดมาตั้งแต่ที่ 2 ชั่วโมง 40 นาที ไปจนถึง 3 ชั่วโมง นั้นจะเห็นได้ว่ากระแส Arms ต่ำสุดจะเป็น 0.5 A สูงสุดจะเป็น 5.7 A โดยค่า THDA ต่ำสุดประมาณ 19.3% สูงสุดประมาณ 62.2% ซึ่งมีการใช้อุปกรณ์ไฟฟ้าเพิ่มมากขึ้นกว่าเดิมซึ่งถ้ามองไปจนถึง 21.00 น. และกระแสาร์มอนิกส์จะมีค่าสูงช่วงเวลาประมาณ 20.00 น. อาจเป็นช่วงที่มีการใช้พลังงานสูงสุดของที่อยู่อาศัยหลังนี้ก็เป็นได้ ตามเอกสารภาคผนวกก็จะเห็นถึงพฤติกรรมของการใช้ไฟฟ้าของที่อยู่อาศัยหลังนี้มากขึ้น



รูปที่ 14 การศึกษาผลการวัดจากตัวอย่างที่อยู่อาศัยครั้งที่ 8

ผลที่ได้คือจากรูปที่ 14 จะเห็นได้ว่าเป็นการนำเครื่องวัดไปติดตั้งและบันทึกค่ากระแสาร์มอนิกส์ที่เกิดขึ้นภายในที่อยู่อาศัยขนาดไม่เกิน 3 kW ซึ่งทำการวัดช่วงเวลาตั้งแต่ 18.00 น. ไปจนถึง 21.00 น. โดยให้ทำการบันทึกทุก 2 นาที ผลโดยมีการใช้งานเครื่องใช้ไฟฟ้าตามปกติ ผลปรากฏจากการบันทึกจะได้ตามรูปที่ 14 ซึ่ง 3 ชั่วโมง 20 นาทีแรกของการวัด มีกระแส Arms ประมาณ 1.0 A เป็นค่าเฉลี่ยต่ำสุดของช่วงนี้และมีค่าสูงสุดที่ประมาณ 5.1A ค่า THDA ต่ำสุดที่ 15.6% และสูงสุดที่ 27.3% เป็นช่วงที่มีการใช้งานอุปกรณ์ไฟฟ้าเริ่มน้อยลงตามปกติ เช่น หลอดไฟนีออน และอุปกรณ์บางตัวก่อให้เกิดความถี่ที่เป็นชาร์มอนิกส์ เช่น ไมโครเวฟ เป็นต้น โดยวันที่ในการติดตั้งเครื่องมือวัดคือวันที่ 09-05-2008 สำหรับช่วงเวลาถัดมาตั้งแต่ที่ 3 ชั่วโมง 40 นาที ไปจนถึง 4 ชั่วโมง นั้นจะเห็นได้ว่ากระแส Arms ต่ำสุดก็จะเป็น 5.1 A สูงสุดจะเป็น 6.0 A โดยค่า THDA ต่ำสุดประมาณ 17.7 % สูงสุดประมาณ 19.6 % ซึ่งมีการใช้อุปกรณ์ไฟฟ้าเพิ่มมากบางอย่างที่ไม่ก่อให้เกิดชาร์มอนิกส์มากนักซึ่งถ้ามองไปจนถึง 21.00 น. และกระแสาร์มอนิกส์จะมีค่าสูงช่วงเวลาประมาณ 18.00 น. กว่าๆ และลดลง โดยเพิ่มอีกครั้งในช่วง 20.00 น. อาจเป็นช่วงที่มีการใช้พลังงานสูงสุดอีกครั้งของที่อยู่อาศัยหลังนี้ก็เป็นได้ ตามเอกสารภาคผนวกก็จะเห็นถึงพฤติกรรมของการใช้ไฟฟ้าของที่อยู่อาศัยหลังนี้มากขึ้น

สรุป

จากการเข้าตรวจวัดโดยได้ข้อมูลมาจำนวน 20 หลังคาเรือนของที่อยู่อาศัยขนาดไม่เกิน 3 kW นั้น พอจะสรุปการใช้พลังงานได้ว่าจากข้อมูลที่นำมาวิเคราะห์จะเห็นถึงพฤติกรรมของการใช้ไฟฟ้าในแต่ละ ที่อยู่อาศัย ซึ่งแต่ละที่อยู่อาศัยก็จะมีลักษณะของอุปกรณ์ที่อาจแตกต่างกันตามความจำเป็นของการใช้ งาน และช่วงเวลาของการใช้แต่ละอุปกรณ์ก็อาจแตกต่างกัน แต่จากการวิเคราะห์จะเห็นได้ว่ามีอยู่บาง ช่วงเท่านั้นที่มีการใช้พลังงานเฉลี่ยสูงสุด คือช่วงประมาณ 20.00 น. ซึ่งเป็นช่วงที่ทำให้กระแสหาร์มอนิคส์มีค่าค่อนข้างสูง และการใช้พลังงานก็มีค่าเฉลี่ยที่ค่อนข้างสูงเช่นกันเกือบทุกที่อยู่อาศัย ส่วนเวลา การใช้พลังงานไฟฟ้าในช่วงเวลาอื่น นั้นก็มีมาก เช่นเดียวกัน เพียงแต่ว่าไม่เท่ากับช่วงเวลาที่กล่าวถึง การเกิดหาร์มอนิคส์ก็พอมีบางเป็นบางช่วงเวลา นั้นก็อาจพอสรุปเป็นเบื้องต้นได้สำหรับการวิจัยทางด้าน พลังงานไฟฟ้า ซึ่งในโอกาสต่อๆ ไปอาจได้วิเคราะห์ให้ลึกมากกว่านี้

บทที่ 5

สรุปผลและวิจารณ์

จะเห็นได้ว่าจะเริ่มจากการศึกษาข้อมูลต่างๆ เกี่ยวกับมาตรฐานนิยม และแหล่งกำเนิด การป้องกัน ต่างๆ จากนั้นทำการศึกษาการวัดและ เอาข้อมูลมาตรฐานนิยมออกมายังระบบเพื่อดูค่าได้อย่างไร

จากนั้นจะทำการสำรวจที่อยู่อาศัยซึ่งจะได้ที่อยู่อาศัยประมาณ 20 หลังคาเรือน ณ ขณะนี้ และจะ หาเพื่อ และทำการเจาะเพื่อเข้าวัดข้อมูล แล้ว ซึ่งต้องใช้เวลาในการตรวจวัดประมาณ 1 เดือน หรือ มากกว่านี้ โดยในการตรวจวัดจะนำแบบฟอร์มสำรวจนี้ไปด้วยเพื่อกับข้อมูลอุปกรณ์หรือเครื่องใช้ไฟฟ้า ภายในที่อยู่อาศัยด้วย

และได้ทำการทดสอบตั้งอุปกรณ์การวัด เพื่อคุณภาพของเครื่องมือ ซึ่งจะได้ว่าค่าที่บันทึก อยู่ในระดับที่ยอมรับได้ ซึ่งข้อมูลดังเอกสารแนบ ซึ่งจะทำการทดสอบการวัดก่อนวัดจริงประมาณสอง สามครั้งเพื่อความแน่นอนของข้อมูลต่อไป

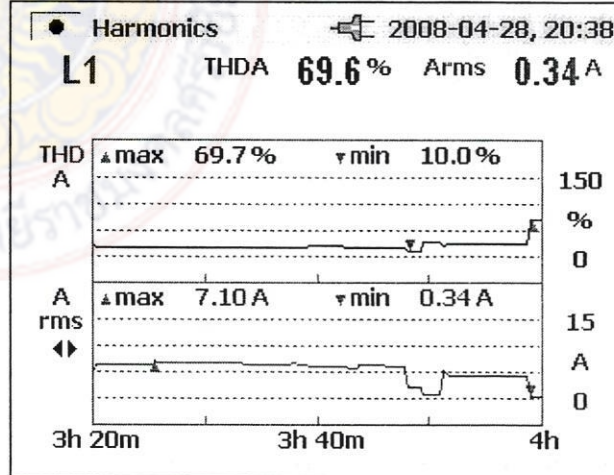
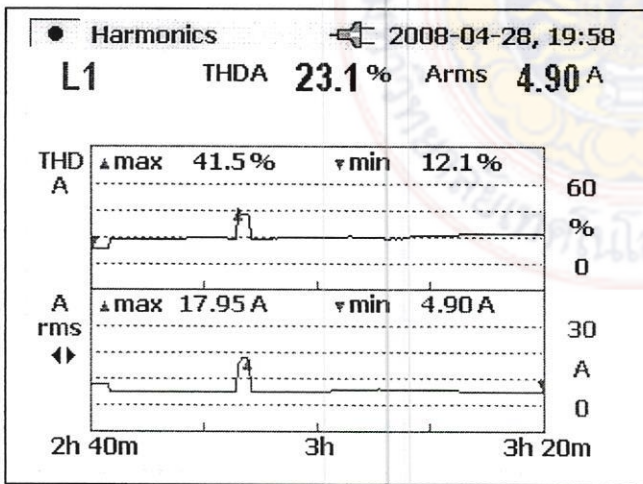
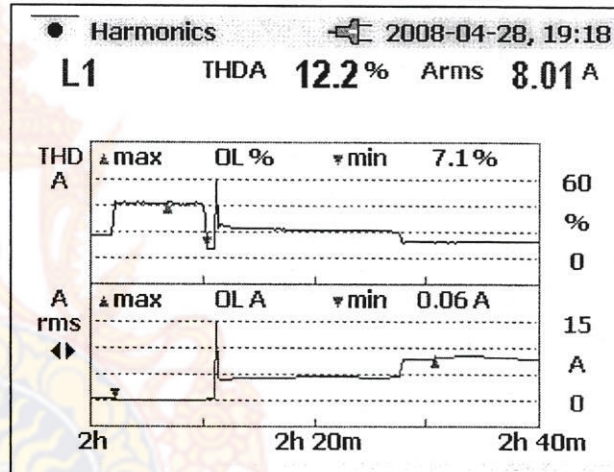
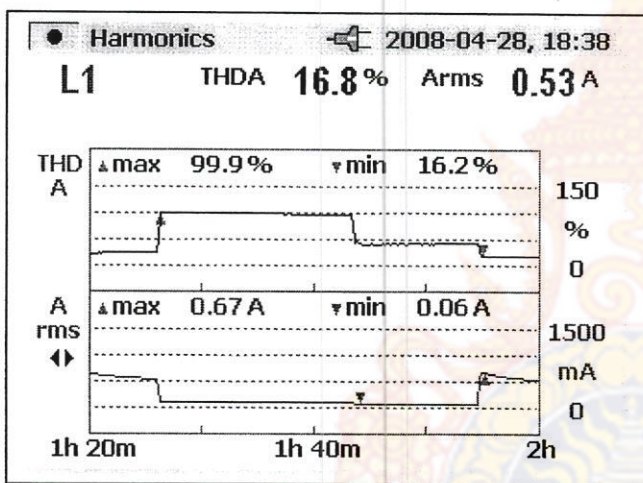
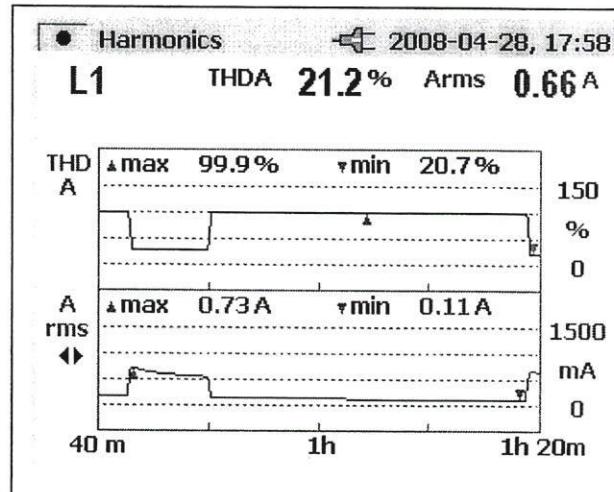
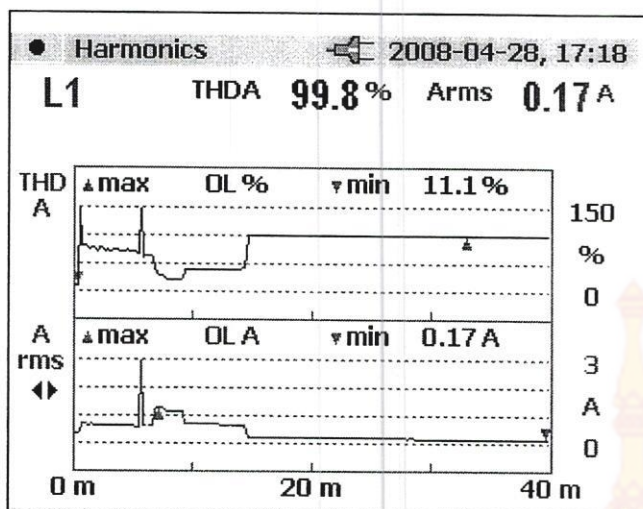
ปัญหา

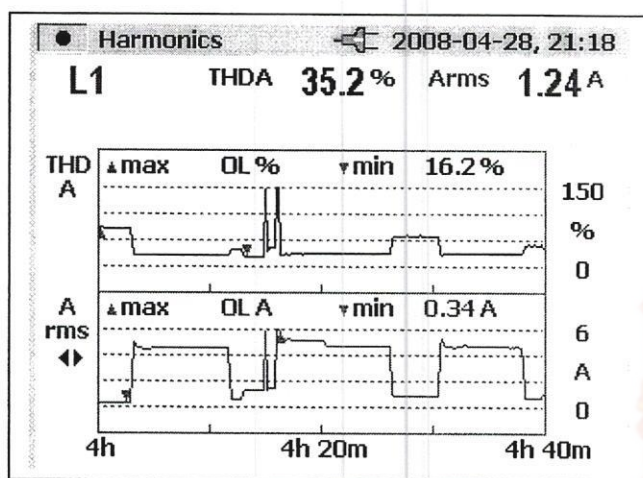
1. การยอมให้ทีมงานเข้าตรวจวัดก่อให้เกิดปัญหานำเงินเล็กน้อย
2. การเดินทางไม่สามารถเบิกค่าใช้จ่ายพาหนะได้
3. ติดตั้งช่วงค่าอาจจำบากเนื่องจากการวัดแรงดันต้องต่อสายวัดเข้าระบบไฟ
4. อุปกรณ์และเครื่องมือวัดมีจำกัดและไม่มีอุปกรณ์วัดเทียบ

ภาคผนวก ก

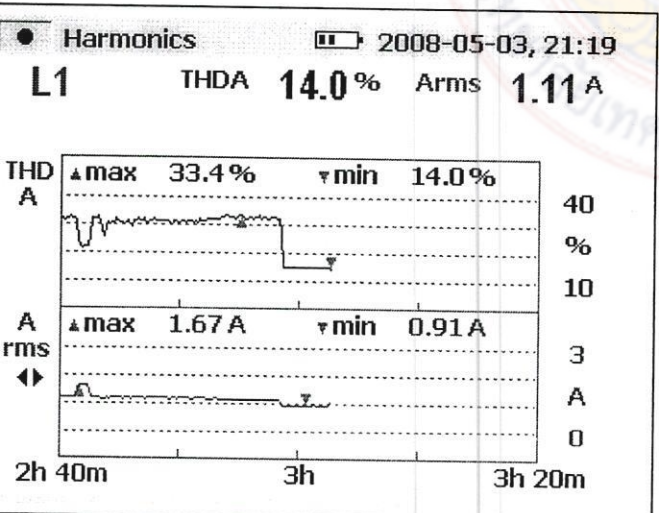
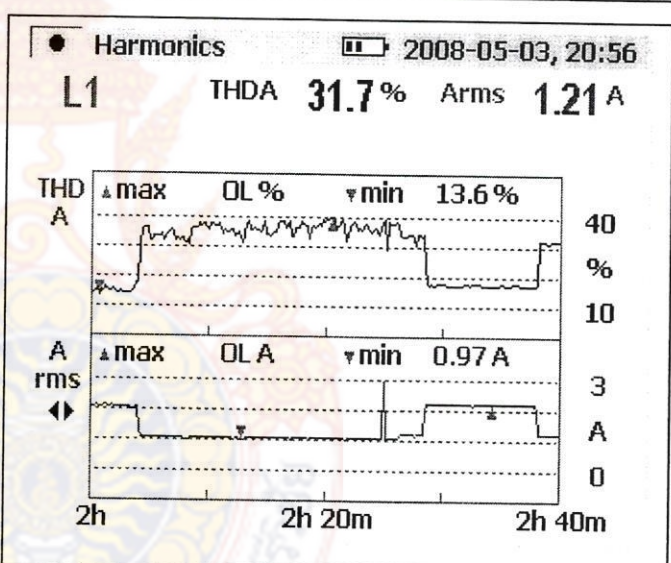
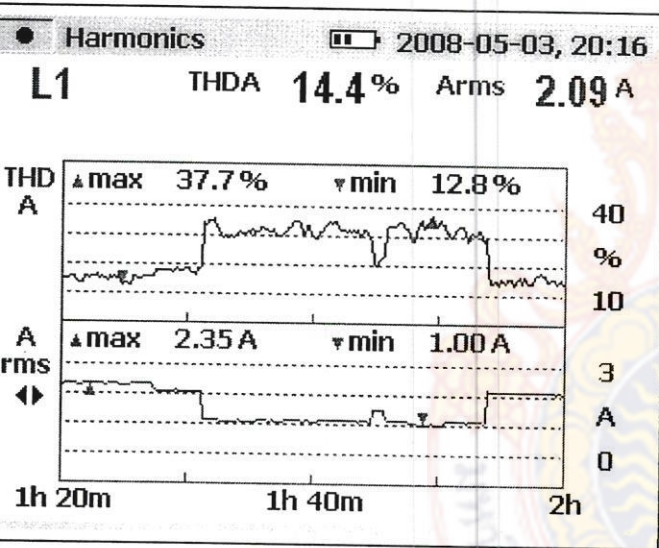
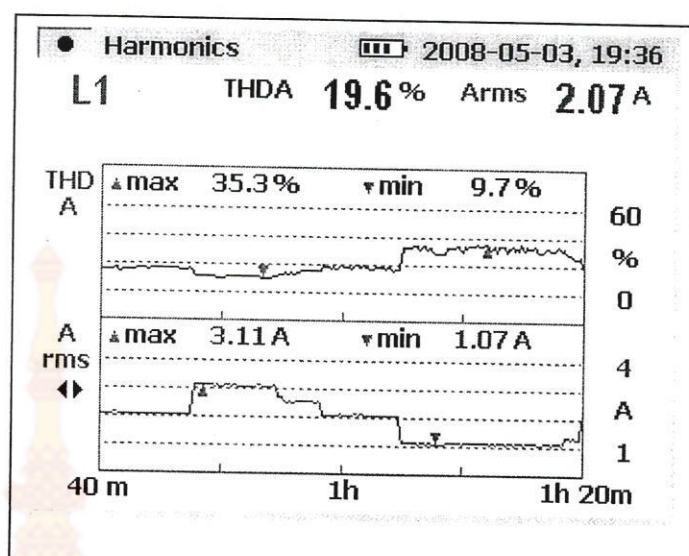
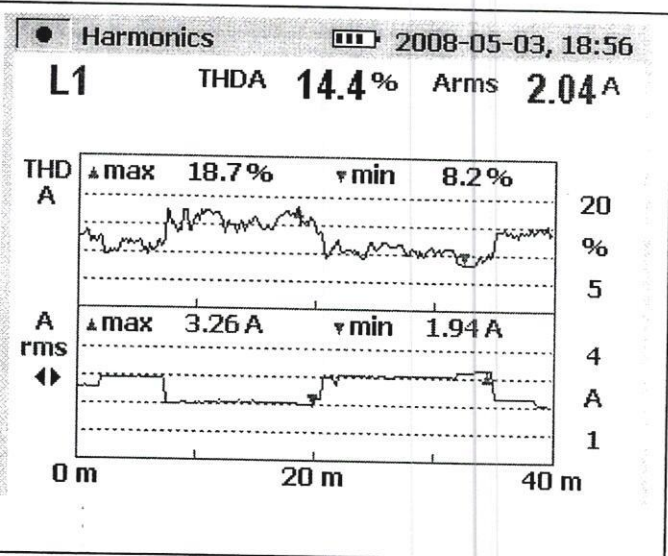


ครั้งที่ 2

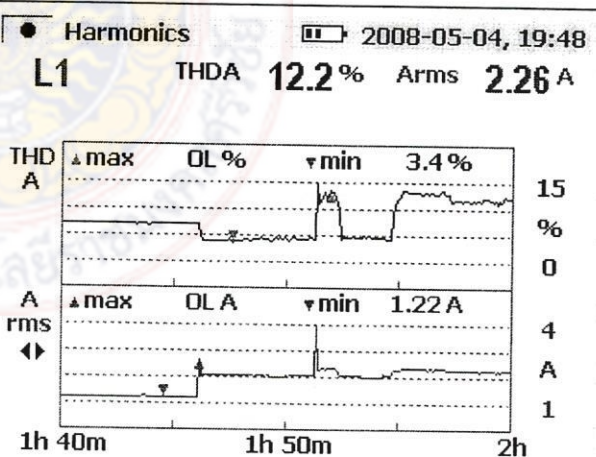
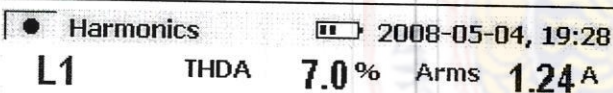
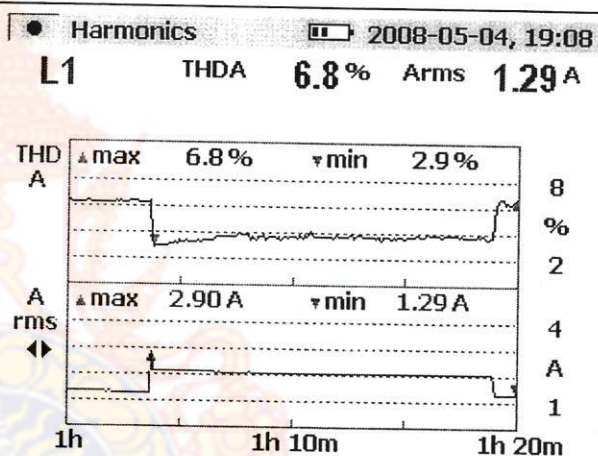
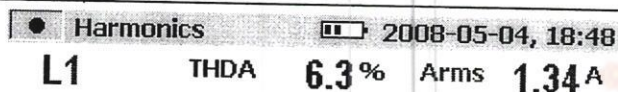
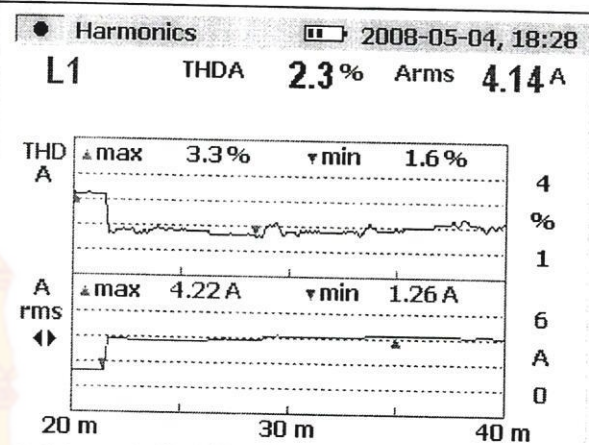
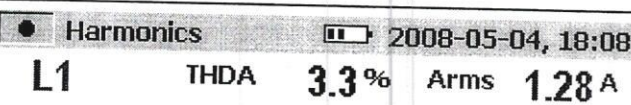


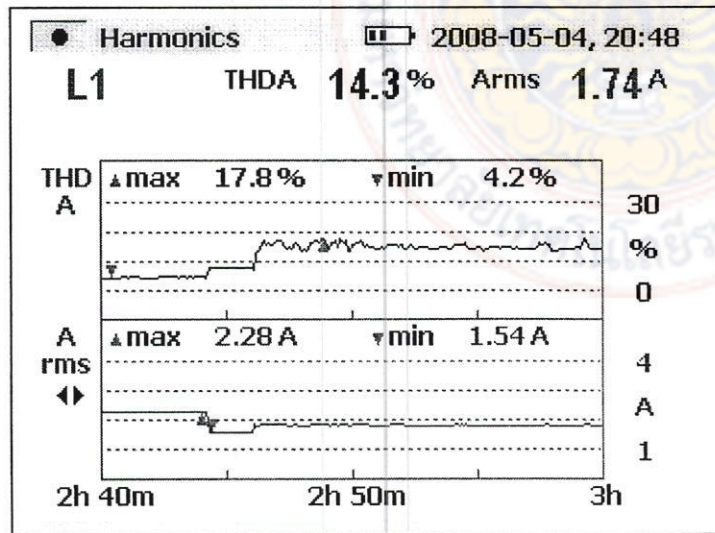
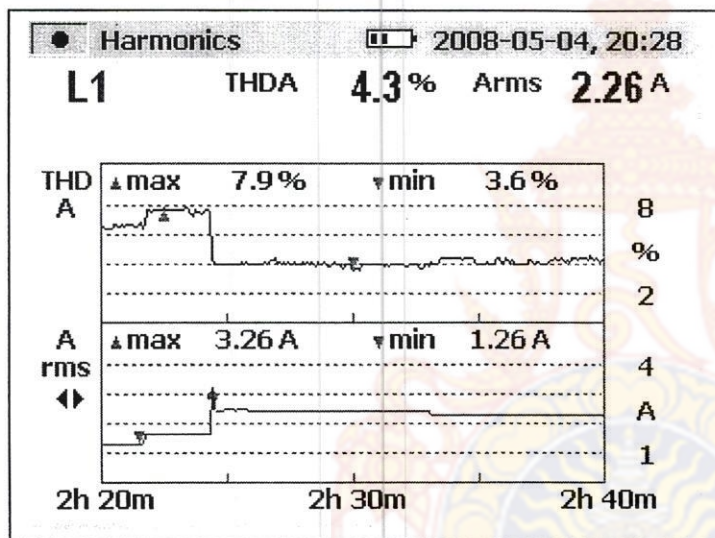
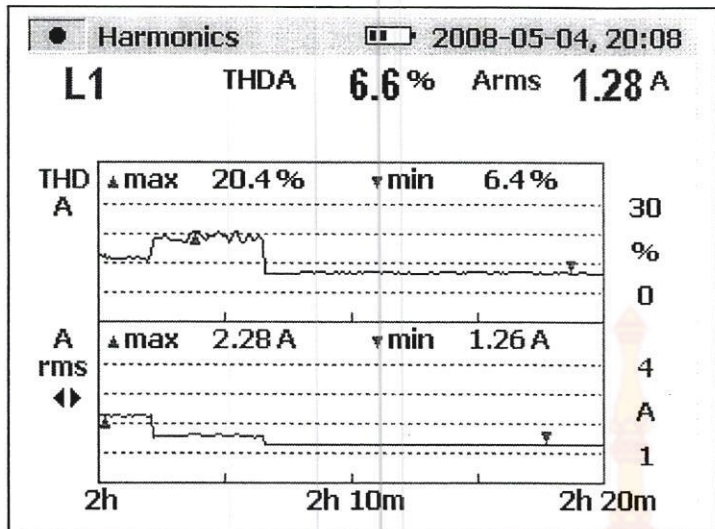


ครั้งที่ 3

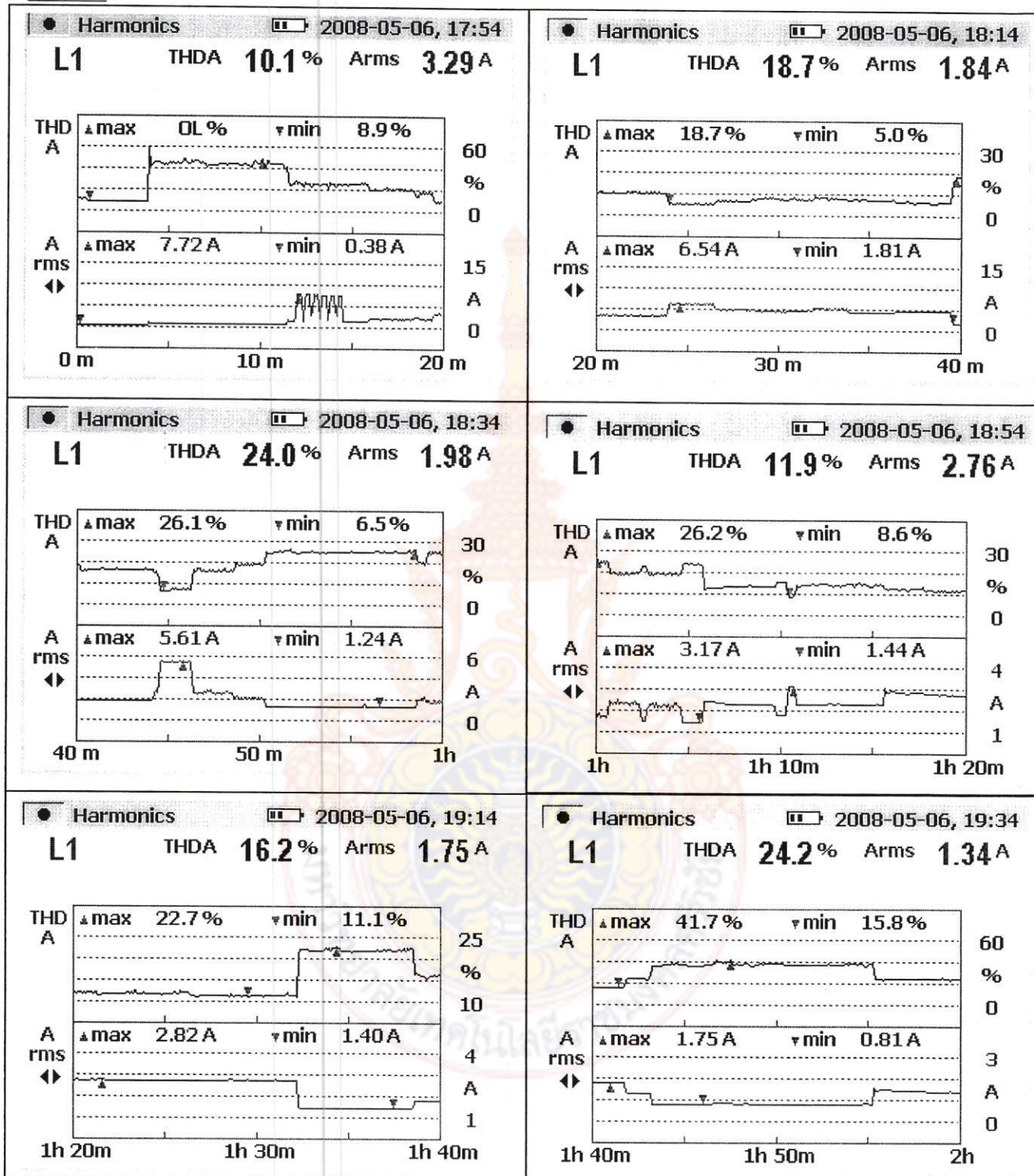


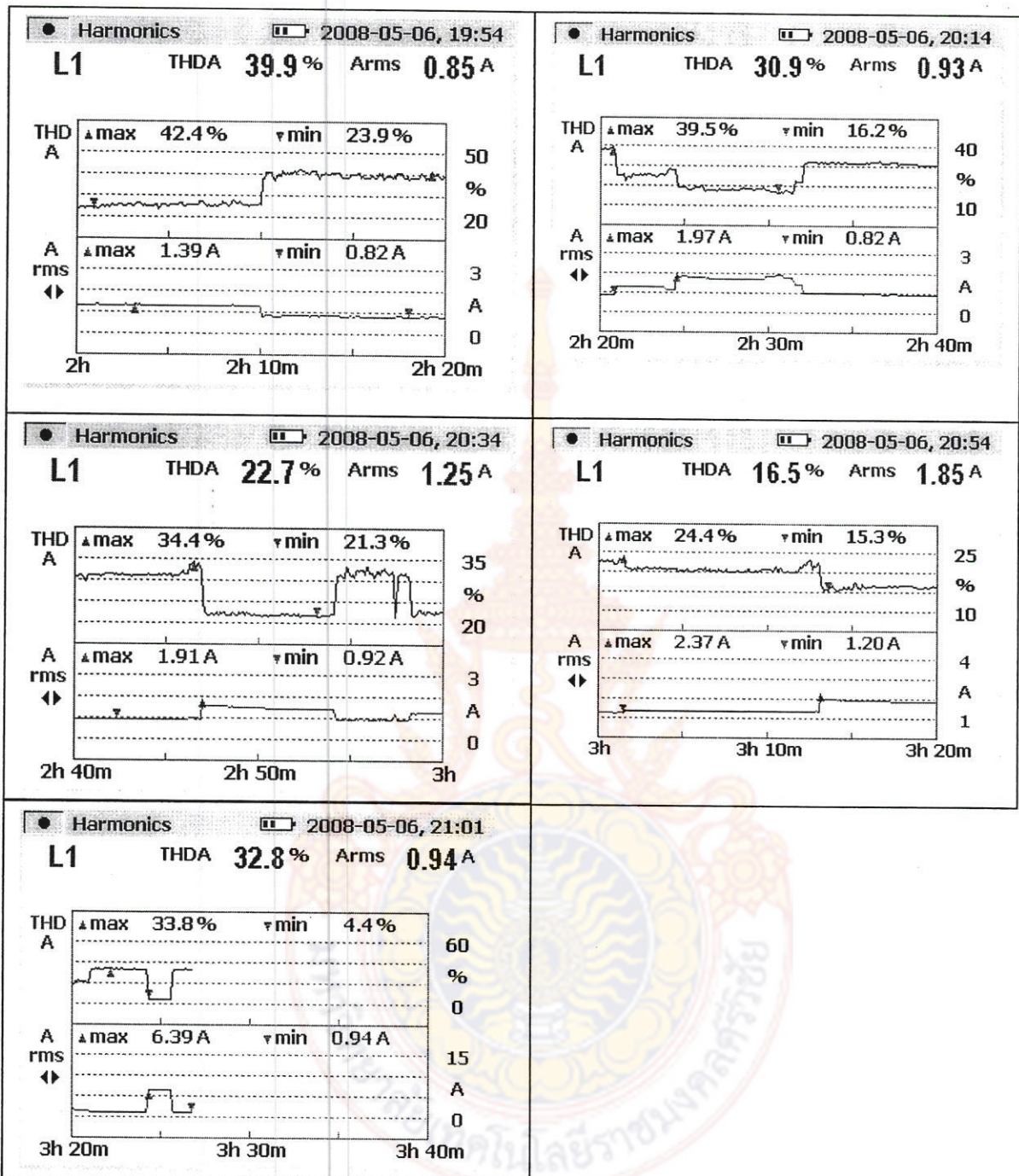
ครั้งที่ 4



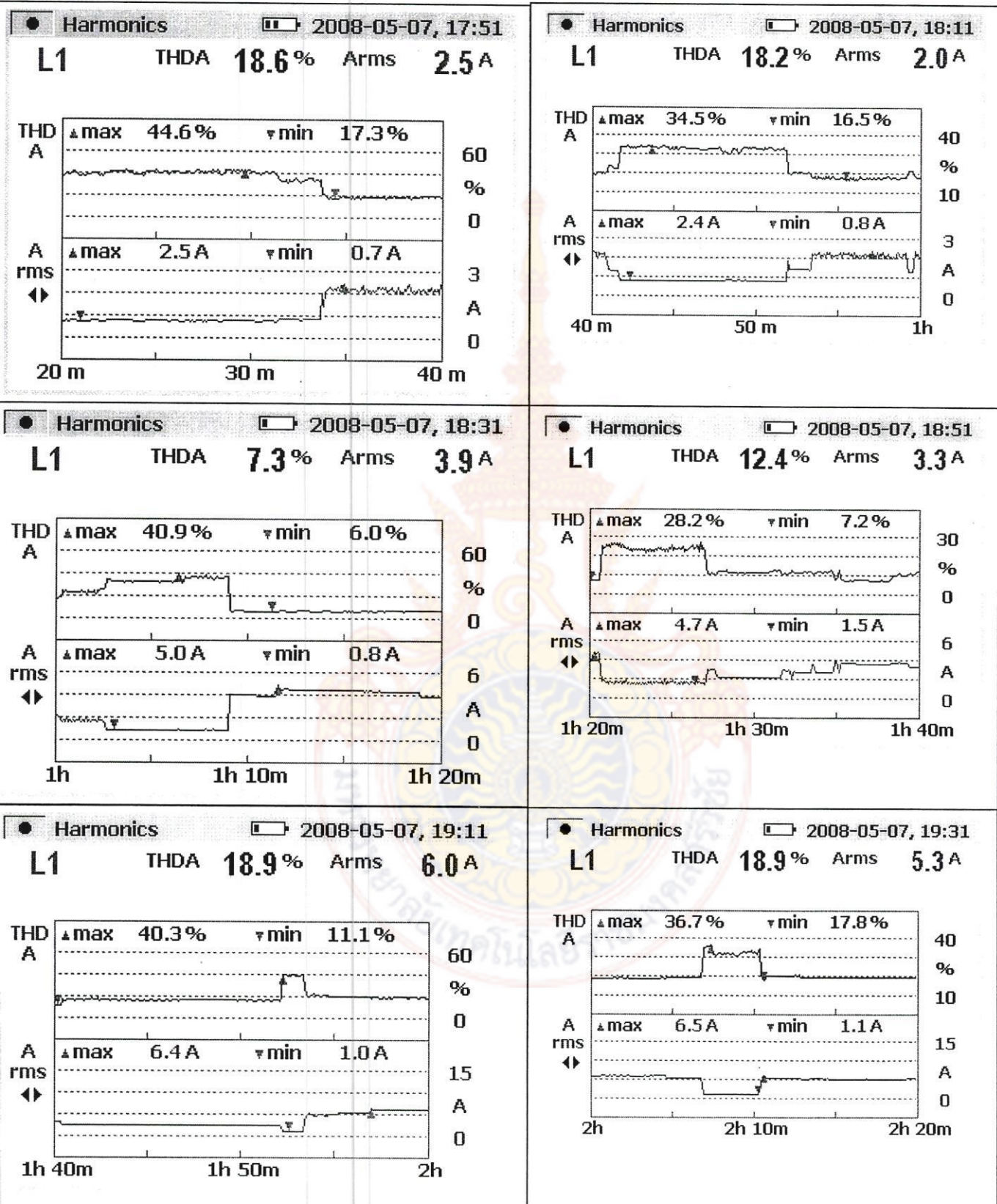


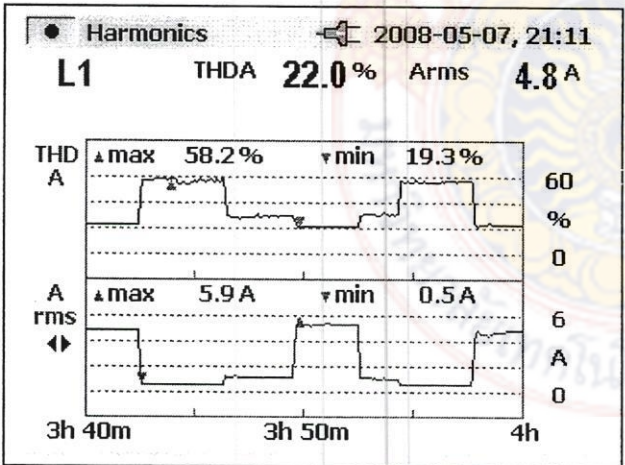
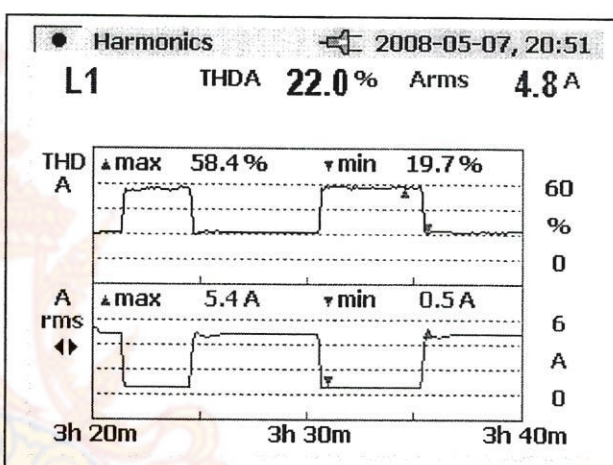
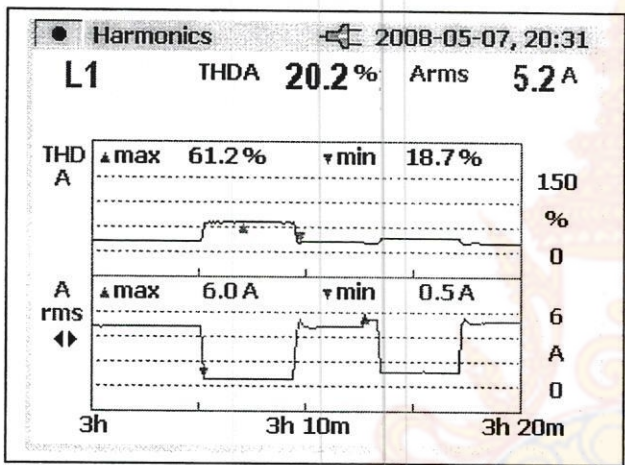
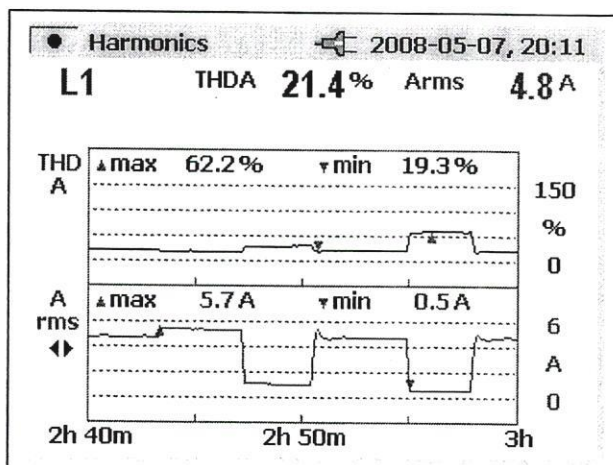
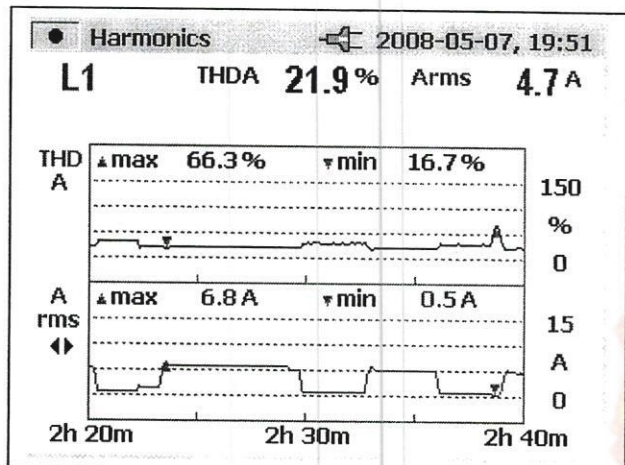
ครั้งที่ 5



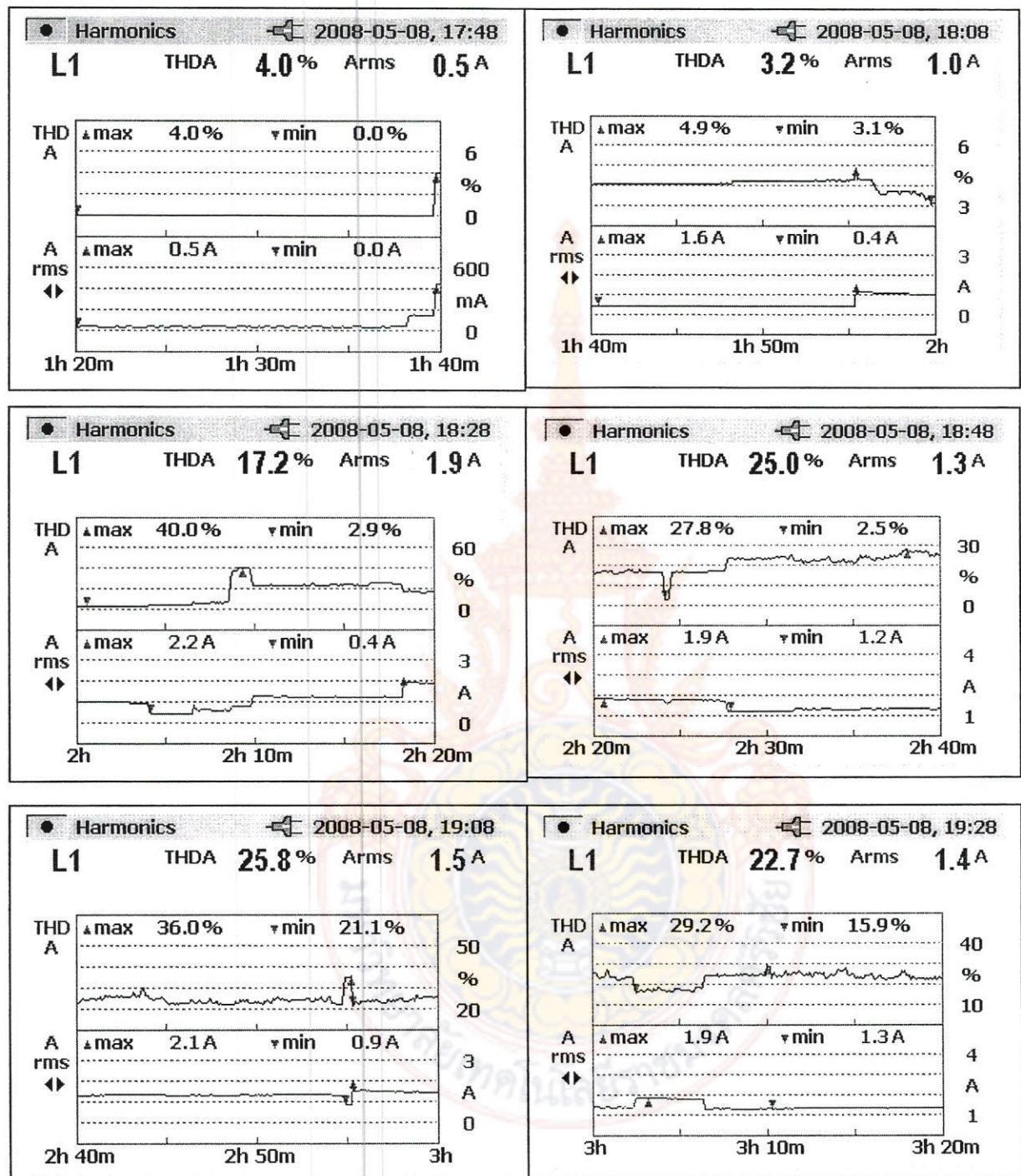


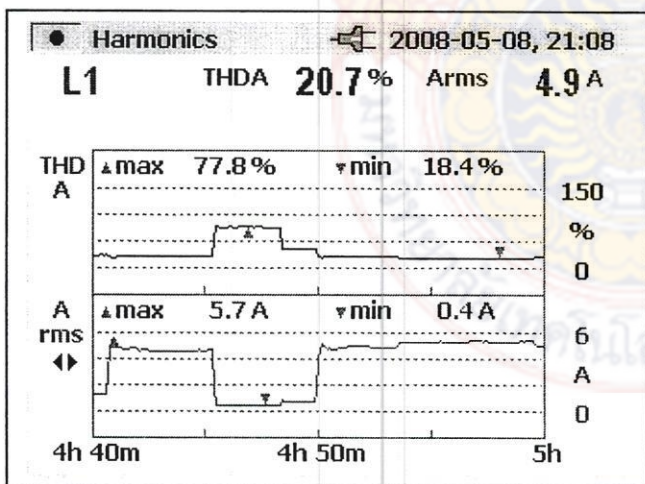
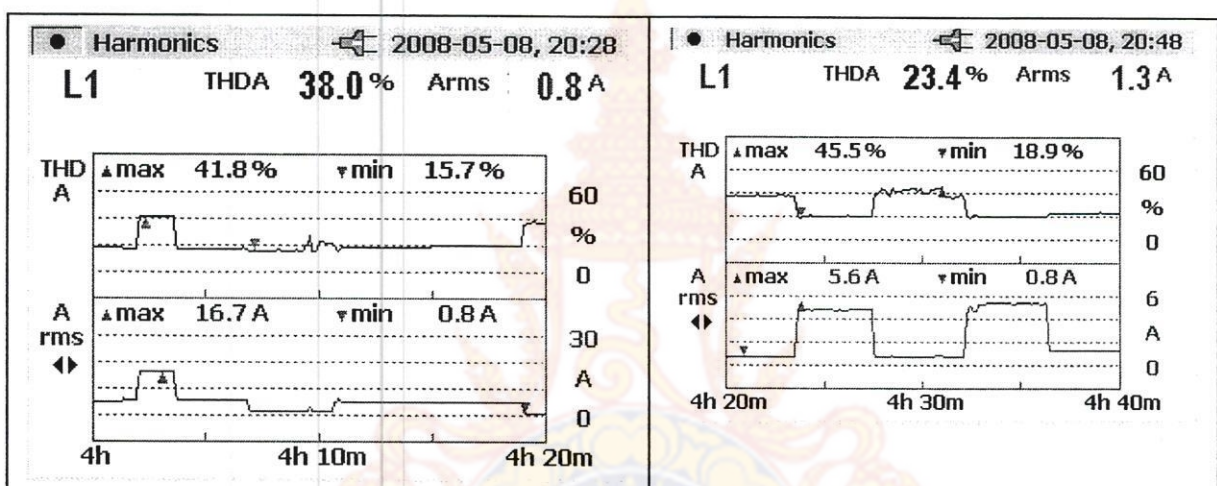
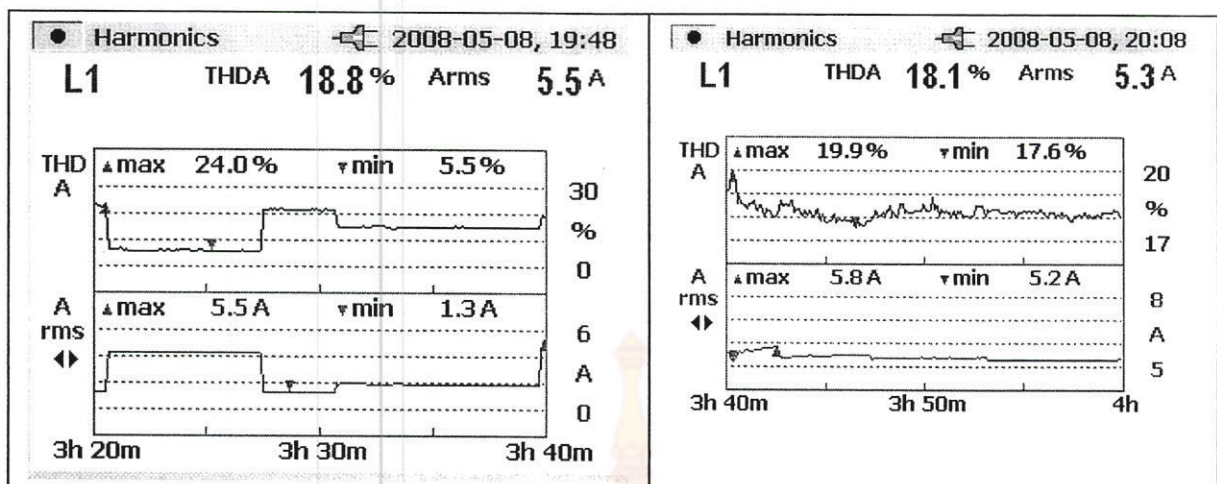
ครั้งที่ 6



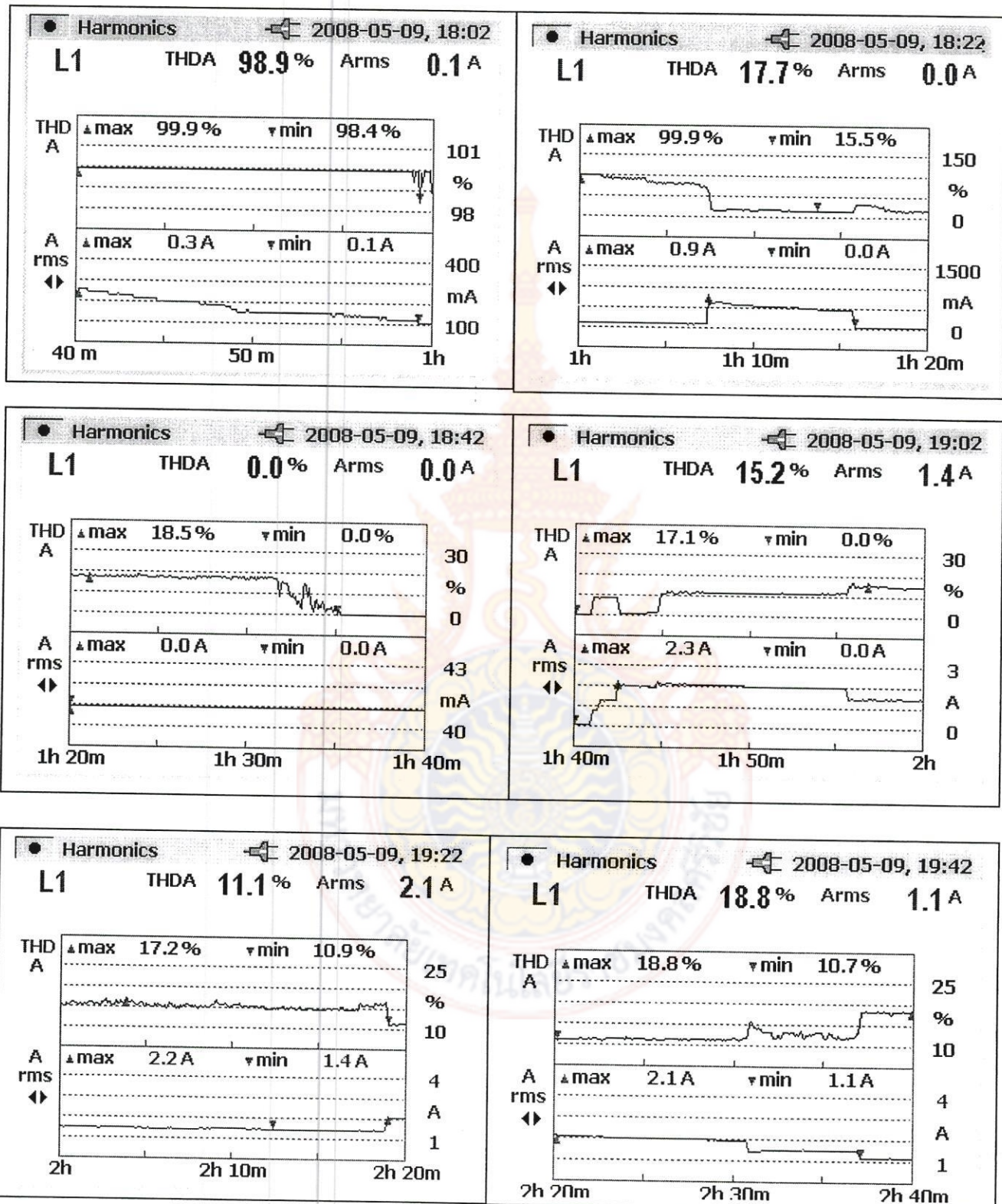


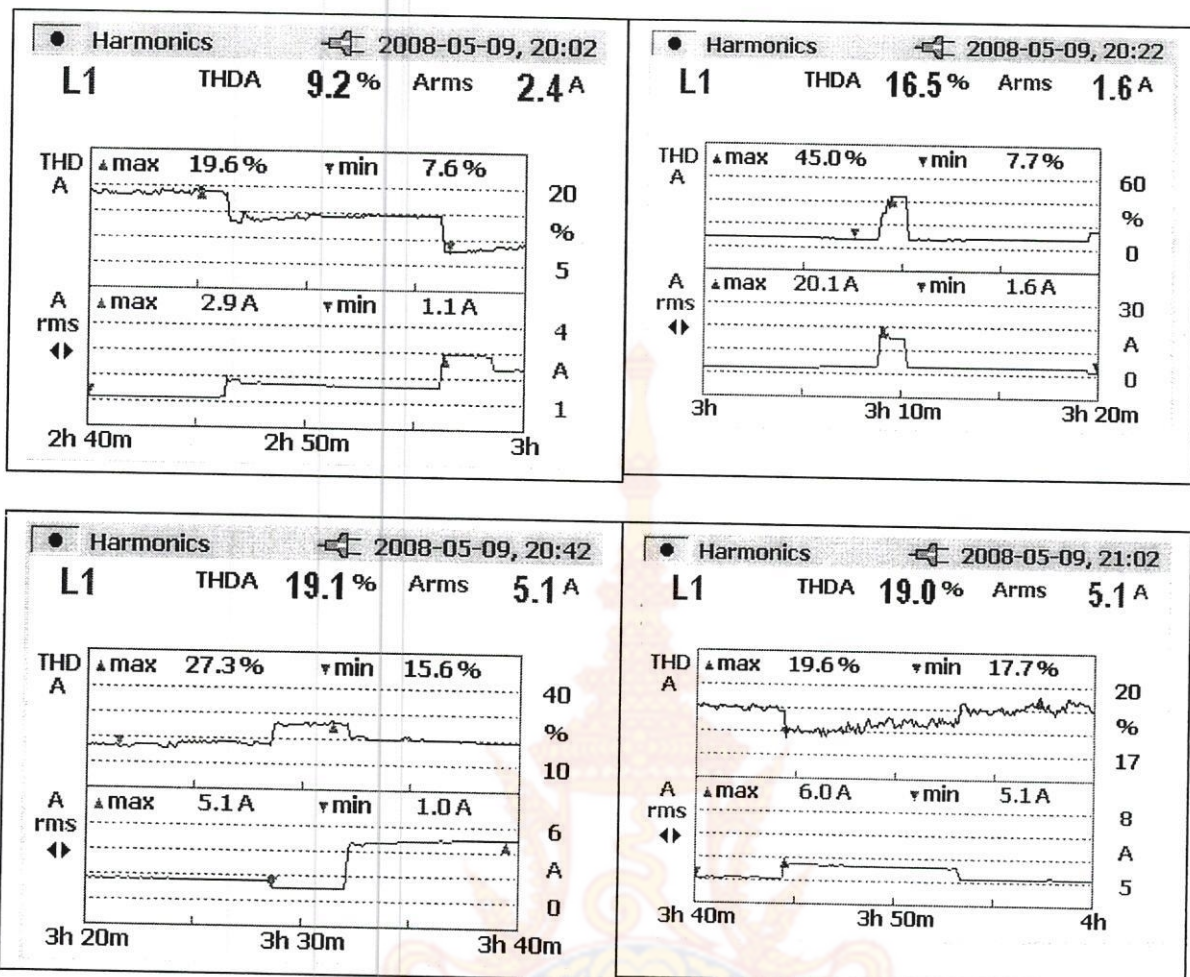
ครั้งที่ 7



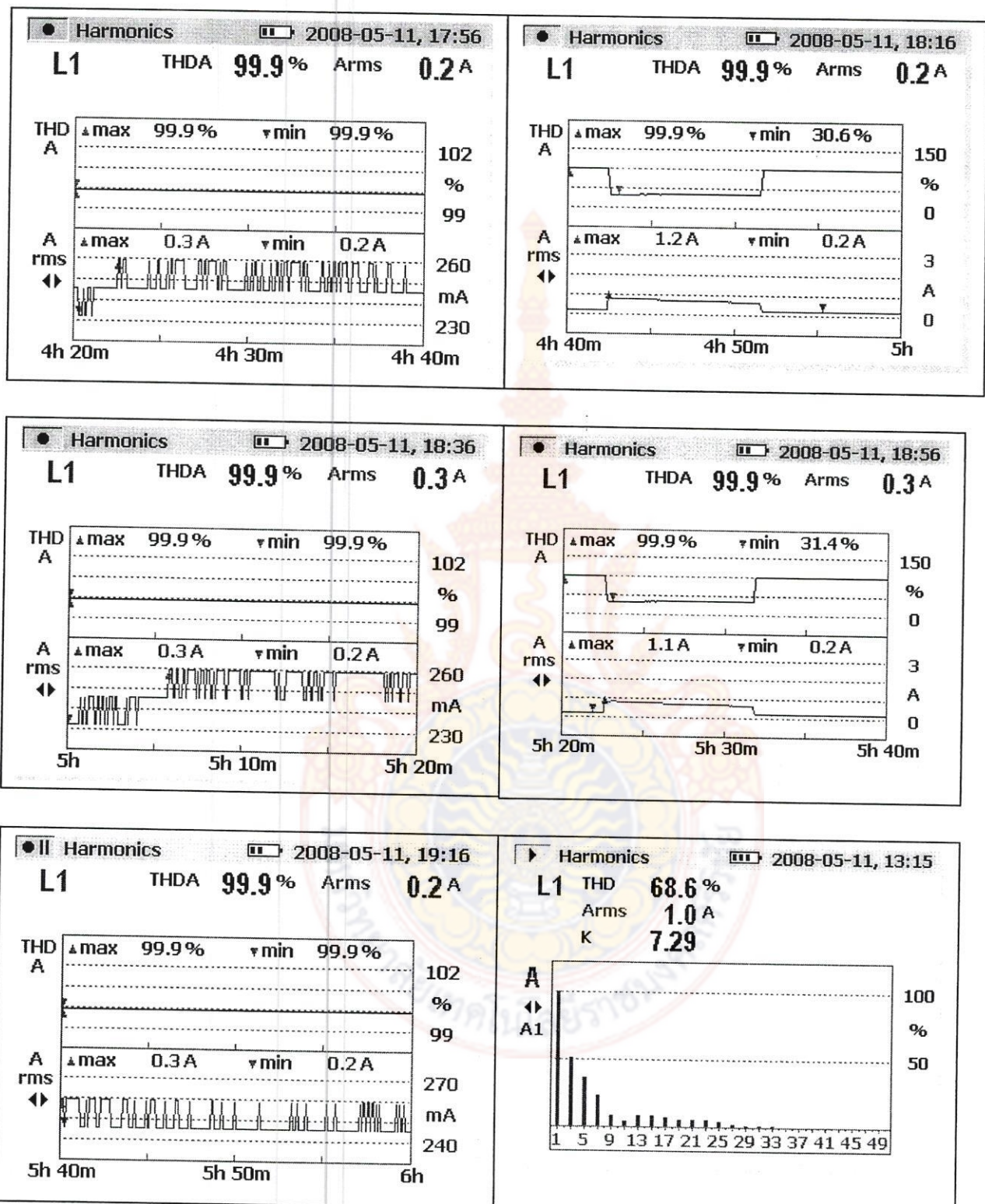


ครั้งที่ 8



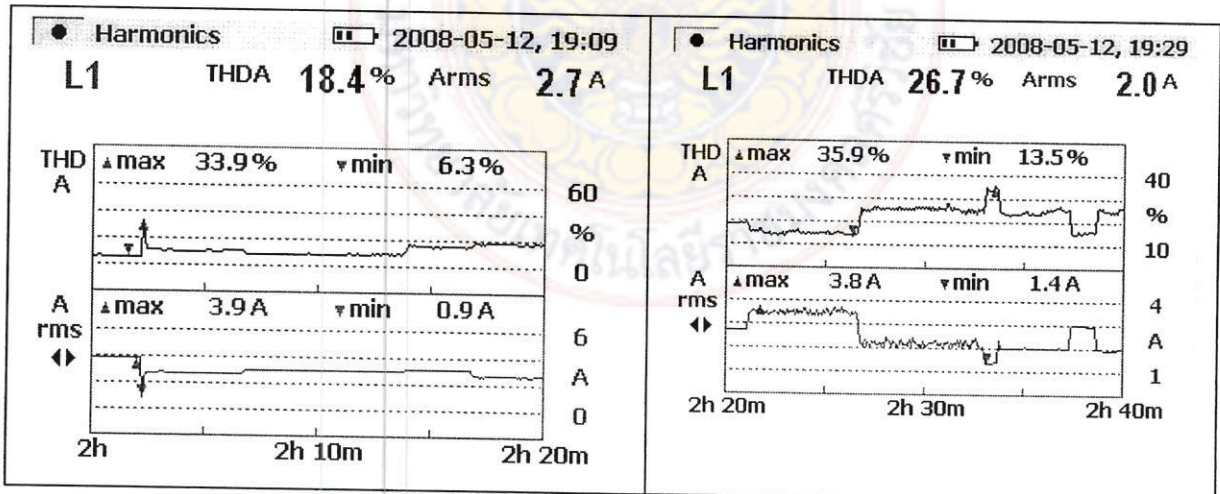
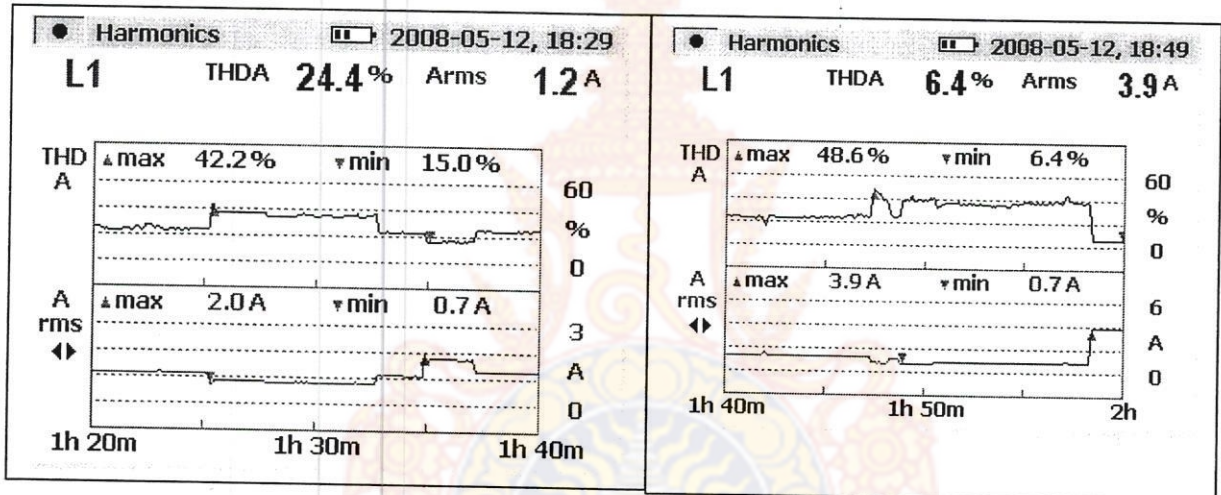
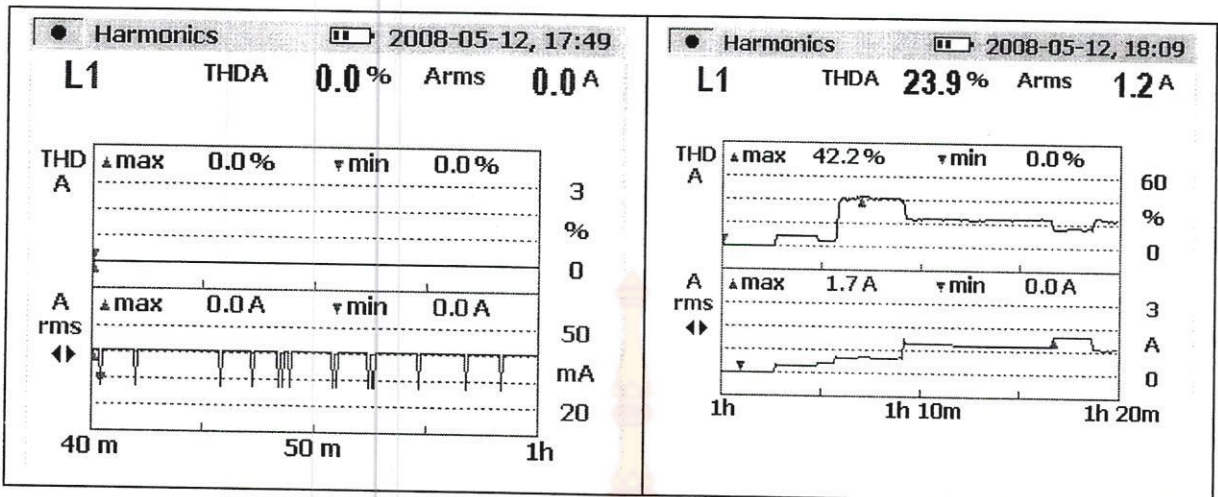


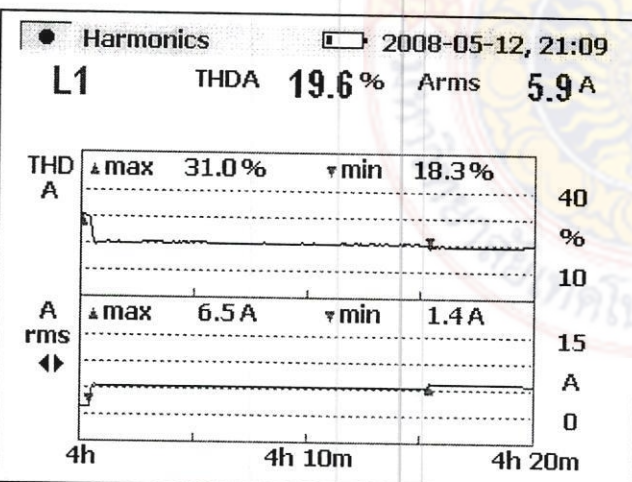
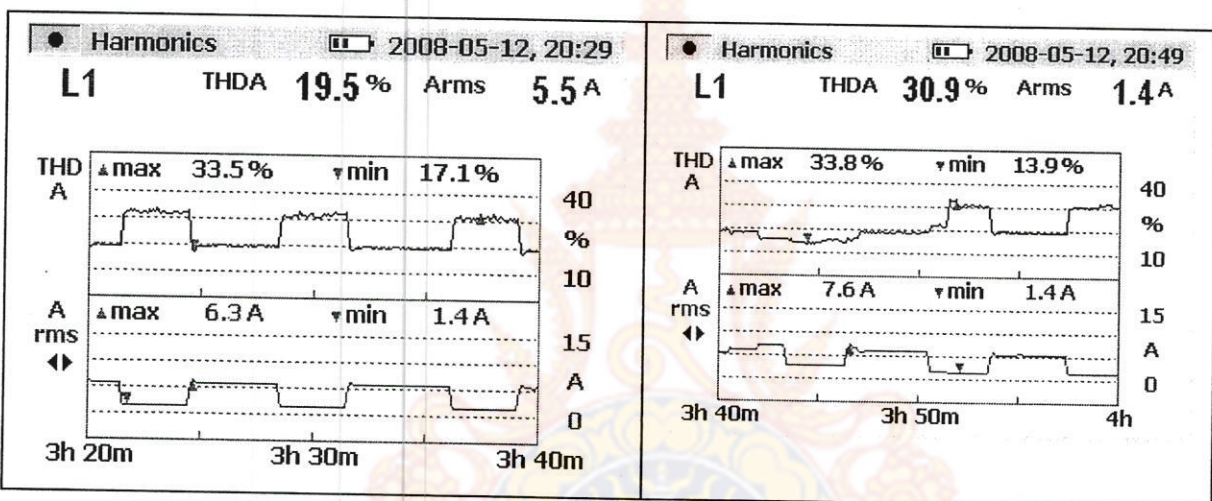
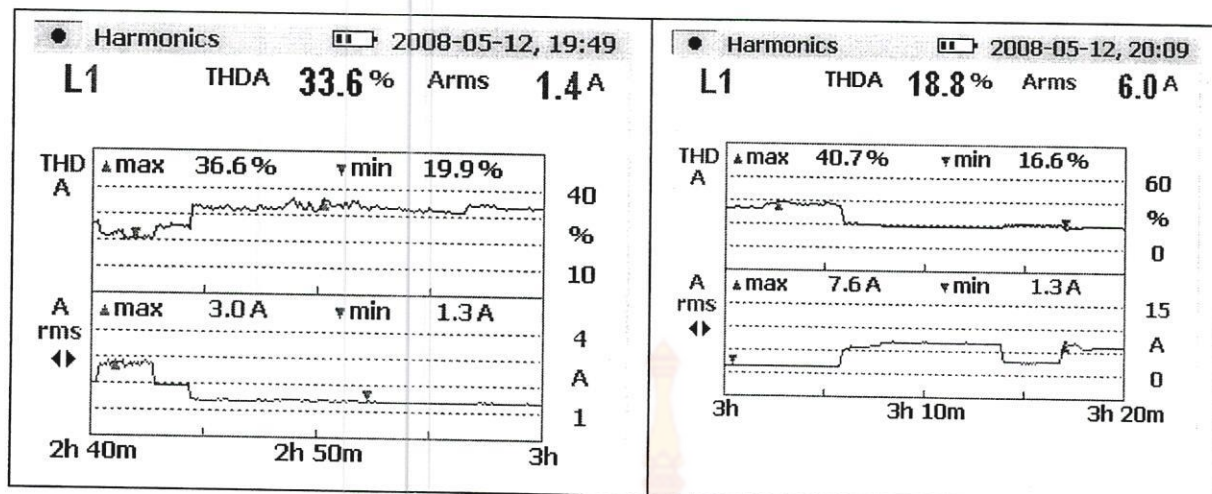
ครั้งที่ 9



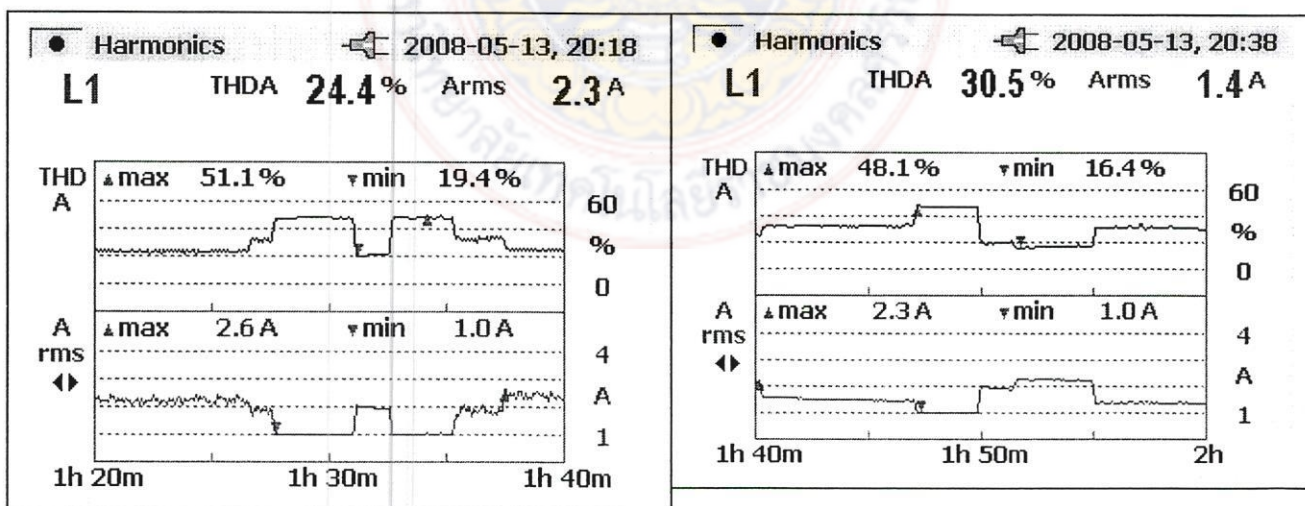
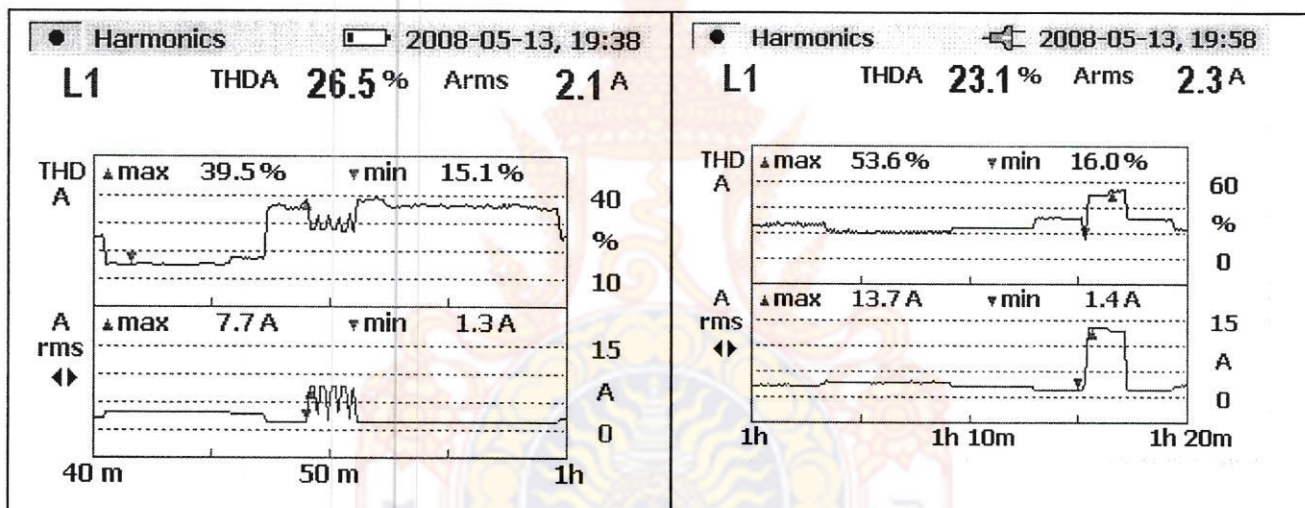
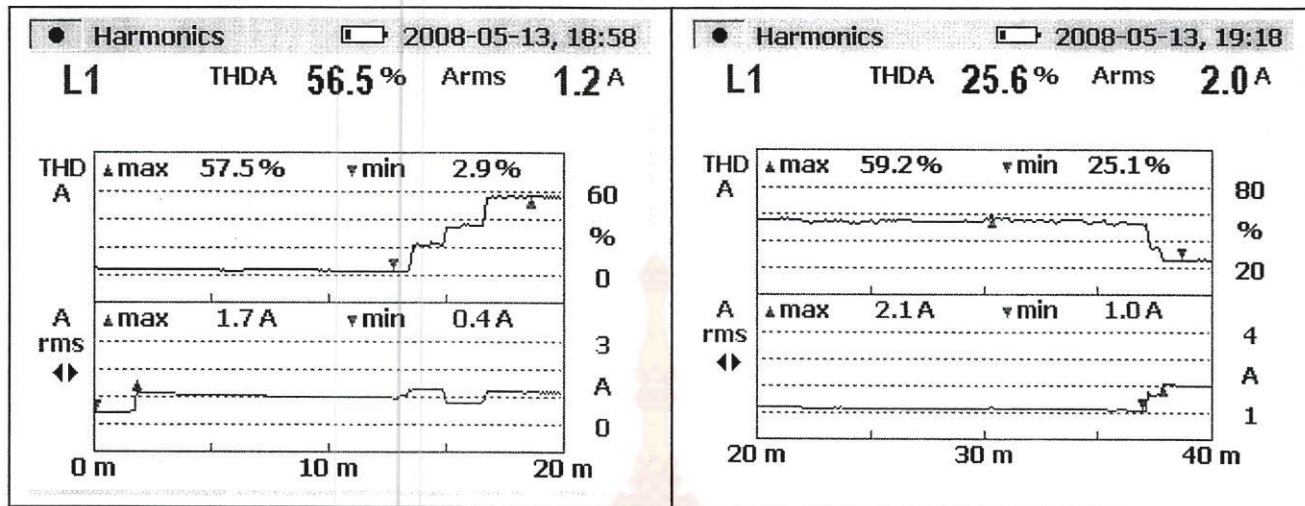


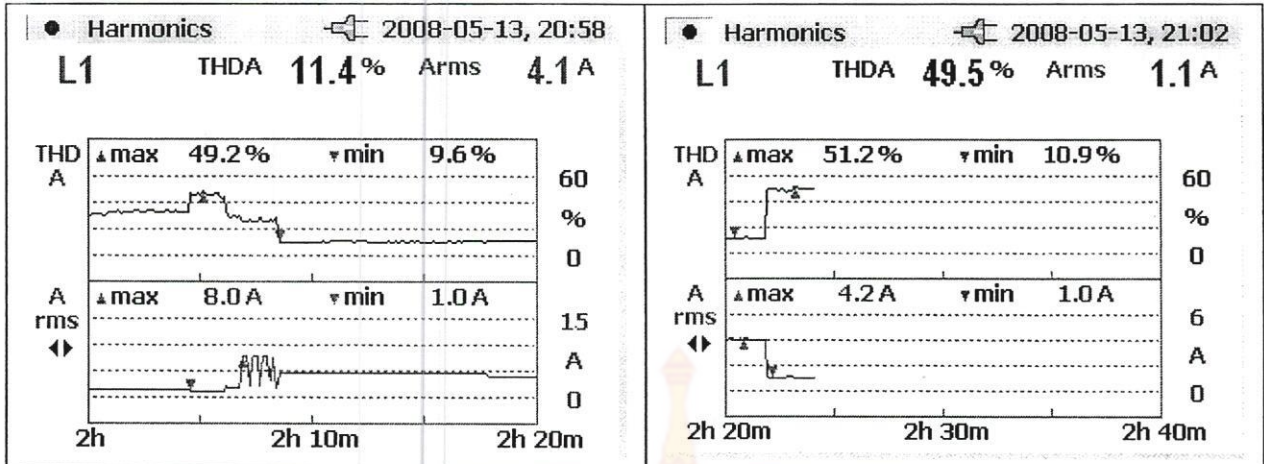
ครั้งที่ 10



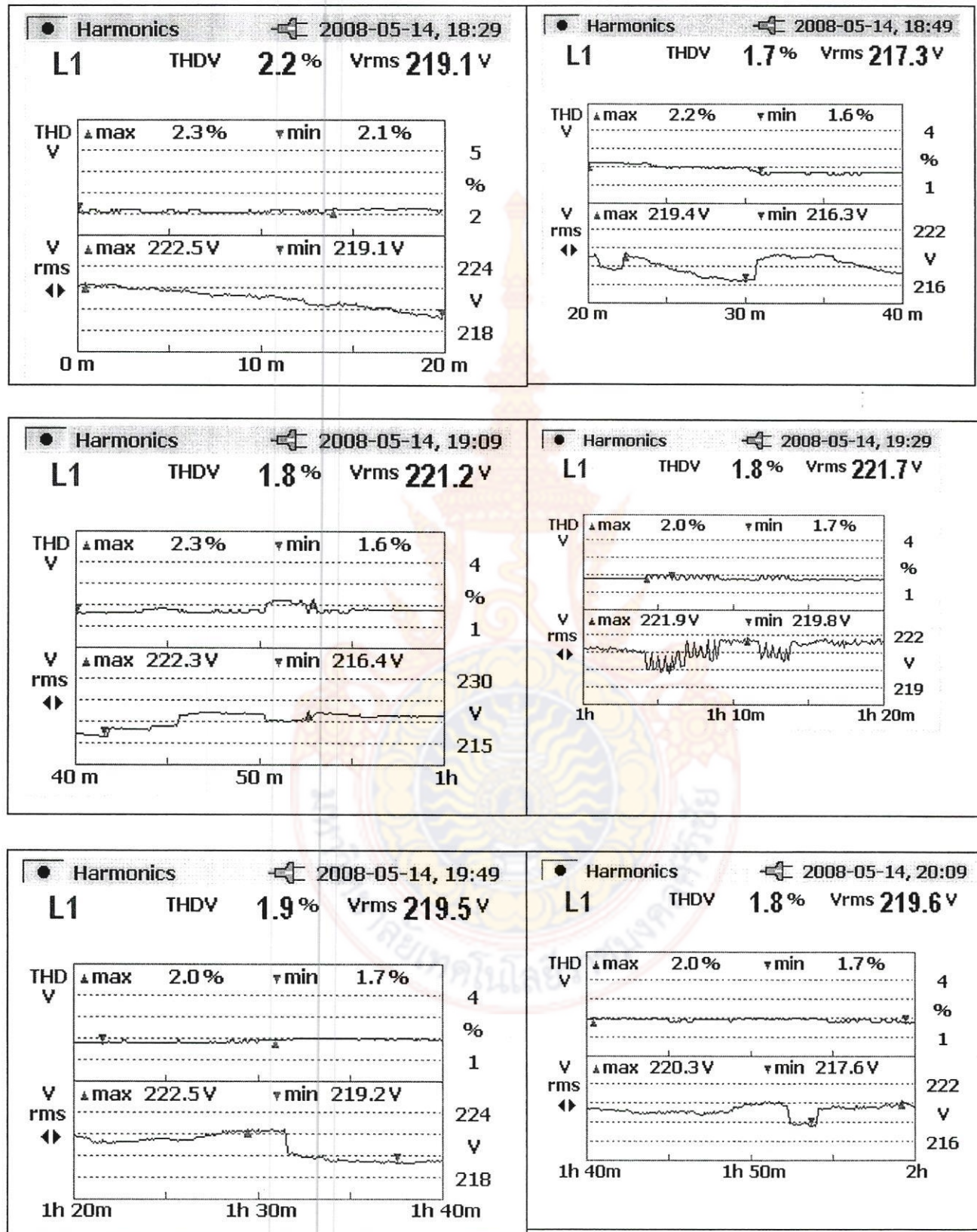


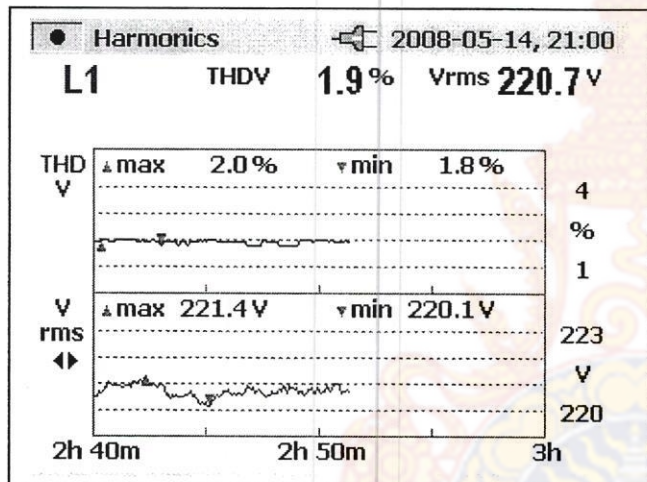
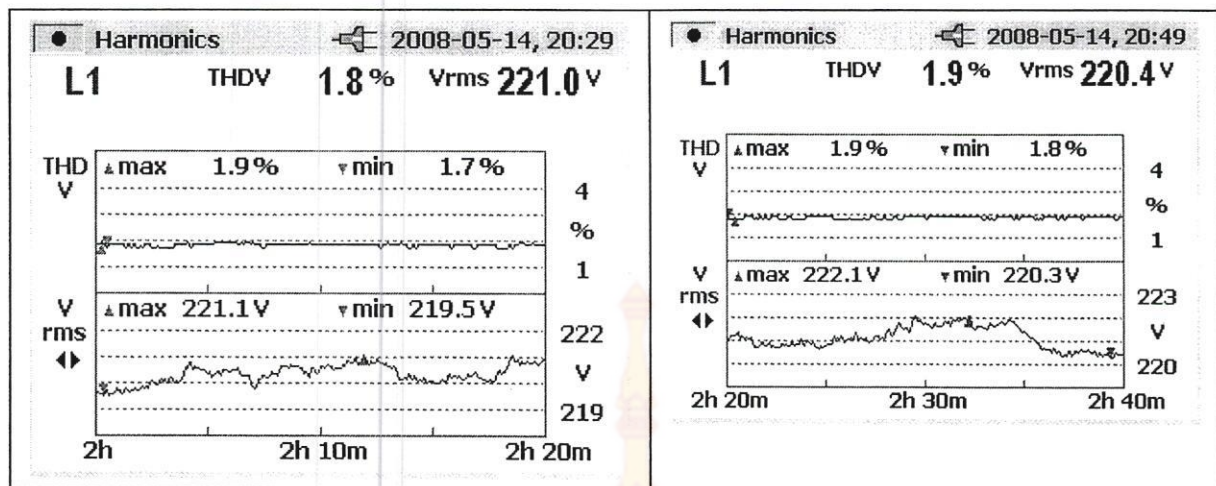
ครั้งที่ 11



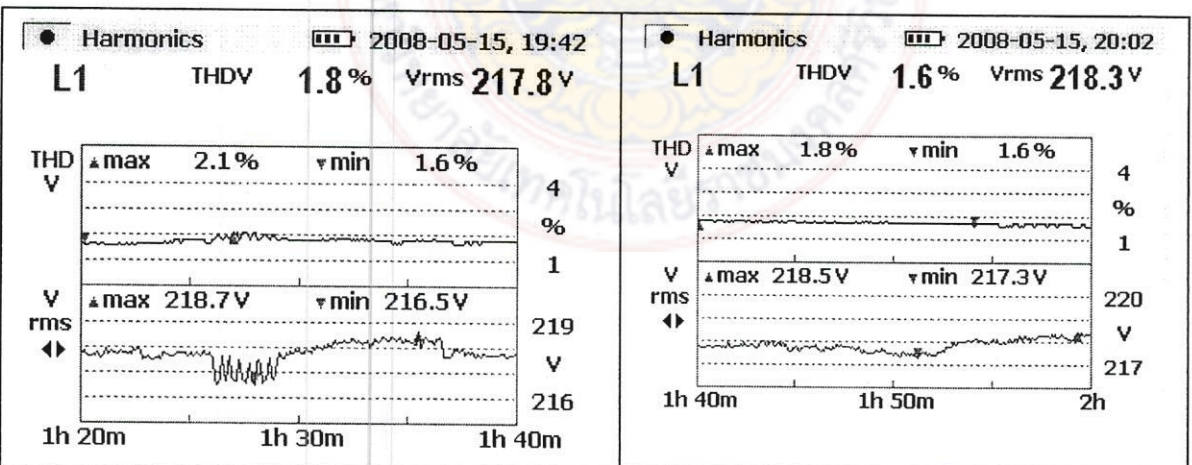
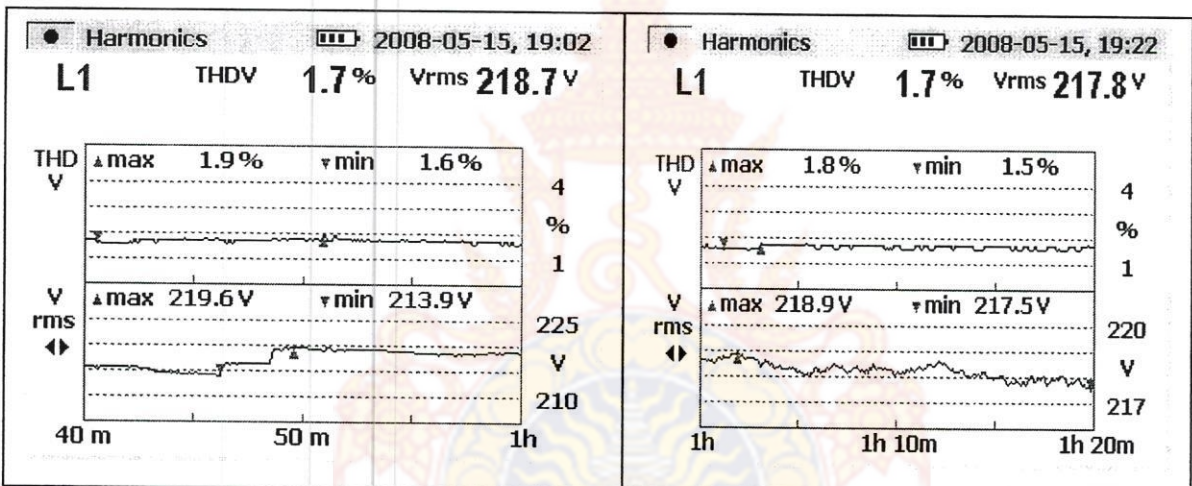
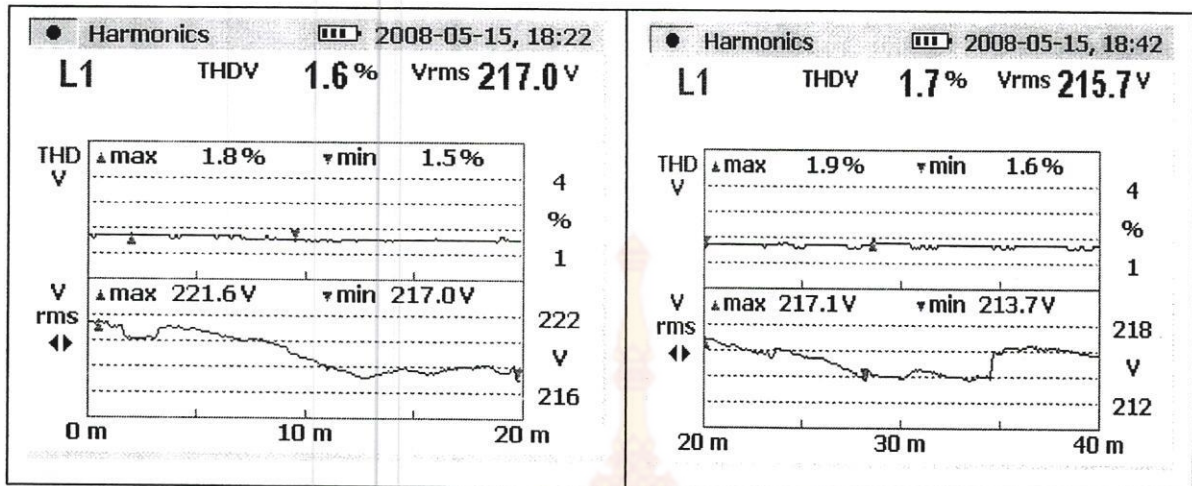


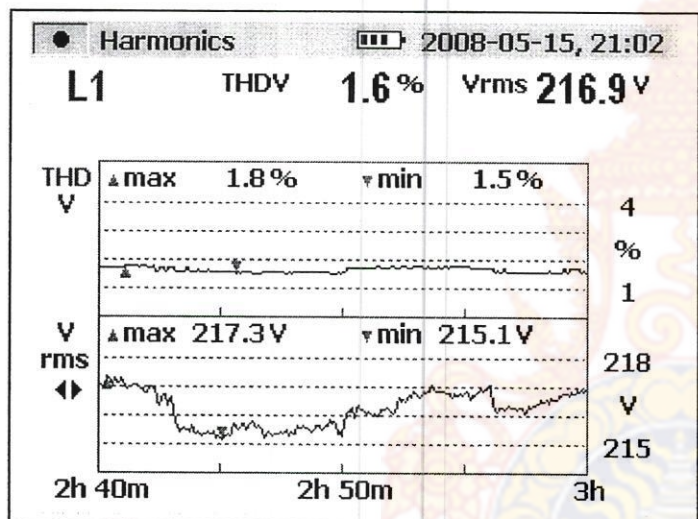
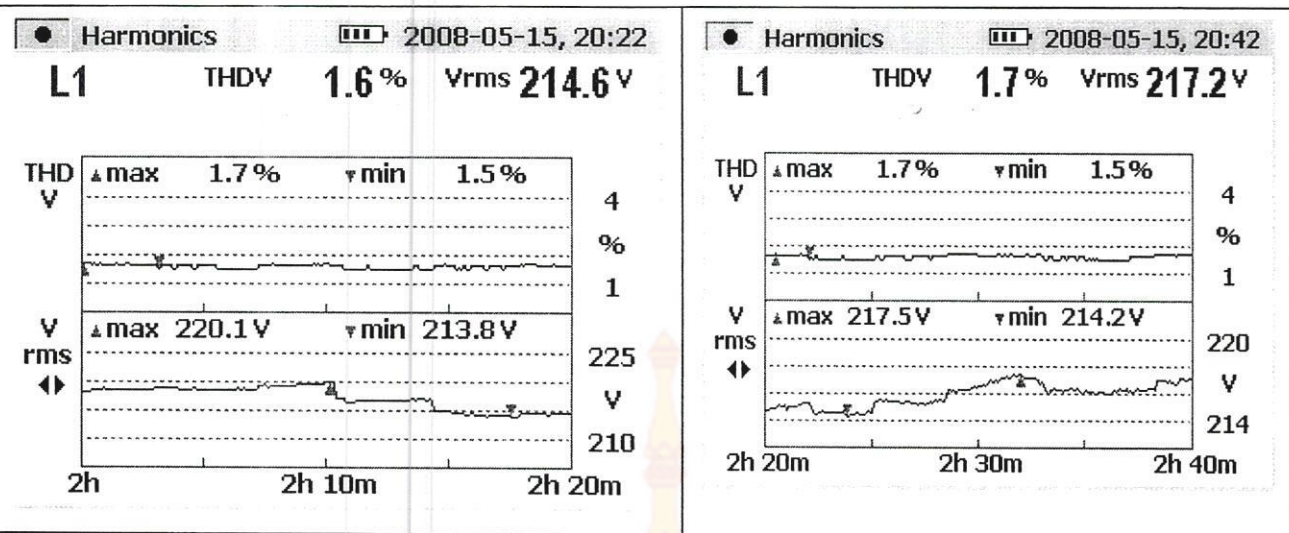
ครั้งที่ 12



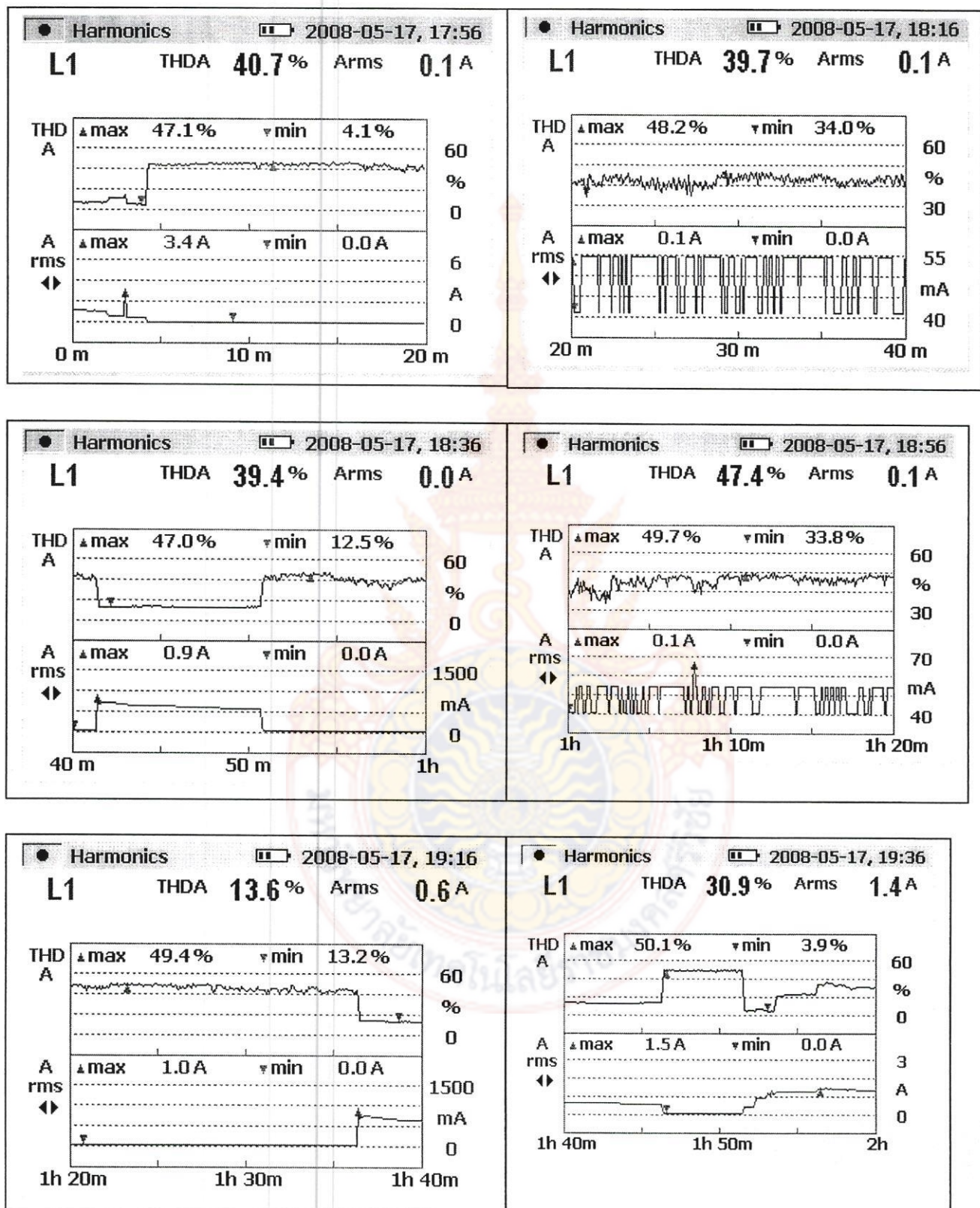


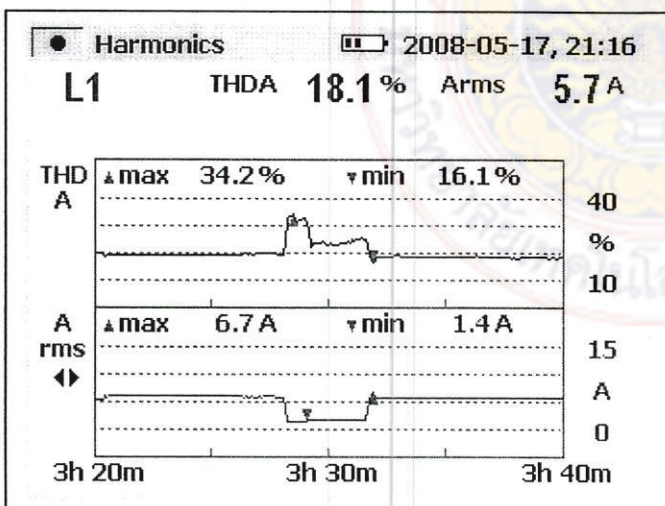
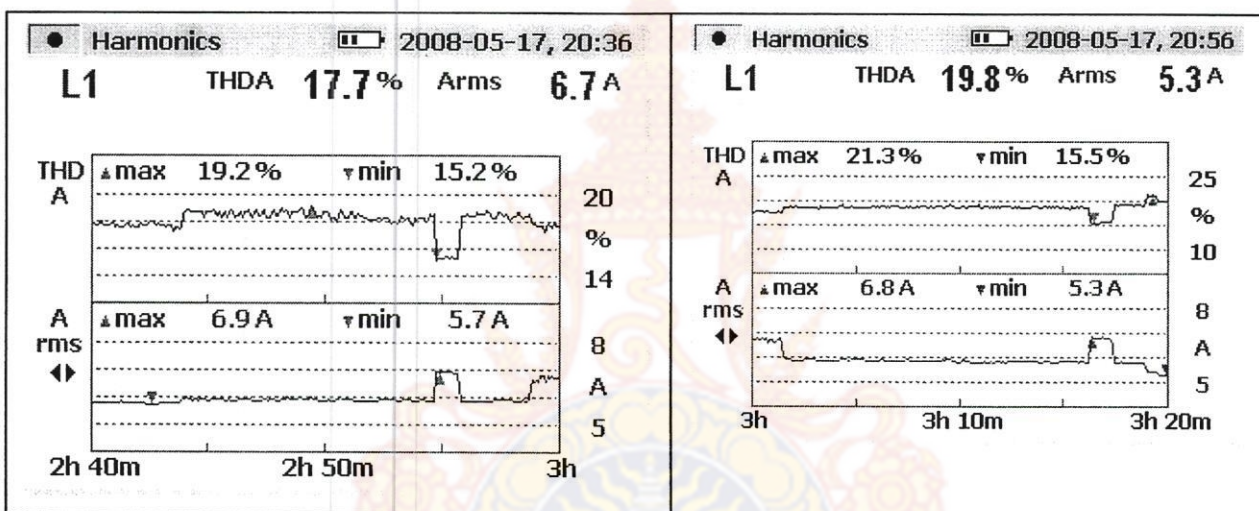
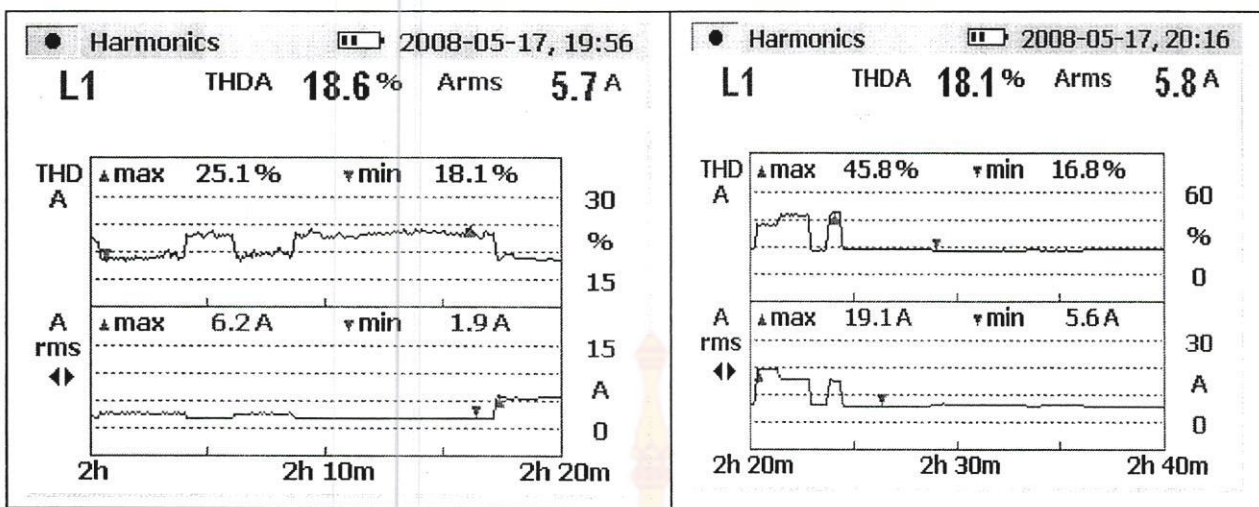
ครั้งที่ 13



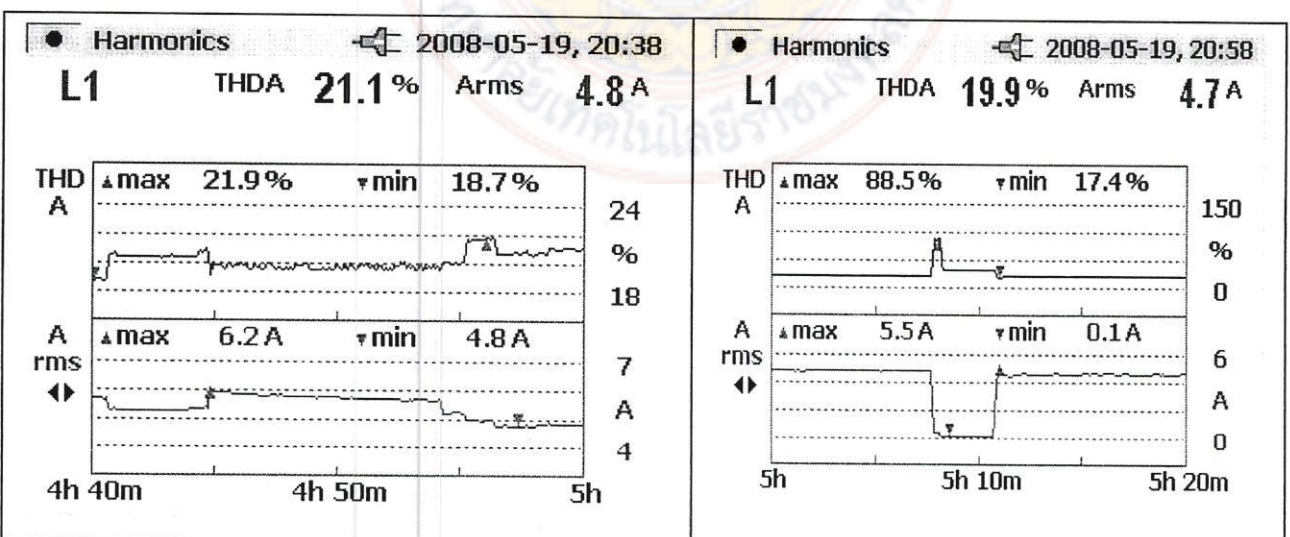
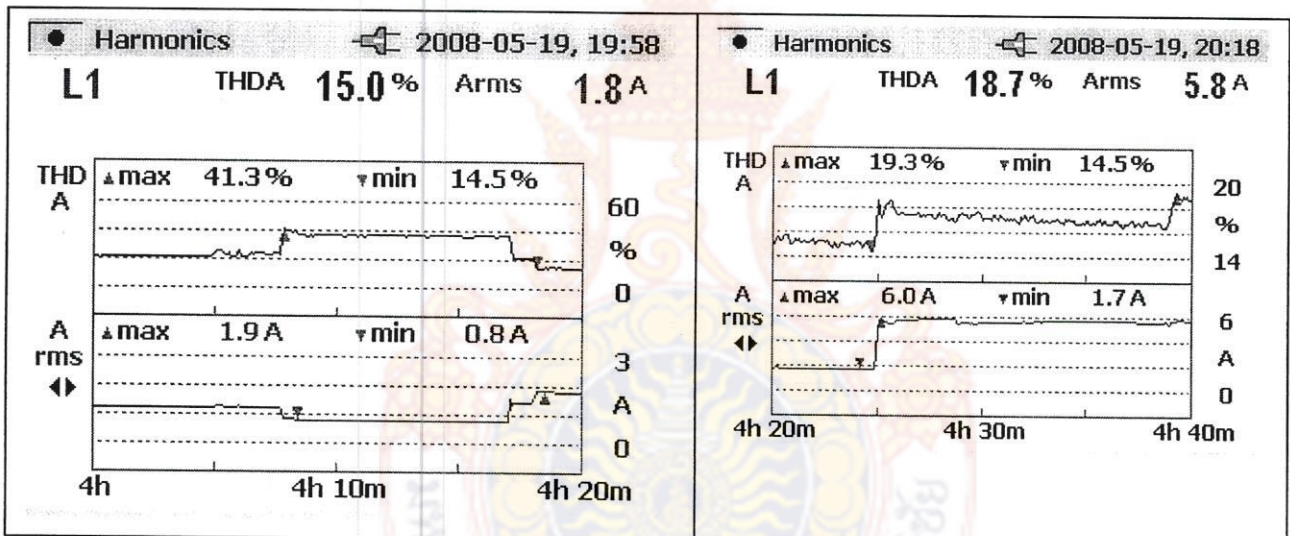
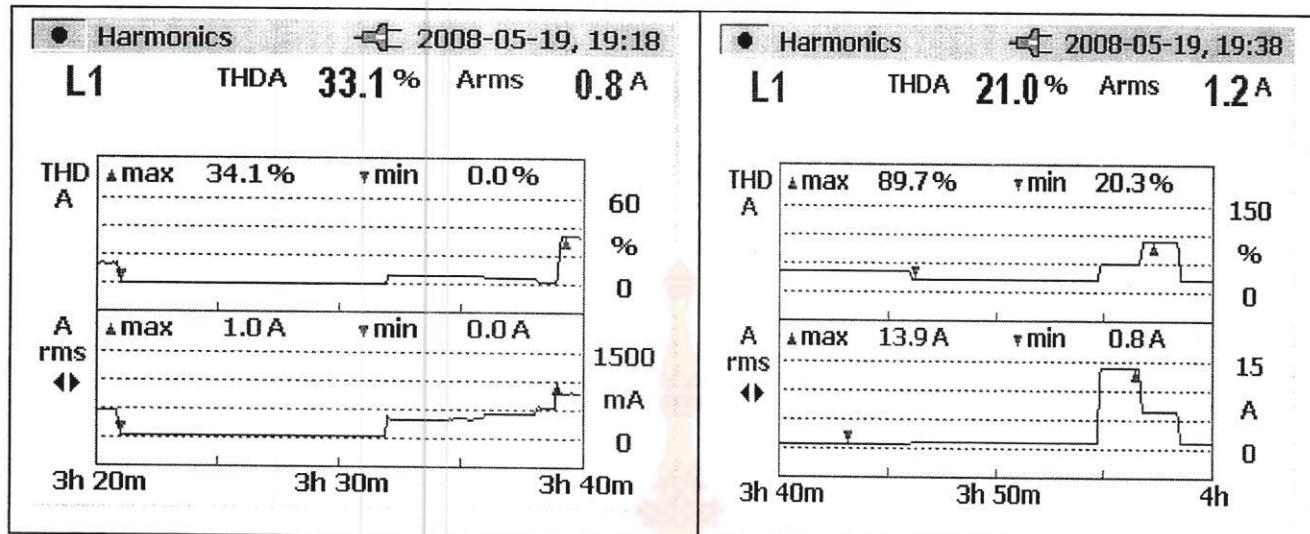


ครั้งที่ 14



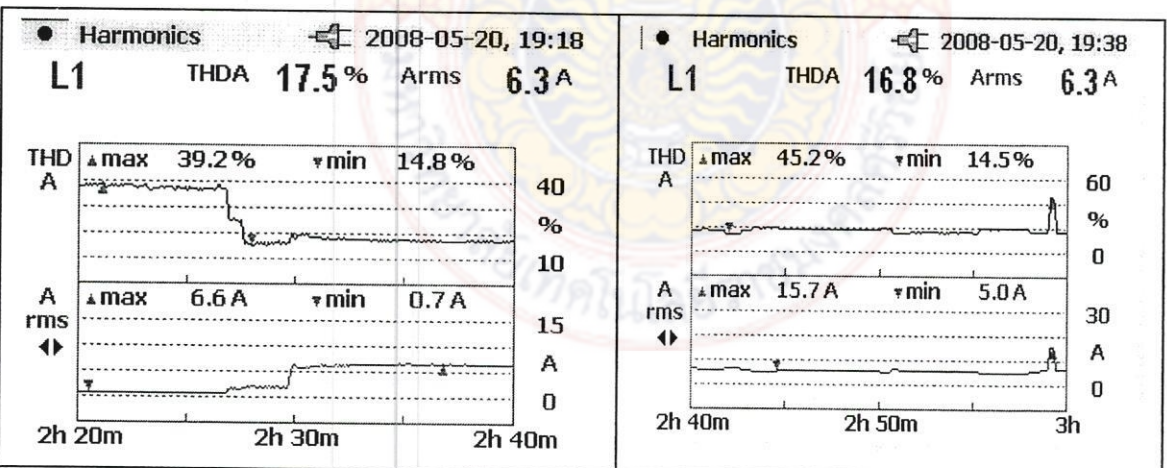
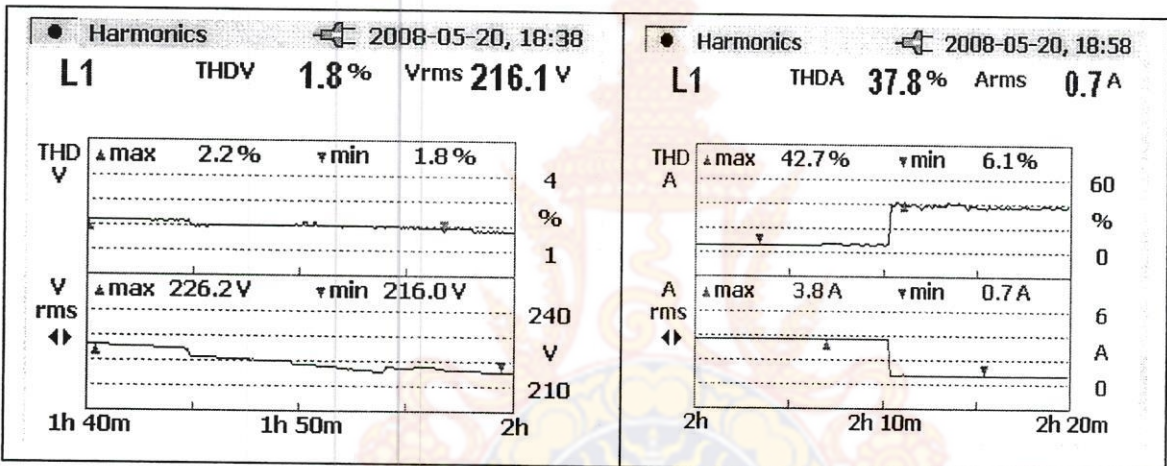
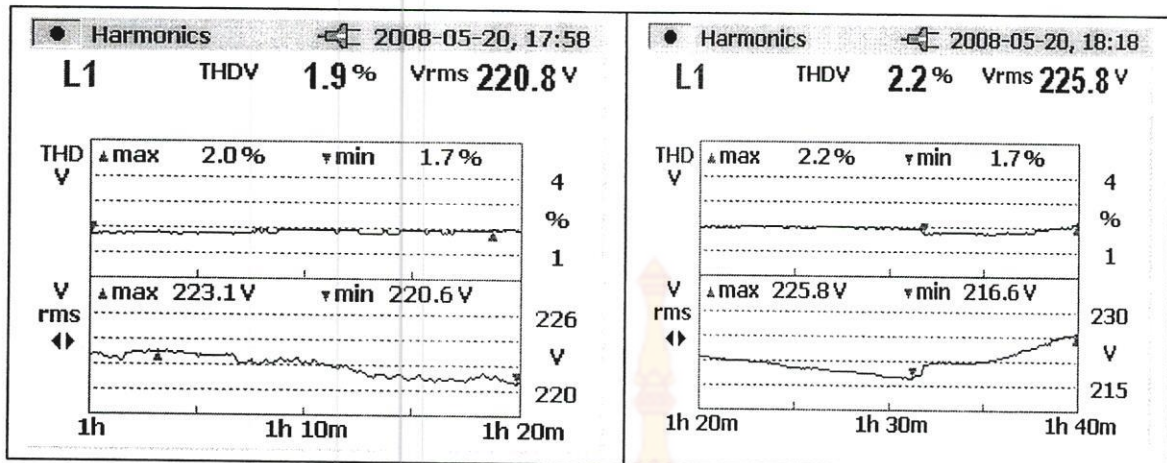


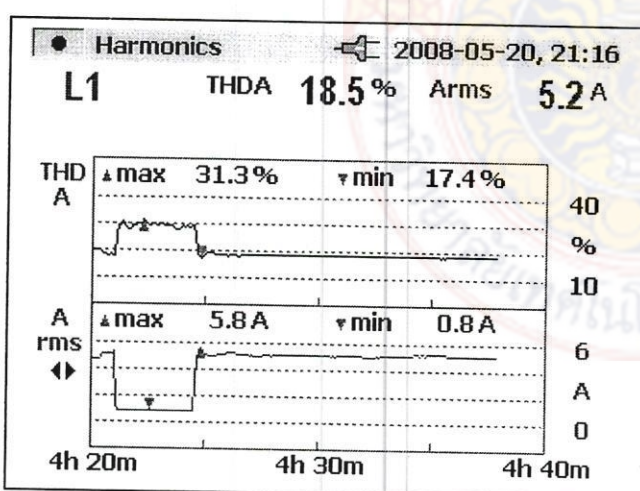
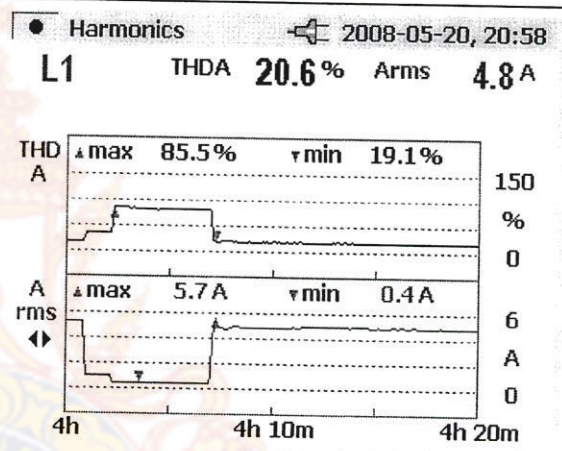
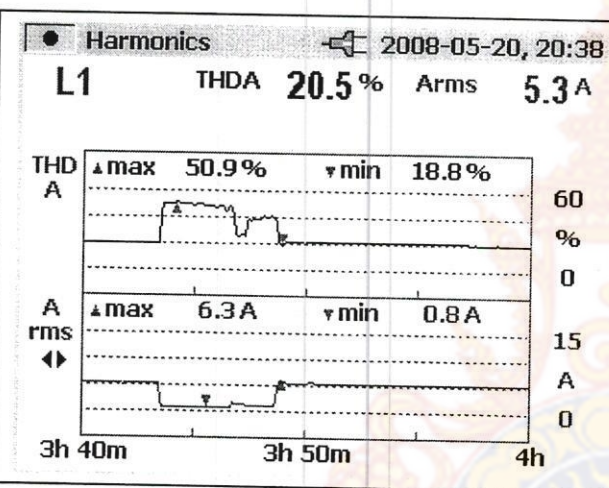
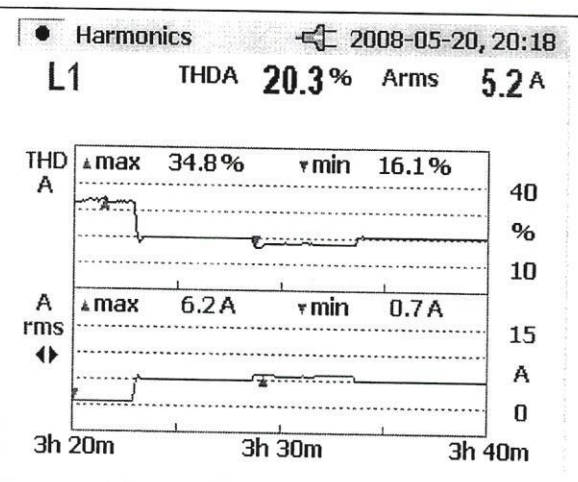
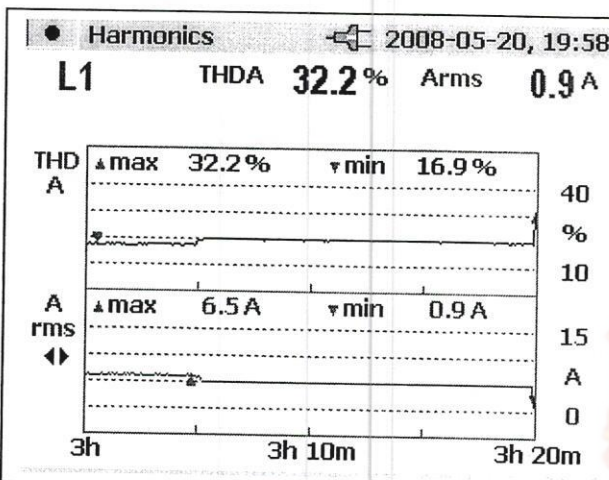
ครั้งที่ 15



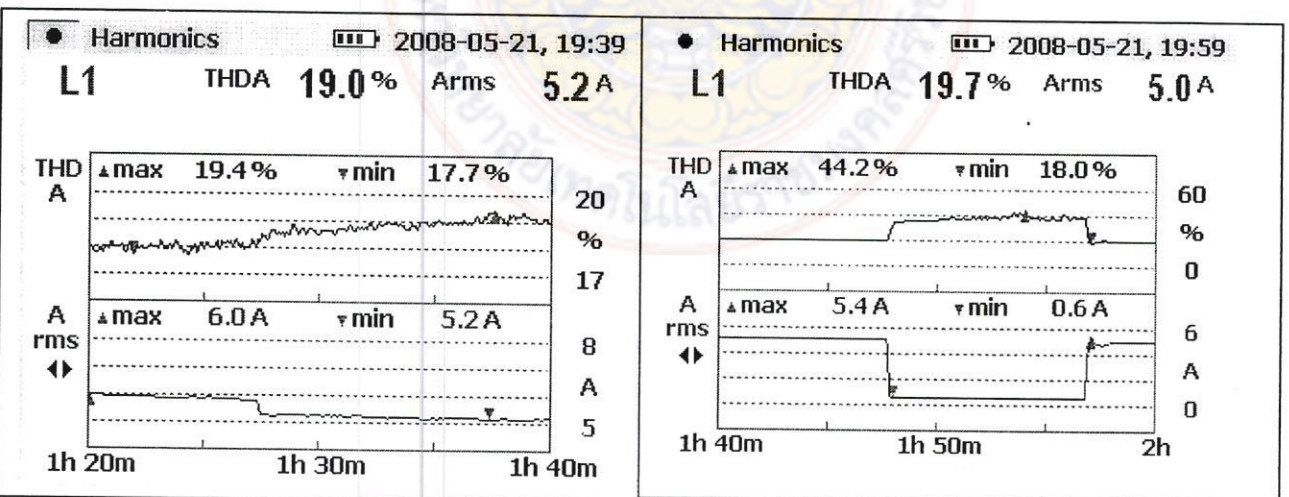
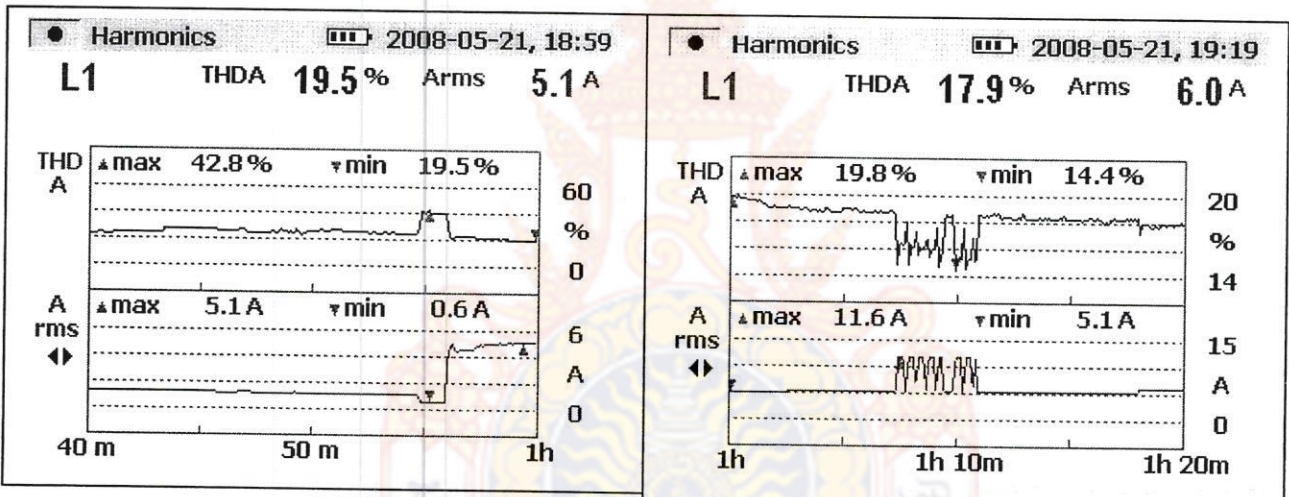
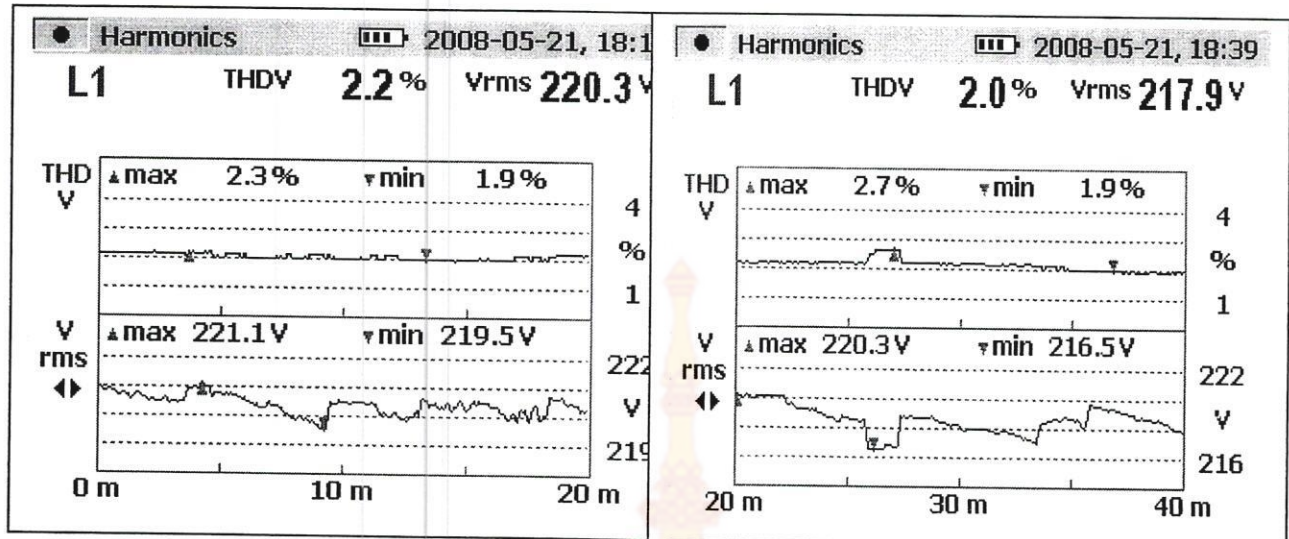


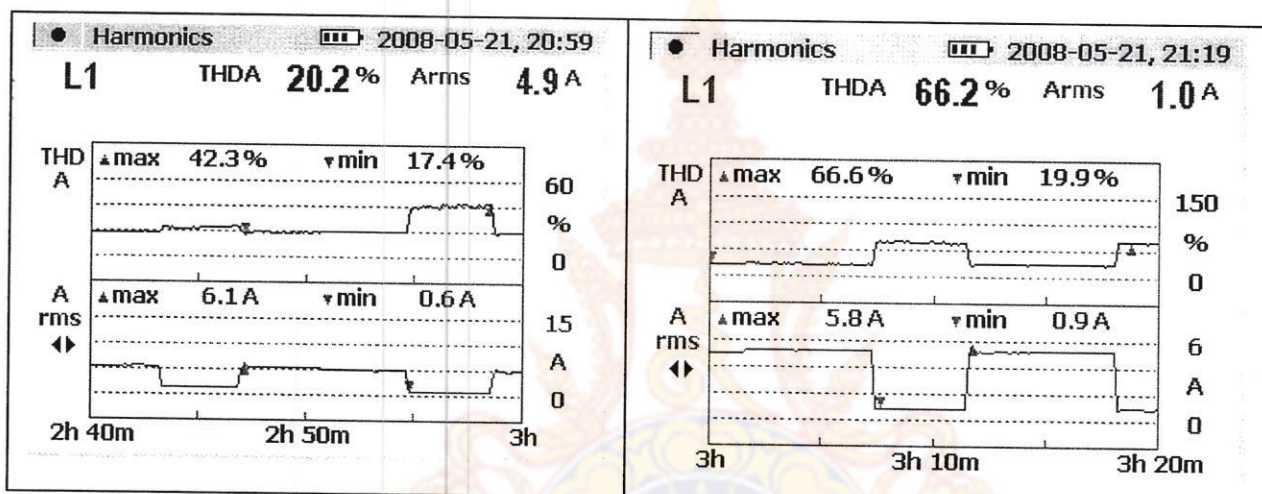
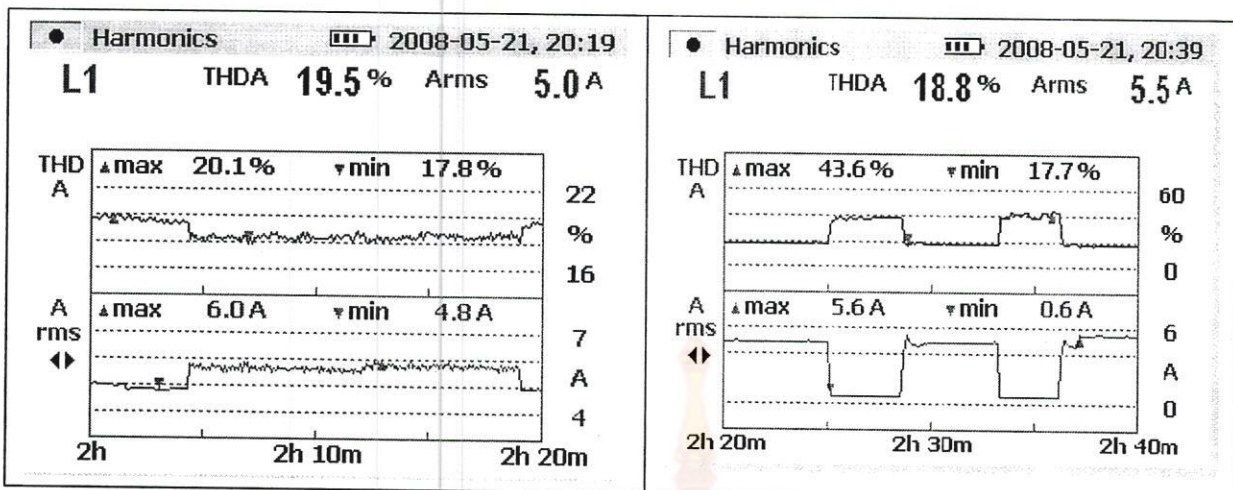
ครั้งที่ 16



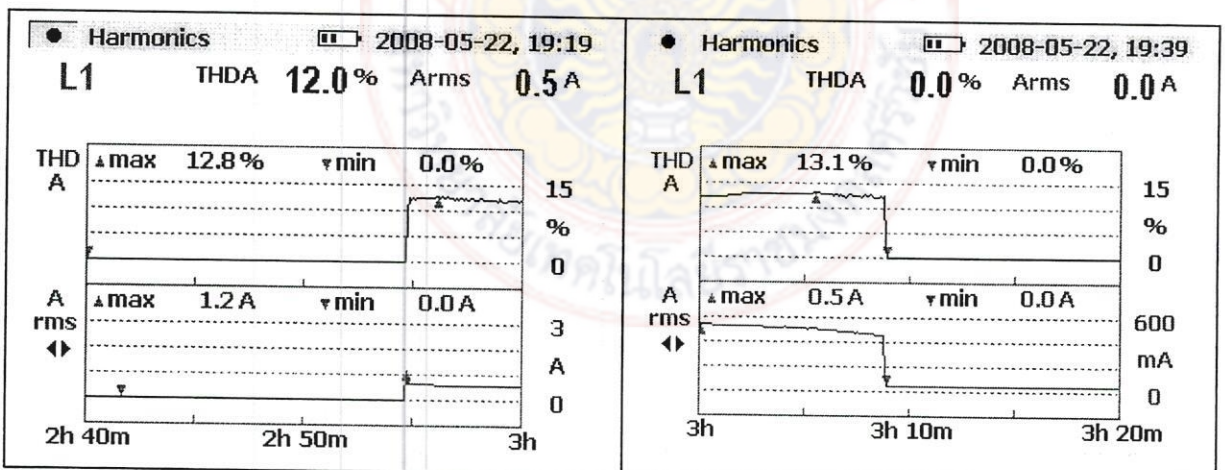
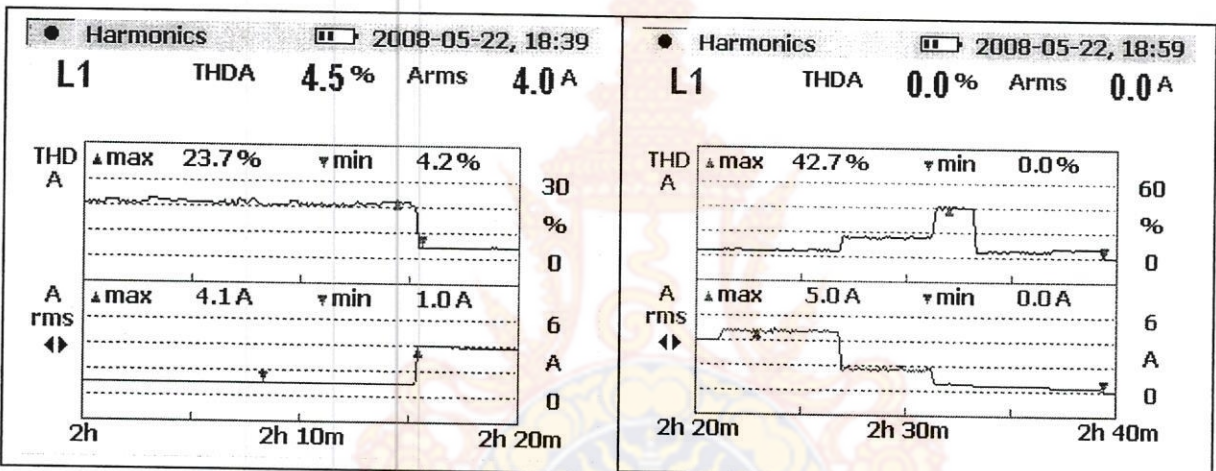
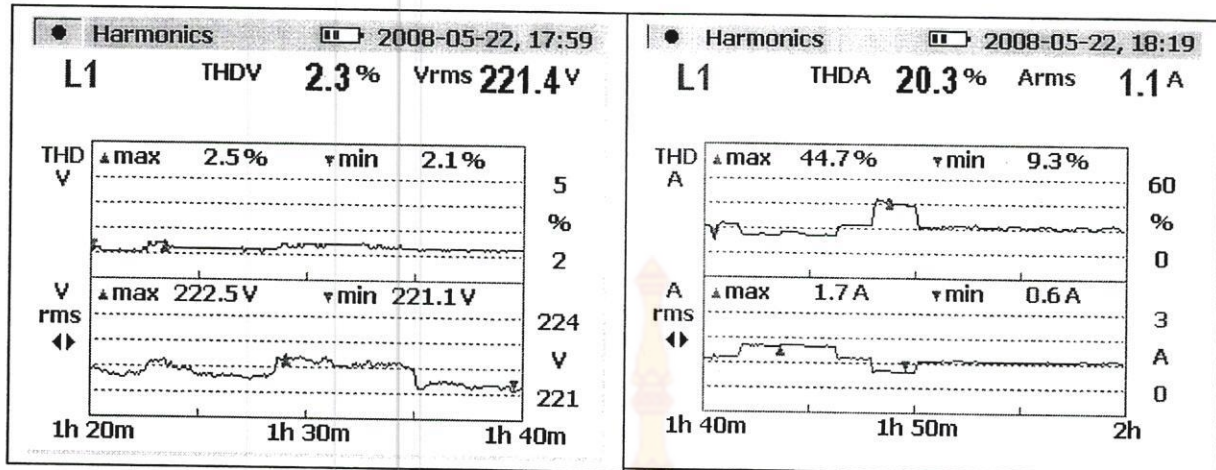


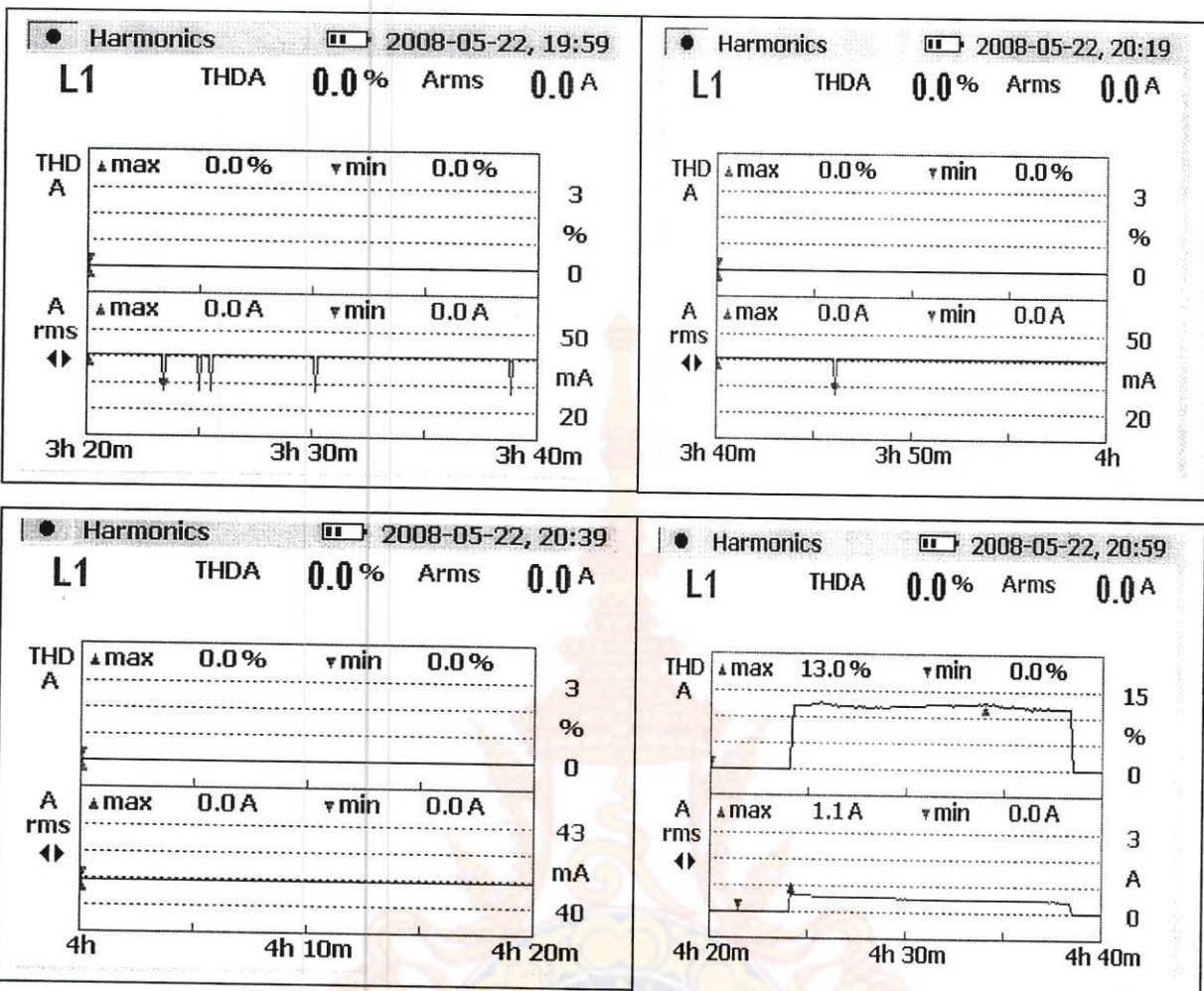
ครั้งที่ 17



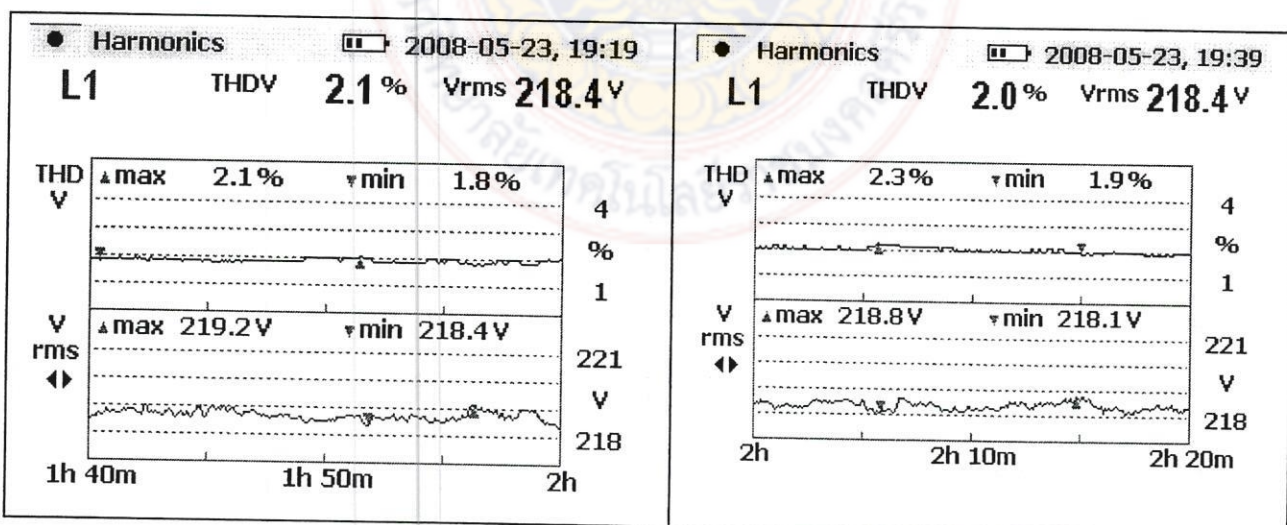
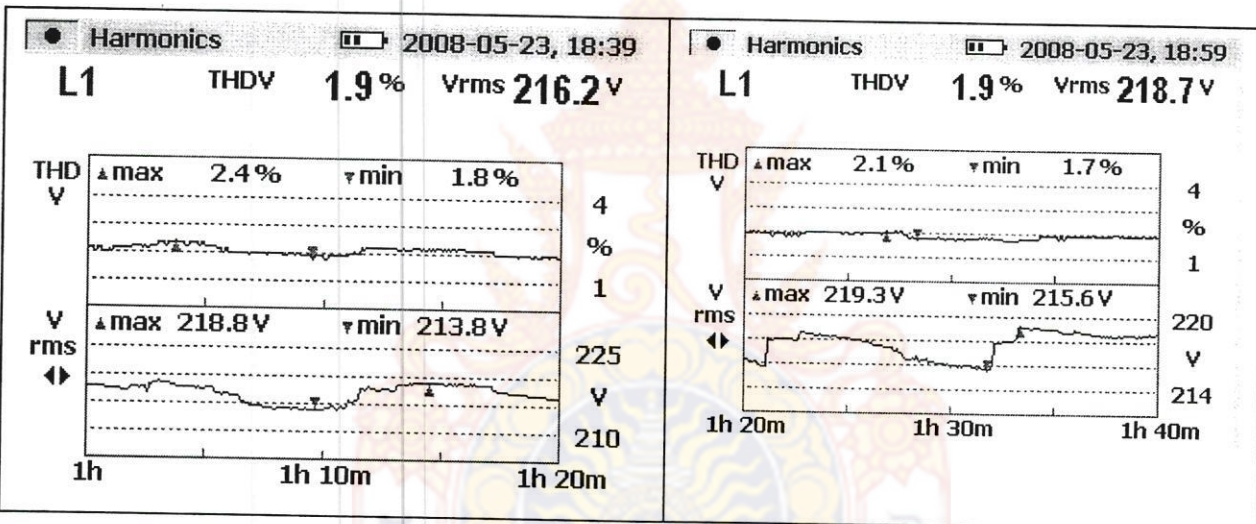
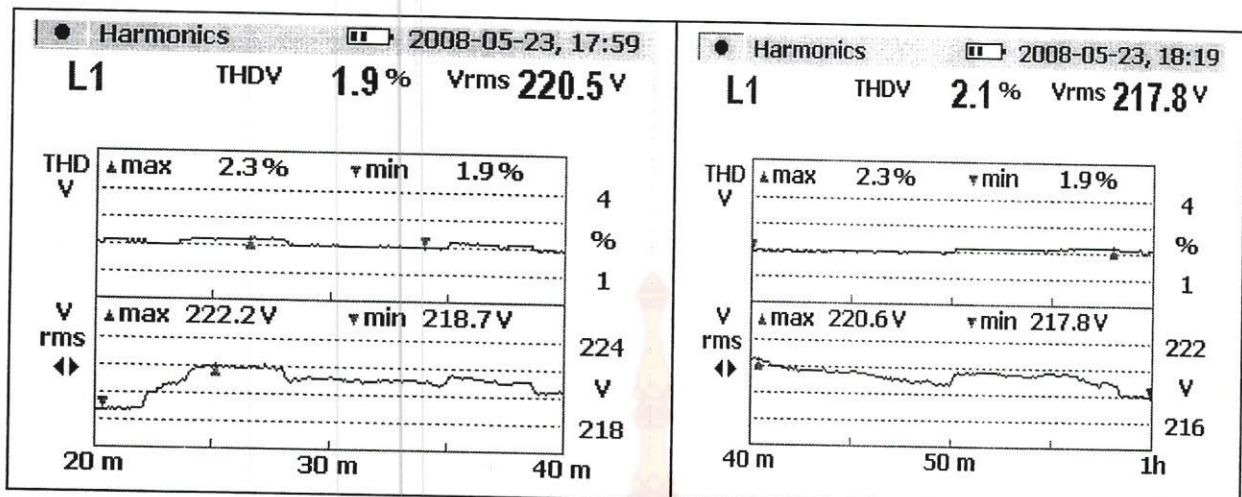


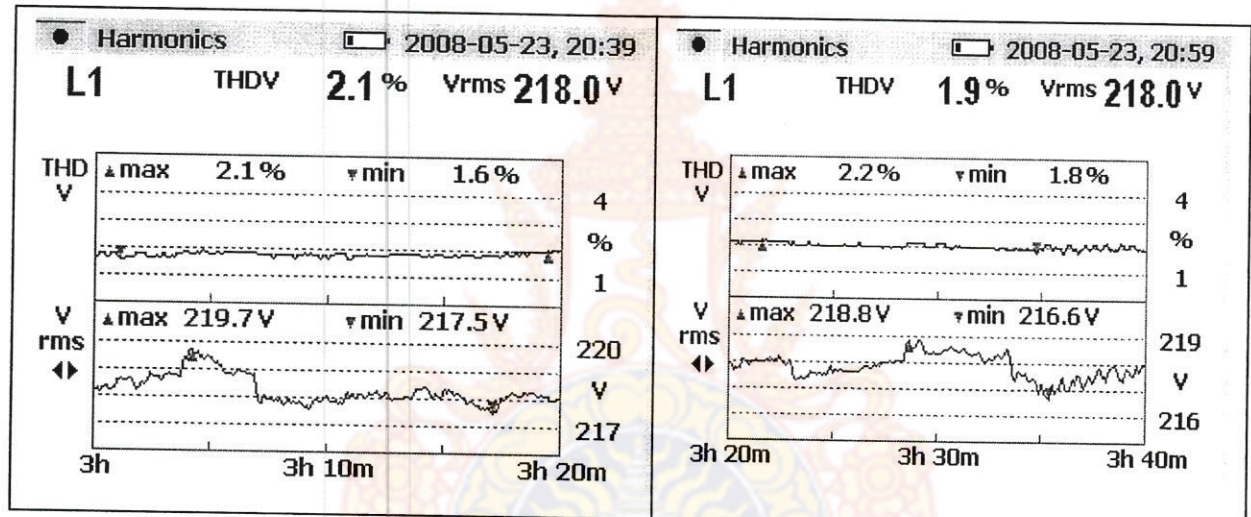
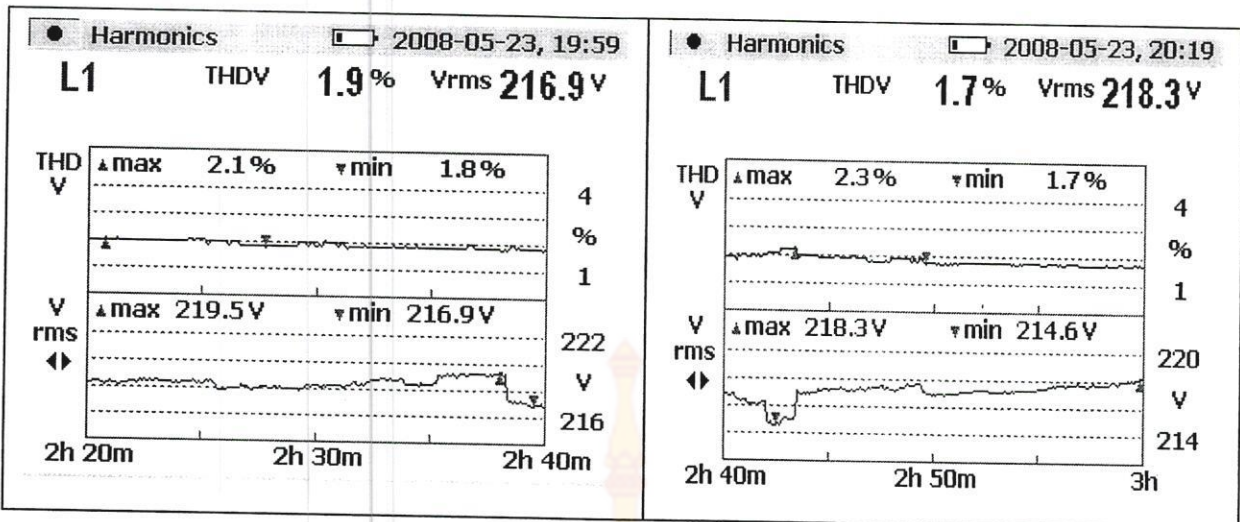
ครั้งที่ 18



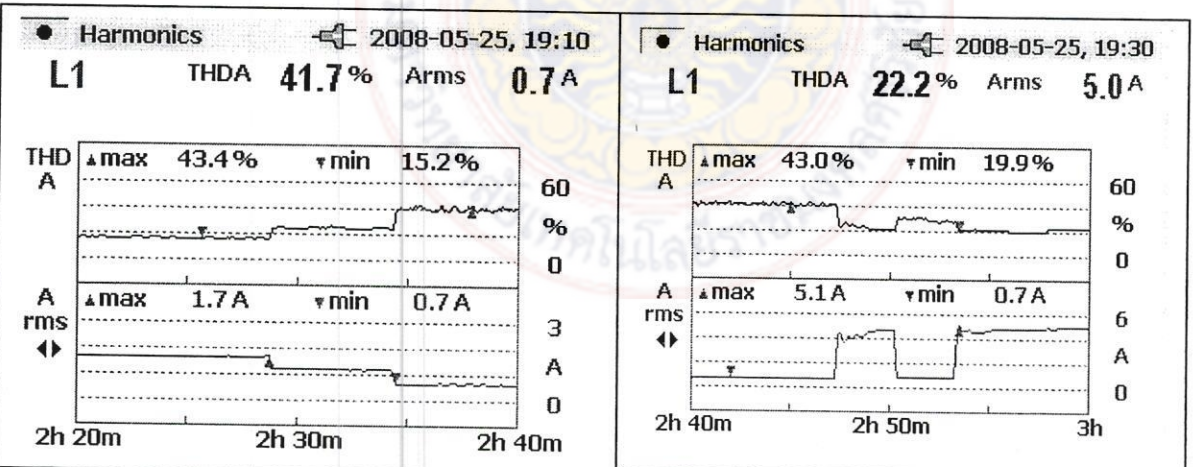
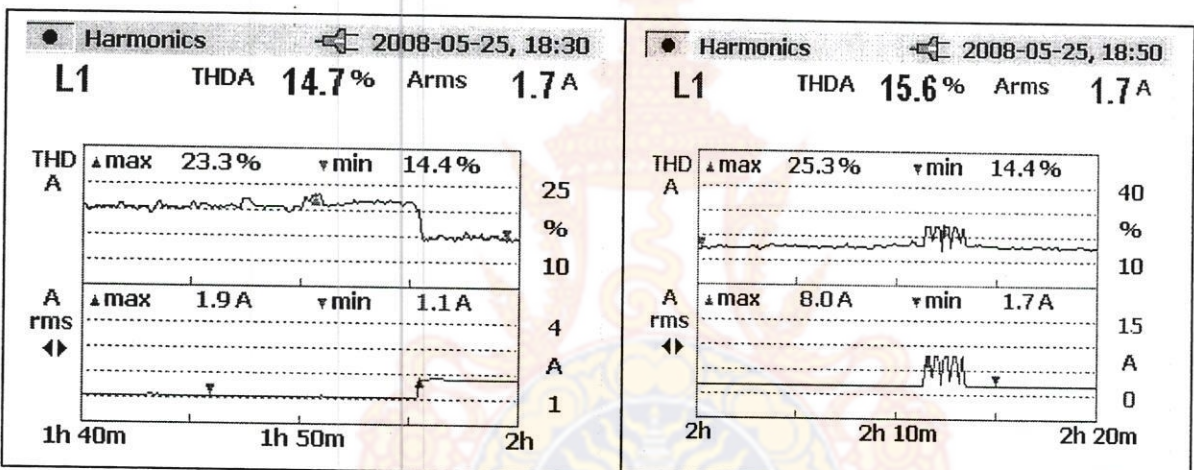
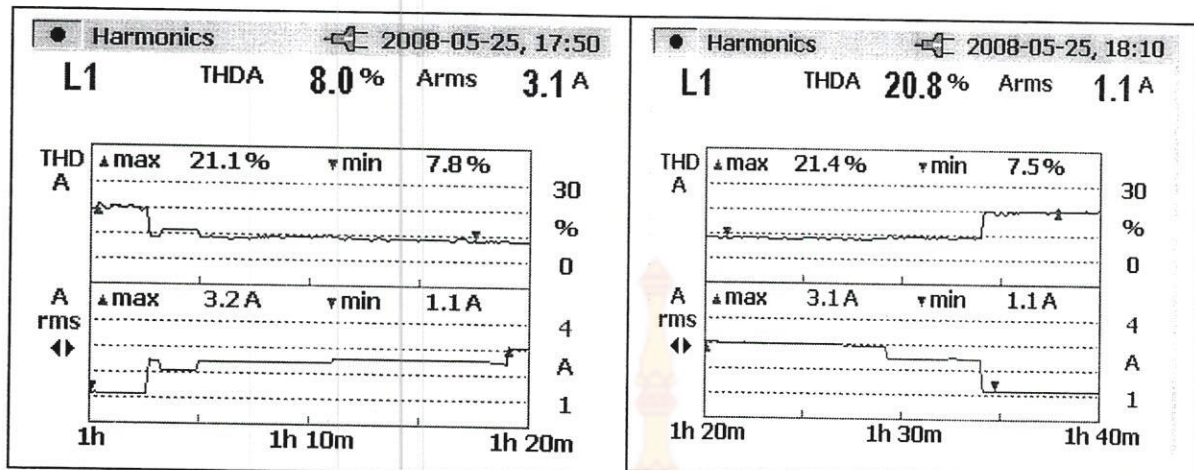


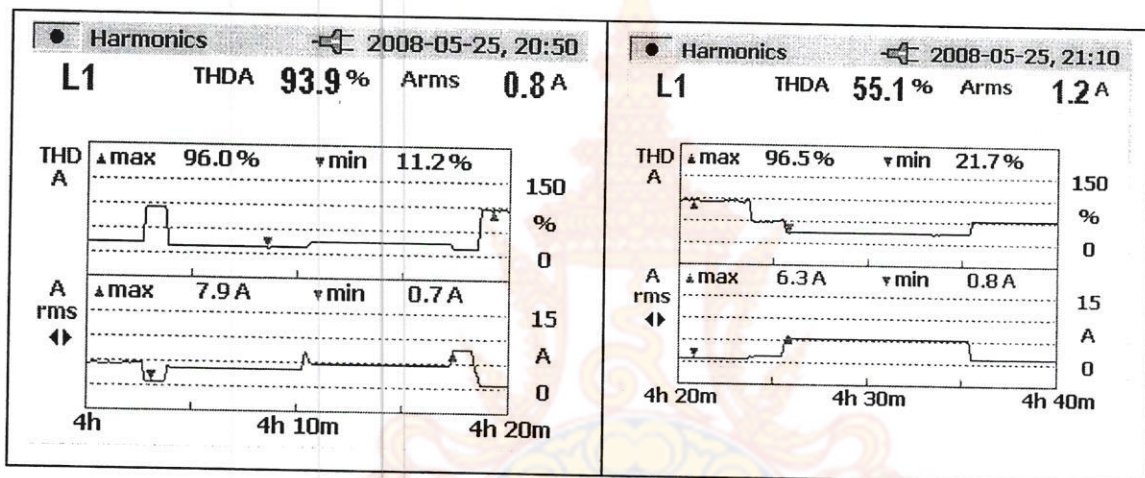
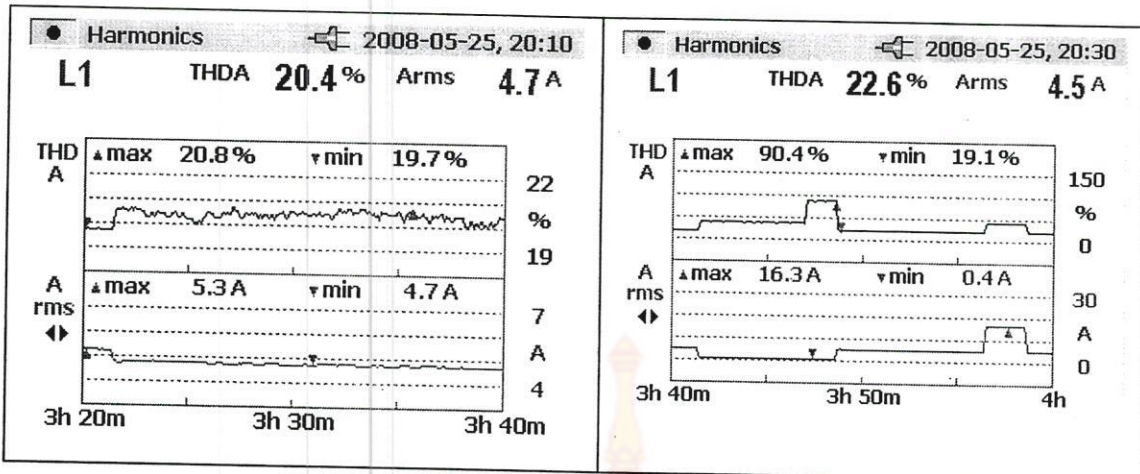
ครั้งที่ 19





ครั้งที่ 20





ภาคพนวก ๖



FLUKE®

Fluke 345

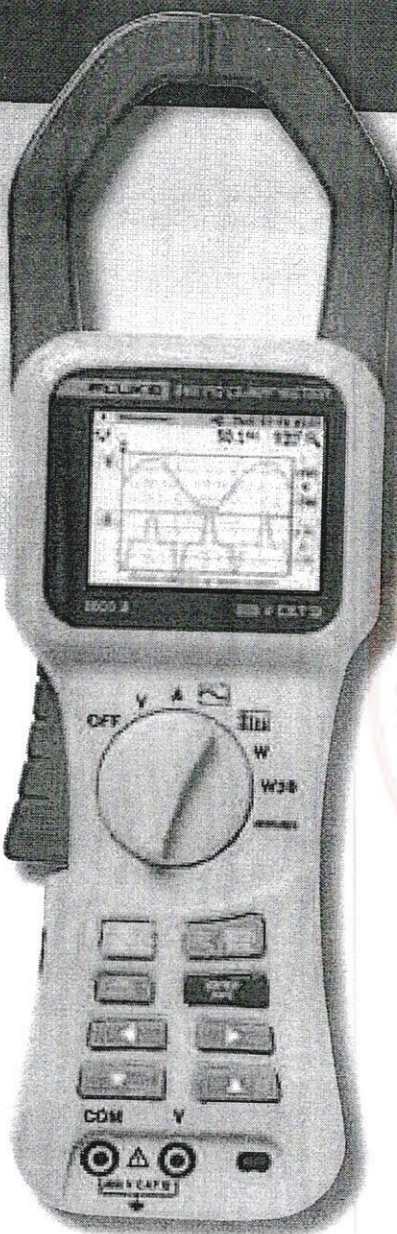
Power Quality Clamp Meter

Technical Data

The ideal meter for commissioning and troubleshooting modern electrical loads

With a bright color display to analyze the harmonic spectrum, a low-pass filter to remove high frequency noise, and a high EMC immunity design, the Fluke 345 is ideal for measurements on switching loads such as variable frequency drives, electronic lighting and UPS systems. Additionally, the Hall Effect measurement system makes measurement of dc current possible without the need to break the circuit, and the internal memory enables long-term logging for analysis of trends or intermittent problems.

- **AC/DC current:** Clamp-on measurement of ac current up to 1400 A rms and dc current up to 2000 A without breaking the circuit
- **Highest safety rating:** 600 V CAT IV rated for use at the service entrance
- **Accurate in noisy environments:** Even with distorted waveforms present on electronic loads with low-pass filter
- **Data logging:** Identify intermittent faults by logging any power parameters for minutes or months, including harmonics
- **Verify batteries:** Direct measurement of dc ripple (%) for battery and dc systems
- **Troubleshoot harmonics:** Analyze and log harmonics digitally or graphically
- **Inrush current:** Capture and analyze nuisance tripping, from 3 seconds to 300 seconds
- **Easy to use:** Easily confirm instrument setup with large backlit color display of waveforms and trends
- **3-Phase power:** Built in capability for balanced loads
- **View graphs and generate reports:** With included Power Log software



Applications

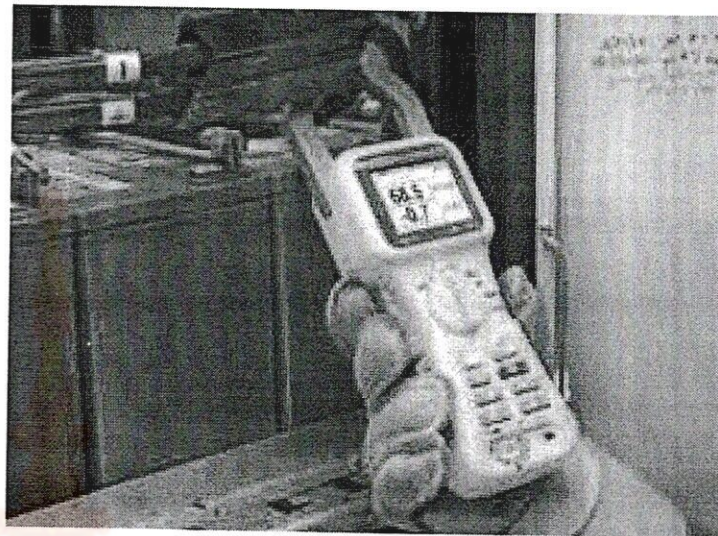
Set up and troubleshoot variable frequency drives

and UPS systems - Verify correct operation by measuring key parameters

Harmonics measurements - Uncover harmonic issues that can damage or disrupt critical equipment

Inrush capture - Check start-up current where spurious resets or nuisance circuit breaker tripping occurs

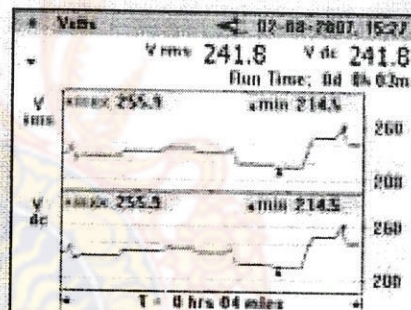
Load studies - Verify electrical system capacity before adding loads



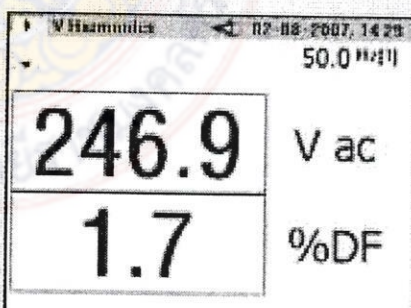
Log measured parameters

All voltage, current, power, and harmonic measurements can be logged for minutes, hours, or months. Measurement averaging periods from 1 second to 15 minutes can be selected depending on the application.

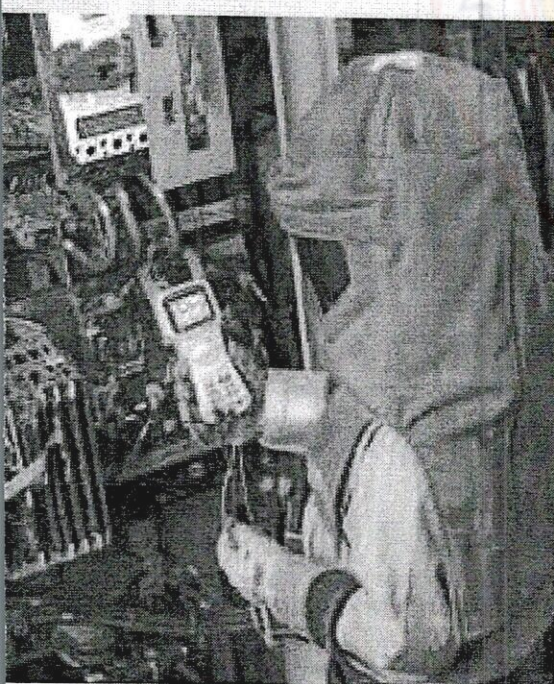
Measured parameters can be logged into three separate recording memory areas. If longer recordings are required, the three areas may be combined into one. Stored measurements can be recalled and displayed on-screen in normal screen format or downloaded using the Power Log software package.



Log parameters over time to track down intermittent faults.



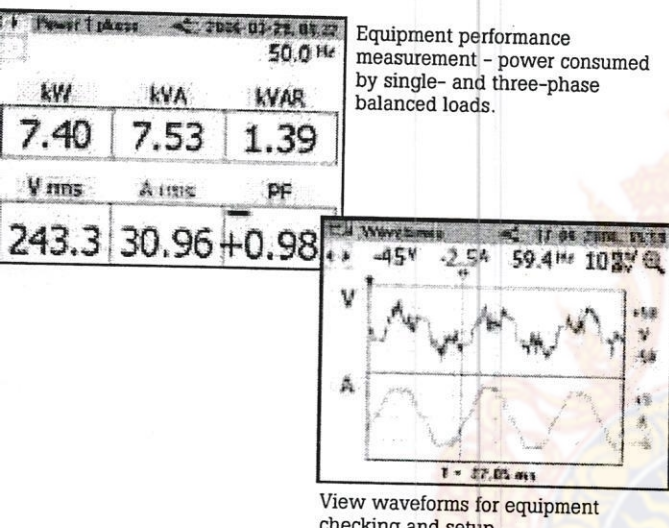
Harmonics measurements—view key harmonic factors such as distortion factor and total harmonic distortion, as well as individual harmonics up to the 30th harmonic.



Flexible and easy to use

The 345 measures a wide range of electrical parameters and can be used for many applications in today's modern electrical environment. Measuring mode is selected by a simple turn of the rotary switch and the large color display presents data in a clear, easy-to-understand way.

By default the display will show the most common measurements, in very large format. If more detailed views are required they are available with the press of a single key (up to six measurements at once).



Inrush current

Diagnose equipment start-ups with the inrush current mode. Current trigger level is set prior to recording. Once the level has been exceeded, the meter will begin capture. Recordings from 3 seconds to 300 seconds may be captured, and up to 1000 inrush events may be stored in the instruments memory.

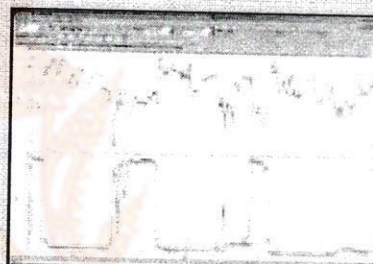
Screen captures and data logging

Any measurement can be stored in memory for later viewing, downloaded to a PC. Simply press 'SAVE' to capture the live screen to memory – up to 50 screen shots can be saved for quick and simple documentation. Additionally, over 60,000 individual measurements can be logged for later view on the display or on a PC using Power Log software.

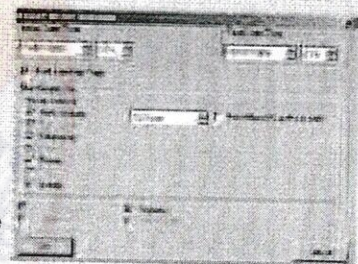
Analysis and reporting software

Designed to quickly view recorded data, the included Power Log software displays all recorded parameters on interactive trends. Generate professional reports with the 'Report Writer' function, or copy and paste images into report document manually.

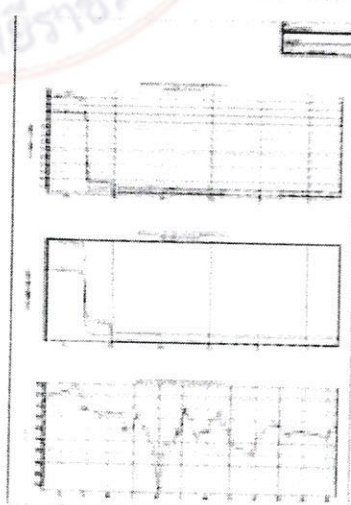
- Easy-to-use tabbed window format allows quick data evaluation.
- One-step download and display capability
- Waveform, harmonics, and trend download
- Simple data export to other applications



View recorded data in simple graphs and tables.



Easily customize the report.



Create professional reports.

General Specifications

Display

Color transmissive LCD 320 x 240 pixels (70 mm diagonal) with 2 level backlight

Power supply

Battery type 1.5 V Alkaline AA MN 1500 or IEC LR6 x 6

| | |
|---------------------------------|--------------------------------|
| Battery life typically | > 10 hours (backlight on full) |
| | > 12 hours (backlight reduced) |
| Battery Eliminator BE345 | |
| Input | 110 V/230 V, 50/60 Hz |
| Output | 15 V dc, 300 mA |

Ambient conditions (For indoor use only)

| | |
|---|---|
| Reference conditions | All accuracies stated at $23^{\circ}\text{C} \pm 1^{\circ}\text{C}$ ($73.4^{\circ}\text{F} \pm 1.8^{\circ}\text{F}$) |
| Operating temperature | 0°C to 50°C (32°F to 122°F) |
| Temperature coefficient of current | $\leq \pm 0.15\%$ of rdg per $^{\circ}\text{C}$ |
| Temperature coefficient of voltage | $\leq \pm 0.15\%$ of rdg per $^{\circ}\text{C}$ |
| Maximum relative humidity | 80 % for temperatures up to 31°C (87°F) decreasing linearly to 50 % relative humidity at 40°C (104°F) |
| Maximum operating altitude | 2000 m |

Electrical safety

Safety IEC 61010-1 600 V CAT IV, double or reinforced insulation, pollution degree 2

Protection IP40; EN60529

Maximum safe working voltages

| | |
|---------------------|--|
| Current measurement | 600 V ac rms or dc between uninsulated conductor and ground |
| Voltage measurement | 600 V ac rms or dc between either input terminal and ground, or 825 V between energized phase voltages (delta power config.) |

EMC

| | |
|-----------------|-----------------------------|
| Emission | IEC/EN 61326-1:1997 class B |
| Immunity | IEC/EN 61326-1:1997 |

Mechanical

| | |
|--|--|
| Dimensions (length x width x depth) | 300 mm x 98 mm x 52 mm (12 in x 3.75 in x 2 in) |
| Weight including batteries | 820 g/1.8 lb |
| Jaw opening | 60 mm |
| Jaw capacity | 58 mm diameter |
| Cleaning | The unit can be cleaned with an Isopropanol impregnated cloth. Do not use abrasives or other solvents. |

Specifications

Electrical data

All accuracies stated at $23^{\circ}\text{C} \pm 1^{\circ}\text{C}$ ($73.4^{\circ}\text{F} \pm 1.8^{\circ}\text{F}$). See Ambient conditions specifications for temperature coefficients.

Current measurement (dc, dc rms, ac rms)

| | |
|--|---|
| Measuring range | 0 to 2000 A dc or 1400 ac rms |
| Autorange facility | 40 A/400 A/2000 A |
| Resolution | 10 mA in 40 A range 100 mA in 400 A range 1 A in 2000 A range |
| Accuracy | |
| DC and dc rms | |
| I > 10 A | $\pm 1.5\% \text{ rdg} \pm 5 \text{ digits}$ |
| I < 10 A | $\pm 0.2 \text{ A}$ |
| AVG | |
| I > 10 A | $\pm 3\% \text{ rdg} \pm 5 \text{ digits}$ |
| I < 10 A | $\pm 0.5 \text{ A}$ |
| Pk | |
| I > 10 A | $\pm 5\% \text{ rdg} \pm 5 \text{ digits}$ |
| I < 10 A | $\pm 0.5 \text{ A}$ |
| AHr | |
| I > 10 A | $\pm 2\% \text{ rdg} \pm 5 \text{ digits}$ |
| I < 10 A | $\pm 0.5 \text{ AHr}$ |
| CF (Crest Factor) | |
| $1.1 \leq CF < 3$ | $\pm 3\% \text{ rdg} \pm 5 \text{ digits}$ |
| $3 \leq CF < 5$ | $\pm 5\% \text{ rdg} \pm 5 \text{ digits}$ |
| Resolution | 0.01 |
| RPL (Ripple) | |
| $2\% \leq RPL < 100\%$ | $\pm 3\% \text{ rdg} \pm 5 \text{ digits}$ |
| $100\% \leq RPL < 600\%$ | $\pm 5\% \text{ rdg} \pm 5 \text{ digits}$ |
| Resolution | 0.1 % |
| $I_{dc} > 5 \text{ A}, I_{ac} > 2 \text{ A}$ | |
| All measurements dc and 15 Hz to 1 kHz | |
| Maximum overload 10,000 A or rms x frequency < 400,000 | |
| Amps rms is a true-rms measurement (ac + dc) | |

Voltage measurement (dc, dc rms, ac rms)

| | |
|--|---|
| Measuring range | 0 to 825 V dc or ac rms |
| Autorange facility | 4 V/40 V/400 V/750 V |
| Resolution | 1 mV in 4 V range 10 mV in 40 V range 100 mV in 400 V range 1 V in 750 V range |
| Accuracy | |
| DC and dc rms | |
| V > 1 V | ± 1 % rdg ± 5 digits |
| V < 1 V | ± 0.02 V |
| AVG | |
| V > 1 V | ± 3 % rdg ± 5 digits |
| V < 1 V | 0.03 V |
| Pk | |
| V > 1 V | ± 5 % rdg ± 5 digits |
| V < 1 V | ± 0.03 V |
| CF (Crest Factor) | |
| 1.1 ≤ CF < 3 | ± 3 % rdg ± 5 digits |
| 3 ≤ CF < 5 | ± 5 % rdg ± 5 digits |
| Resolution | 0.01 |
| RPL (Ripple) | |
| 2 % ≤ RPL < 100 % | ± 3 % rdg ± 5 digits |
| 100 % ≤ RPL < 600 % | ± 5 % rdg ± 5 digits |
| Resolution | 0.1 % |
| V _{dc} > 0.5 V, V _{ac} > 0.2 V | |
| All measurements dc and 15 Hz to 1 kHz | |
| Maximum overload 1,000 V rms | |
| Volts rms is a true-rms measurement (ac + dc) | |

Harmonics

| | |
|---|-----------------------|
| THD (Total Harmonic Distortion) | |
| 1 % ≤ THD < 100 % | ± 3 % rdg ± 5 digits |
| 100 % ≤ THD < 600 % | ± 5 % rdg ± 5 digits |
| Resolution | 0.1 % |
| DF (Distortion Factor) | |
| 1 % ≤ DF < 100 % | ± 3 % rdg ± 5 digits |
| Resolution | 0.1 % |
| H02 ≤ V _{harm} < H13 | ± 5 % rdg ± 2 digits |
| H13 ≤ V _{harm} ≤ H30 | ± 10 % rdg ± 2 digits |
| All measurements up to 30th harmonic (40th harmonic for 15 Hz to 22 Hz) | |
| Frequency range F ₀ 15 Hz to 22 Hz and 45 Hz to 65 Hz | |
| V _{acrms} > 1V | |

Watts measurement (single- and three-phase) (dc, dc rms, ac rms)

| | |
|-----------------------------|---------------------------------|
| Measuring range | 0 to 1650 kW dc or 1200 kW ac |
| Autoranging facility | 4 kW, 40 kW, 400 kW, 1650 kW ac |
| Resolution | 1 W in 4 kW |
| | 10 W in 40 kW |
| | 100 W in 400 kW |
| | 1 kW in 1200 kW |
| Accuracy | 2.5 % rdg ± 5 digits |
| | W1Ø < 2 kW ± 0.08 kW |
| | W3Ø < 4 kW ± 0.25 kW |

VA measurement (single- and three-phase) (dc, dc rms, ac rms)

| | |
|---------------------------|----------------------------------|
| Measuring range | 0 to 1650 kVA dc or 1200 kVA ac |
| Autorange facility | 4 kVA, 40 kVA, 400 kVA, 1650 kVA |
| Resolution | 1 VA in 4 kVA |
| | 10 VA in 40 kVA |
| | 100 VA in 400 kVA |
| | 1 kVA in 1200 kVA |
| Accuracy | |
| VA > 2 kVA | 2.5 % rdg ± 5 digits |
| VA < 2 kVA | ± 0.08 kVA |

VAR measurement (single- and three-phase)

| | |
|---------------------------|--------------------------------------|
| Measuring range | 0 to 1250 kVAR |
| Autorange facility | 4 kVAR, 40 kVAR, 400 kVAR, 1200 kVAR |
| Resolution | 1 VAR in 4 kVAR |
| | 10 VAR in 40 kVAR |
| | 100 VAR in 400 kVAR |
| | 1 kVAR in 1200 kVAR |
| Accuracy | |
| VAR > 4 kVAR | ± 2.5 % rdg ± 5 digits |
| VAR < 4 kVAR | ± 0.25 kVAR |
| Power factor range | 0.3 < PF < 0.99 |

Power factor (single- and three-phase)**Power factor**

| | |
|------------------------|--|
| Measuring range | 0.3 capacitive and 1.0 to 0.3 inductive (72.5° capacitive and 0° to 72.5° inductive) |
| Resolution | 0.001 |
| Accuracy | ± 3° |
| Frequency range | 15 Hz to 1 kHz |

Displacement power factor

| | |
|------------------------|--|
| Measuring range | 0.3 capacitive and 1.0 to 0.3 inductive (72.5° capacitive and 0° to 72.5° inductive) |
| Resolution | 0.001 |
| Accuracy | ± 3° |
| Frequency range | 15 Hz to 22 Hz and 45 Hz to 65 Hz |

Kilowatt hour (kWHR)

| | |
|--|--|
| Measuring range | 40,000 kWHR |
| Autorange facility | 1 kWHR, 40 kWHR, 400 kWHR, 4,000 kWHR, 40,000 kWHR |
| Resolution | 1 WHR in 4 kWHR 10 WHR in 40 kWHR 100 WHR in 400 kWHR 1 kWHR in 4,000 kWHR 10 kWHR in 40,000 kWHR |
| Accuracy | kWHR > 2 kWHR $\pm 3\% \pm 5$ digits kWHR < 2 kWHR ± 0.08 kWHR |
| All Watts /VA /VAR /PF measurements | Frequency range DC and 15 Hz to 1 kHz Current range 10 A to 1400 A rms Voltage range 1 V to 825 V rms Maximum input 825 V rms/1400 A rms Maximum overload 1000 V rms/10,000 A |

Frequency measurement (from current or voltage sources)

| | |
|------------------------|---|
| Measuring range | 15 Hz to 1 kHz |
| Resolution | 0.1 Hz |
| Accuracy | 15 to 22 Hz $\pm 0.5\%$ rdg 40 Hz to 70 Hz $\pm 0.5\%$ rdg 15 Hz to 1000 Hz $\pm 1\%$ rdg |
| Current range | 10 A to 1400 A rms |
| Voltage range | 1 V to 825 V rms |

Scope function

| | |
|------------------------------|--|
| Current measurement | |
| Ranges | 10 A/20 A/40 A/100 A/200 A/400 A/1000 A/2000 A |
| Resolution | 1 A in 40 A 10 A in 400 A 50 A in 2000 A |
| Accuracy | $\pm 3\%$ rdg ± 1 pixel |
| Maximum overload | 10,000 A |
| Voltage measurement | |
| Ranges | 4 V/10 V/20 V/40 V/100 V/200 V/400 V/1000 V |
| Resolution | 100 mV in 4 V 1 V in 40 V 10 V in 400 V 31.25 V in 1000 V |
| Accuracy | $\pm 2\%$ rdg ± 1 pixel |
| Maximum overload | 1000 V rms |
| Frequency range | DC and 15 Hz to 600 Hz |
| Time base | 2.5 ms, 5 ms, 10 ms, 25 ms, 50 ms/div |
| Refresh rate | 0.5 seconds |
| Maximum sampling rate | 15.625 kHz |

Inrush current function

| | |
|--|--|
| Ranges | 40 A, 400 A, and 2000 A |
| Resolution | 10 mA in 40 A range |
| | 100 mA in 400 A range |
| | 1 A in 2000 A range |
| Accuracy | |
| I > 10 A | ± 5 % rdg ± 1 pixel |
| I < 10 A | ± 0.5 A |
| All measurements dc and 15 Hz to 1 kHz | |
| Maximum overload | Maximum overload 10,000 A or rms x frequency < 400,000 |
| Amps rms is a true-rms measurement (ac + dc) | |
| Capture time | 1 s, 3 s, 10 s, 30 s, 100 s, and 300 s |
| Maximum sampling rate | 15.625 kHz |

Interface

| |
|---|
| USB Interface to a PC |
| Power Log software for download, analysis, and reporting |
| 345 Upgrade Utility for installing a new firmware version |

Logging Memory

| | |
|--------------------------|---|
| Logging areas | Three areas that can be used individually or combined into one large area |
| Averaging periods | 1 s, 2 s, 5 s, 10 s, 30 s, 1 min, 5 min, 10 min, 15 min, and custom |

Logging times

| Volts and current mode | | |
|-------------------------------|------------------------------|-------------------------------|
| Average time | Logging time (1 area) | Logging time (3 areas) |
| 1 s | 1 h 49 m | 5 h 12 m |
| 2 s | 3 h 38 m | 10 h 24 m |
| 5 s | 9 h 06 m | 1 d 2 h 00 m |
| 10 s | 18 h 12 m | 2 d 04 h 00 m |
| 30 s | 2 d 06 h 36 m | 6 d 12 h 01 m |
| 1 min | 4 d 13 h 12 m | 13 d 00 h 03 m |
| 5 min | 22 d 18 h 00 m | 65 d 00 h 15 m |
| 10 min | 45 d 12 h 00 m | 130 d 00 h 30 m |
| 15 min | 68 d 06 h 00 m | 195 d 00 h 45 m |

| V & A harmonics mode | | |
|---------------------------------|------------------------------|-------------------------------|
| Average time | Logging time (1 area) | Logging time (3 areas) |
| 1 s | 0 h 34 m | 1 h 38 m |
| 2 s | 1 h 08 m | 3 h 16 m |
| 5 s | 2 h 52 m | 08 h 11 m |
| 10 s | 5 h 44 m | 16 h 23 m |
| 30 s | 17 h 13 m | 2 d 01 h 11 m |
| 1 min | 1 d 10 h 26 m | 4 d 02 h 23 m |
| 5 min | 7 d 04 h 10 m | 20 d 11 h 25 m |
| 10 min | 14 d 08 h 20 m | 81 d 0 h 50 m |
| 15 min | 21 d 12 h 30 m | 121 d 13 h 15 m |

| single- and three-phase power mode | | |
|---|------------------------------|-------------------------------|
| Average Time | Logging Time (1 area) | Logging Time (3 areas) |
| 1 s | 1 h 40 m | 4 h 47 m |
| 2 s | 3 h 21 m | 9 h 34 m |
| 5 s | 8 h 22 m | 23 h 57 m |
| 10 s | 16 h 45 m | 1 d 23 h 54 m |
| 30 s | 2 d 02 h 17 m | 5 d 23 h 42 m |
| 1 min | 4 d 04 h 35 m | 11 d 23 h 25 m |
| 5 min | 20 d 22 h 55 m | 59 d 21 h 05 m |
| 10 min | 41 d 21 h 50 m | 119 d 18 h 10 m |
| 15 min | 62 d 20 h 45 m | 179 d 15 h 15 m |

Ordering information

Fluke-345 Power Quality Clamp Meter

| | |
|-----------------|--|
| Includes | Soft carrying case Power Log software Test leads Alligator clips Test probes USB cable International ac adapter / battery eliminator Printed English language user manual Multi-language manual CD |
|-----------------|--|

Recommended Accessories:

TP220 SureGrip™ Industrial Test Probes - One pair (red, black) of Industrial test probes. Sharp, 12 mm stainless steel tip provides reliable contact. Use with TL224 test leads.

AC220 SureGrip™ Alligator Clips - One pair (red, black) of small, insulated, nickel plated jaws. Blunt tip grabs round screw heads up to 9.5 mm. Use with TL224 test leads.

TP1 Slim Reach Test Probes - One pair (red, black) of slender probe bodies for probing closely spaced or recessed terminals. Hard stainless steel probe tips with flat blade design to hold securely in blade type electrical wall sockets.

L200 Probe Light - Small, rugged, and light the L200 easily attaches to any Fluke test probe. Bright white LED illuminates contact area and frees hands for work.

L210 Probe Light and Probe Extenders - Includes L200 Probe Light and TP280 Test Probe Extenders to keep hands away from live circuits and light work area

C550 Tool Bag - Steel reinforced frame with heavy duty hardware and large zippered storage compartment includes 25 pockets. Allows you to carry all your tools to the job site.

TLK291 - Fused Test Leads provide extra safety with retractable sheath protecting contact points.



Fluke. Keeping your world up and running.™

Fluke Corporation

PO Box 9090, Everett, WA USA 98206

Fluke Europe B.V.
PO Box 1186, 5602 BD
Eindhoven, The Netherlands

For more information call:
 In the U.S.A. (800) 443-5853 or
 Fax (425) 446-5116
 In Europe/M-East/Africa +31 (0) 40 2675 200 or
 Fax +31 (0) 40 2675 222
 In Canada (800) 36-FLUKE or
 Fax (905) 890-6866
 From other countries +1 (425) 446-5500 or
 Fax +1 (425) 446-5116
 Web access: <http://www.fluke.com>

©2007 Fluke Corporation. All rights reserved.
 Specifications subject to change without notice.
 Printed in U.S.A. 1/2007 2643038 D-EN-N Rev C